



UNIVERSIDAD DE CHILE  
FACULTAD DE CIENCIAS FÍSICAS Y MATEMÁTICAS  
DEPARTAMENTO DE FÍSICA

## **ESTUDIO DE LA TERMODINÁMICA DE 3 PUNTOS CUÁNTICOS**

TESIS PARA OPTAR AL GRADO DE MAGÍSTER EN CIENCIAS, MENCIÓN EN FÍSICA

**MAXIMILIANO BERNAL SANTIBAÑEZ**

PROFESOR GUÍA:

Felipe Barra de la Guarda

MIEMBROS DE LA COMISIÓN:

PROFESOR 2

PROFESOR 3

Este trabajo ha sido parcialmente financiado por:

NOMBRE INSTITUCIÓN

SANTIAGO DE CHILE

2025

RESUMEN DE LA MEMORIA PARA OPTAR  
AL TÍTULO DE MAGÍSTER EN CIENCIAS,  
MENCIÓN EN FÍSICA  
POR: MAXIMILIANO BERNAL SANTIBAÑEZ  
FECHA: 2025  
PROF. GUÍA: FELIPE BARRA DE LA GUARDA

## **ESTUDIO DE LA TERMODINÁMICA DE 3 PUNTOS CUÁNTICOS**

En esta tesis se estudian los flujos de información en un sistema de 3 puntos cuánticos denominados L, R y D, donde cada uno se encuentra acoplado a un reservorio distinto. Se realizó una descripción de Lindblad semilocal para la evolución del sistema de 3 puntos cuánticos, esto además permite incluir efectos no seculares en la ecuación maestra. Utilizando esta ecuación se simuló numéricamente la dinámica del sistema para distintas condiciones, en las cuáles se evaluaron cantidades termodinámicas tales como el flujo de calor, potencia, etc. Con el fin de encontrar comportamientos del sistema que correspondan a los de un Demonio de Maxwell autónomo. Para poder determinar el comportamiento tipo Demonio se estudió el rol de la información en este proceso de transporte, y como los flujos de información pueden ser influenciados por el acoplamiento entre los sitios. Se encontró que dependiendo de las razones de transición el sistema se comporta como Demonio de Maxwell siendo el flujo de información fuente principal para poder extraer energía del sistema. Además se calculó la concurrencia y coherencia en el estado estacionario para distintos parámetros, y se evaluó su relación con los flujos de información. Así, se obtuvo que en la región en donde se ubica el máximo de coherencia y concurrencia, los flujos de información asociados a los puntos cuánticos L y R presentan un comportamiento casi idéntico.

*Una frase de dedicatoria,  
pueden ser dos líneas.*

***Saludos***

# Agradecimientos

Lorem ipsum dolor sit amet, consectetur adipiscing elit. Ut purus elit, vestibulum ut, placerat ac, adipiscing vitae, felis. Curabitur dictum gravida mauris. Nam arcu libero, nonummy eget, consectetur id, vulputate a, magna. Donec vehicula augue eu neque. Pellentesque habitant morbi tristique senectus et netus et malesuada fames ac turpis egestas. Mauris ut leo. Cras viverra metus rhoncus sem. Nulla et lectus vestibulum urna fringilla ultrices. Phasellus eu tellus sit amet tortor gravida placerat. Integer sapien est, iaculis in, pretium quis, viverra ac, nunc. Praesent eget sem vel leo ultrices bibendum. Aenean faucibus. Morbi dolor nulla, malesuada eu, pulvinar at, mollis ac, nulla. Curabitur auctor semper nulla. Donec varius orci eget risus. Duis nibh mi, congue eu, accumsan eleifend, sagittis quis, diam. Duis eget orci sit amet orci dignissim rutrum.

# Tabla de Contenido

<b>1. Introducción</b>	<b>1</b>
<b>2. Sistemas cuánticos abiertos</b>	<b>2</b>
2.1. Sistemas cuánticos cerrados . . . . .	2
2.1.1. Cuadro de interacción . . . . .	2
2.2. Ecuación de Lindblad . . . . .	3
2.2.1. Dinámica de un sistema abierto . . . . .	3
2.2.2. Ecuación maestra . . . . .	3
<b>3. Estadística de conteo(<i>Full Counting Statistics</i>)</b>	<b>8</b>
3.1. Cantidades termodinámicas . . . . .	8
3.2. Leyes de la termodinámica . . . . .	9
3.2.1. Ley cero . . . . .	9
3.2.2. Primera Ley . . . . .	9
3.2.3. Segunda Ley . . . . .	9
3.3. Estadística de medición en dos puntos . . . . .	10
3.4. Formalismo de Superoperadores y Espacio de Liouville . . . . .	12
3.5. Ecuación maestra generalizada . . . . .	14
3.5.1. Resolución finita de energía . . . . .	15
3.5.2. Agrupación de frecuencias . . . . .	16
3.6. Consistencia termodinámica . . . . .	18
3.6.1. Ley cero . . . . .	18
3.6.2. Segunda ley . . . . .	19
<b>4. Flujos de información</b>	<b>20</b>
4.1. Demonio de Maxwell . . . . .	20
4.2. Demonio de Maxwell autónomo . . . . .	21
4.3. Descripción clásica . . . . .	22
4.4. Segunda Ley de la termodinámica y flujos de información . . . . .	23
4.5. Descripción cuántica . . . . .	25
4.6. Flujos de información en contexto cuántico . . . . .	26
<b>5. Dinámica de un sistema de 3 puntos cuánticos conectado al ambiente</b>	<b>28</b>
5.1. Modelo teórico . . . . .	28
5.2. Estudio del transporte . . . . .	31
5.3. Demonio de Maxwell en 3 puntos cuánticos . . . . .	35
5.4. Comparación con caso clásico . . . . .	45

<b>6. Conclusiones</b>	<b>49</b>
<b>Bibliografía</b>	<b>50</b>
<b>Anexos</b>	<b>53</b>
A. Cálculos realizados sección 3 . . . . .	53
A.1. Matriz densidad en función del campo de conteo . . . . .	53
A.2. Matriz densidad generalizada . . . . .	54
A.3. Funciones correlación . . . . .	57
A.4. Ecuación de Lindblad generalizada . . . . .	59
A.5. Condición KMS y funciones correlación espectral . . . . .	60
A.6. Redefinición leyes de la termodinámica . . . . .	61
A.7. Segunda Ley . . . . .	62
B. Cálculos realizados sección 4 . . . . .	63
B.1. Producción de entropía y información . . . . .	63
C. Cálculos realizados seccion 5 . . . . .	65
C.1. Funciones de correlación para un baño de fermiones libres . . . . .	65
C.2. Operadores de salto de sistema de 3 puntos cuánticos . . . . .	65
C.3. Agrupación de frecuencias para 2 puntos cuánticos . . . . .	68
C.4. Límitaciones de la aproximación semilocal . . . . .	70
C.5. Aspecto Markoviano de las funciones correlación . . . . .	71
C.6. Cálculo numérico para $\tau_{Bf}$ . . . . .	74
C.7. Concurrencia . . . . .	78
C.8. Modelo clásico . . . . .	79
C.9. Inverso de Drazin . . . . .	81
C.10. Expresión para los flujos de información . . . . .	82

# Índice de Ilustraciones

4.1.	Esquema que representa al Demonio de Maxwell. Primero, consiste en los dos compartimientos que poseen el gas ideal distribuido de manera homogénea. Por último, al trasladar las partículas de un lado a otro, queda el compartimiento A con partículas frías mientras que el compartimiento B con partículas calientes. Esta figura fue tomada de [19] . . . . .	21
5.1.	Esquema que representa los 3 puntos cuánticos como 3 niveles de energía, los cuáles sienten interacción repulsiva entre ellos, cada uno de estos puntos cuánticos está acoplado a un baño distinto. . . . .	28
5.2.	Gráfico que representa la corriente de partículas en función de $eV/T$ . Las temperaturas del sistema son $T_L = T_R = 100$ , $T_d = 2$ , el parámetro de acoplamiento es $g = 5/1000$ , las energías de sitio son $\epsilon = 4$ , $\epsilon_d = \mu_d - U/2$ , y energías de Coulomb $U_F = 500$ , $U = 40$ . . . . .	31
5.3.	Gráfico de la potencia que entregan los reservorios en función de $eV/T$ . . . . .	31
5.4.	Gráfico de el flujo de energía entre los sistemas $LR$ y $D$ . . . . .	32
5.5.	Gráfico del flujo de calor que entregan los reservorios en función de $eV/T$ . . . . .	32
5.6.	La línea azul corresponde a la coherencia mientras que la línea roja la concurrencia, todo esto en función de $eV/T$ . . . . .	33
5.7.	Esquema que representa el primer paso en la dinámica. . . . .	35
5.8.	Esquema que representa el segundo paso en la dinámica. . . . .	36
5.9.	Esquema que representa el tercer paso en la dinámica. . . . .	36
5.10.	Partes diagonales de la matriz densidad en función de $eV/T$ . . . . .	37
5.11.	(a)Flujos de corriente de calor que libera el reservorio $\alpha$ . (b)Flujo de corriente de partículas correspondiente a cada reservorio. Para obtener estos resultados se usaron las temperaturas $T = 100$ , $T_d = 2$ , razones de transición de $\gamma_L = \gamma_R^U = 1/100$ , $\gamma_R = \gamma_L^U = 1/600$ , $\gamma_D = \gamma_D^U = 1/50$ , potencial químico $\mu_d = 2$ , parámetro de acoplamiento $g = 5/1000$ , interacciones de Coulomb $U = 40$ , $U_F = 500$ y por último niveles de energía $\epsilon = 4$ y $\epsilon_d = \mu_d - U/2$ . . . . .	38
5.12.	Gráfico de la razón de producción de entropía aparente del sistema $LR$ dada por $\dot{\sigma}_{LR}^o$ en función de $eV/T$ . . . . .	39
5.13.	Gráfico de la razón de producción de entropía aparente del sistema $LR$ dada por $\dot{\sigma}_{LR}$ en función de $eV/T$ . . . . .	39
5.14.	(a) Gráfico del flujo de energía, la razón de cambio de energía libre, contribución de información, potencia y flujo de calor del sistema LR. (b) Gráfico del flujo de energía, la razón de cambio de energía libre, contribución de información, potencia y flujo de calor del Demonio. . . . .	40

5.15.	(a) Gráfico del flujo de energía, la razón de cambio de energía libre, contribución de información, potencia y flujo de calor del sistema LR. (b) Gráfico del flujo de energía, la razón de cambio de energía libre, contribución de información, potencia y flujo de calor del Demonio. . . . .	41
5.16.	En líneas azul la norma- $l_1$ de la coherencia $\mathcal{C}_{l_1}$ y en líneas rojas la concurrencia $\mathcal{C}_{on}$ . . . . .	42
5.17.	Cantidades termodinámicas para el sistema $LR$ y el Demonio en función de $g/\gamma_L$ , considerando $eV/T = 1$ y el resto de parámetros corresponden a los de la Figura 5.11. . . . .	43
5.18.	(a)Gráfico de los flujos de información de cada sitio. (b)Gráfico de la concurrencia y la coherencia en función de $g/\gamma_L$ . . . . .	44
5.19.	En línea azul el cálculo realizado con el modelo cuántico que permite coherencias no nulas, mientras que la línea roja corresponde al cálculo semiclásico. En estos gráficos el único dato que se modificó es el de $\epsilon = 0$ comparando con el de secciones anteriores. . . . .	46
C.1.	Descripción gráfica de las razones de tuneo en función de las frecuencias $\omega$ . . . . .	72
C.2.	Gráficos de la parte real e imaginaria de las funciones correlación en función del tiempo para los baños $L$ y $R$ con una diferencia de potencial correspondiente a $eV = 20$ y $\sigma = +$ . . . . .	75
C.3.	Gráficos de la parte real e imaginaria de las funciones correlación en función del tiempo para los baños $L$ y $R$ con una diferencia de potencial correspondiente a $eV = 20$ y $\sigma = -$ . . . . .	76
C.4.	Gráficos de las partes diagonales de la matriz densidad del sistema $LRD$ en función del tiempo. . . . .	77



# Capítulo 1

## Introducción

# Capítulo 2

## Sistemas cuánticos abiertos

En este capítulo se describen los conceptos básicos para poder describir la evolución de un sistema cuántico, en la sección 2.1.1 se describe la evolución unitaria para un sistema cerrado. Por otro lado en la sección 2.2.2 se describe una de las ecuaciones utilizadas para describir el comportamiento de un sistema cuántico acoplado a un reservorio con infinitos grados de libertad.

### 2.1. Sistemas cuánticos cerrados

Un sistema cuántico cerrado puede ser descrito por la matriz densidad  $\hat{\rho}$ , la evolución de la matriz densidad dependerá del Hamiltoniano del sistema  $\hat{H}(t)$ , la cuál en el cuadro de Schrodinger consiste en la ecuación de Liouville-Von Neumann( $\hbar = 1$ )[1]:

$$\frac{d}{dt}\hat{\rho}(t) = -i[\hat{H}(t), \hat{\rho}(t)].$$

Y la solución descrita por la evolución unitaria

$$\hat{U}(t, t_0) = \hat{T}_{\leftarrow} \exp \left[ -i \int_{t_0}^t ds \hat{H}(s) \right] \implies \hat{\rho}(t) = \hat{U}(t, t_0) \hat{\rho}(t_0) \hat{U}^\dagger(t, t_0),$$

en donde  $\hat{T}_{\leftarrow}$  consiste en el operador ordenación temporal cronológico que ordena los productos de operadores dependientes del tiempo, de tal manera que el tiempo en el que son evaluados los operadores va creciendo de derecha a izquierda.

#### 2.1.1. Cuadro de interacción

Supongamos que el Hamiltoniano del sistema se puede separar en dos partes

$$\hat{H}(t) = \hat{H}_0 + \hat{H}_I(t),$$

en teoría esto se puede hacer de varias formas, pero por lo general, si tenemos el caso de dos subsistemas,  $\hat{H}_0$  contiene los Hamiltonianos de cada uno de ellos cuando no hay interacción, mientras que  $\hat{H}_I$  representa la interacción entre ellos. Si introducimos los operadores unitarios

$$\hat{U}_0(t, t_0) \equiv \exp[-i\hat{H}_0(t - t_0)] \quad \hat{U}_I(t, t_0) \equiv \hat{U}_0^\dagger(t, t_0) \hat{U}(t, t_0),$$

se puede describir la matriz densidad en el cuadro de interacción

$$\hat{\rho}_I(t) \equiv \hat{U}_I(t, t_0) \hat{\rho}(t_0) \hat{U}_I^\dagger(t, t_0).$$

Y la evolución en este cuadro de interacción es

$$\frac{d}{dt} \hat{\rho}_I(t) = -i[\tilde{H}_I(t), \hat{\rho}_I(t)], \quad (2.1)$$

con

$$\tilde{H}_I(t) = \hat{U}_0^\dagger(t, t_0) \hat{H}_I(t) \hat{U}_0(t, t_0).$$

## 2.2. Ecuación de Lindblad

### 2.2.1. Dinámica de un sistema abierto

Un sistema abierto consiste en un sistema cuántico  $S$  denominado el sistema reducido, el cuál está acoplado a un sistema  $B$  denominado el ambiente. Estos representan subsistemas del sistema total  $S + B$ . Sea  $\mathcal{H}_s$  el espacio de Hilbert del sistema y  $\mathcal{H}_B$  el espacio de Hilbert del ambiente, el espacio de Hilbert del sistema total  $S + B$  es  $\mathcal{H} = \mathcal{H}_s \otimes \mathcal{H}_B$ , el Hamiltoniano total se constituye por el Hamiltoniano del sistema  $\hat{H}_S$ , el Hamiltoniano  $\hat{H}_B$  y la interacción  $\hat{H}_I(t)$

$$\hat{H}(t) = \hat{H}_S \otimes \mathbf{I}_B + \mathbf{I}_s \otimes \hat{H}_B + \hat{H}_I(t). \quad (2.2)$$

Para describir el sistema con la ecuación 2.2 es necesario separarlo en dos subsistemas,  $S$  y  $B$ , permitiendo así que el espacio de Hilbert total sea descrito por  $\mathcal{H} = \mathcal{H}_s \otimes \mathcal{H}_B$ . Sin embargo, en el caso de partículas idénticas como los fermiones el identificar estos dos subsistemas no es obvio. Aún así, en el formalismo de segunda cuantización el sistema se puede describir mediante una base del espacio de Fock, que sí permite encontrar subsistemas en los cuáles el espacio de Hilbert total es un producto tensorial entre los dos subsistemas[2, 3].

Los observables que se estudian en el sistema  $S$  son de la forma  $A \otimes \mathbf{I}_B$  y su valor de expectación puede ser calculado mediante la ecuación

$$\langle A \rangle = \text{Tr}_S\{A \hat{\rho}_S\},$$

donde

$$\hat{\rho}_S = \text{Tr}_B\{\hat{\rho}\},$$

es la matriz densidad del sistema reducido. La expresión  $\text{Tr}_S$  hace referencia a la traza con respecto al espacio de Hilbert del sistema, mientras que  $\text{Tr}_B$  es la traza con respecto al espacio de Hilbert del ambiente. El objeto de estudio principalmente es  $\hat{\rho}_S$  y la ecuación de Lindblad será utilizada para describir su evolución.

### 2.2.2. Ecuación maestra

Partiendo de un sistema  $S$  acoplado débilmente a un reservorio  $B$ , en donde el Hamiltoniano total es descrito por

$$\hat{H} = \hat{H}_S + \hat{H}_B + \hat{H}_I,$$

la evolución en el cuadro de interacción del sistema total será

$$\frac{d}{dt}\hat{\rho}_I(t) = -i[\hat{H}_I(t), \hat{\rho}_I(t)], \quad (2.3)$$

o en su forma integral

$$\hat{\rho}_I(t) = \hat{\rho}(0) - i \int_0^t ds [\hat{H}_I(s), \hat{\rho}_I(s)].$$

Reinsertando la forma integral en la ecuación 2.3 y trazando los grados de libertad del reservorio, nos queda

$$\frac{d}{dt}\hat{\rho}_{IS}(t) = -i\text{Tr}_B\{[\hat{H}_I(t), \hat{\rho}(0)]\} - \int_0^t ds \text{Tr}_B\{[\hat{H}_I(t), [\hat{H}_I(s), \hat{\rho}_I(s)]]\}. \quad (2.4)$$

Ahora se asumirán dos cosas, primero que  $\text{Tr}_B\{[\hat{H}_I(t), \rho(0)]\} = 0$ . Segundo, debido a que todavía la ecuación depende de  $\hat{\rho}(t)$  correspondiente al sistema total, tendremos que realizar la aproximación de Born, que consiste en que si se tiene acoplamiento débil, la influencia del sistema en el reservorio será pequeña, por ende se puede asumir que el estado del reservorio  $\hat{\rho}_B$  permanece constante, y sólo el que se ve alterado es la evolución del sistema, es decir

$$\hat{\rho}(t) = \hat{\rho}_S(t) \otimes \hat{\rho}_B,$$

con lo cuál la ecuación 2.3 se vuelve

$$\frac{d}{dt}\hat{\rho}_{IS}(t) = - \int_0^t ds \text{Tr}_B\{[\hat{H}_I(t), [\hat{H}_I(s), \hat{\rho}_{IS}(s) \otimes \hat{\rho}_B]]\}. \quad (2.5)$$

Esta ecuación es lo que se denomina no Markoviana, ya que requiere conocer todo el pasado de  $\hat{\rho}_{IS}(s)$ . Para simplificar el problema, se aplicará la aproximación de Markov, con el objetivo de que la evolución de  $\hat{\rho}_{IS}(t)$  dependa sólo del estado en que se encuentra en el instante de tiempo, es decir

$$\frac{d}{dt}\hat{\rho}_{IS}(t) = - \int_0^t ds \text{Tr}_B\{[\hat{H}_I(t), [\hat{H}_I(s), \hat{\rho}_{IS}(t) \otimes \hat{\rho}_B]]\},$$

esta ecuación es denominada la ecuación de Redfield. Se puede hacer el cambio de variable  $s = t - s$ , así el integral queda

$$\frac{d}{dt}\hat{\rho}_{IS}(t) = - \int_0^t ds \text{Tr}_B\{[\hat{H}_I(t), [\hat{H}_I(t-s), \hat{\rho}_{IS}(t) \otimes \hat{\rho}_B]]\}. \quad (2.6)$$

Por último, se podrá hacer otra aproximación, ya que en esta expresión aparecen las funciones correlación del baño, las cuáles decaen en el tiempo con una escala característica dada por el denominado tiempo de correlación  $\tau_B$ , a partir del cual dichas funciones se vuelven despreciables. Mientras que el sistema tendrá su tiempo de relajación  $\tau_R$  que consiste en el tiempo que demora en llegar a su estado estacionario. La aproximación markoviana requiere que  $\tau_R \gg \tau_B$ , ya que él sistema no debe ser capaz de percibir la dinámica del baño, esto permite tomar el límite del integral en 2.6 a infinito, ya que para tiempos muy largos se anula el integral debido a que las funciones correlación se vuelven prácticamente nulas. Y

finalmente quedará la evolución

$$\frac{d}{dt}\hat{\rho}_{IS}(t) = - \int_0^\infty ds \text{Tr}_B \{ [\hat{H}_I(t), [\hat{H}_I(t-s), \hat{\rho}_{IS}(t) \otimes \hat{\rho}_B]] \}. \quad (2.7)$$

La interacción en el cuadro de Schrodinger  $\hat{H}_I$  será de la forma general

$$\hat{H}_I = \sum_{\alpha} A_{\alpha} \otimes B_{\alpha},$$

en donde los operadores  $A_{\alpha} = A_{\alpha}^{\dagger}$  actúan en el espacio de Hilbert del sistema, mientras que  $B_{\alpha} = B_{\alpha}^{\dagger}$  actúa en el espacio de Hilbert del reservorio. Es conveniente escribir la interacción en función de los autoestados de  $\hat{H}_S$ . Para ello, si tenemos los autovalores  $\epsilon$  y sus respectivos operadores de proyección  $\Pi(\epsilon) = |\epsilon\rangle\langle\epsilon|$ , se podrán definir los operadores

$$A_{\alpha}(\omega) \equiv \sum_{\epsilon' - \epsilon} \Pi(\epsilon) A_{\alpha} \Pi(\epsilon'),$$

estos operadores se denominan operadores globales, ya que utilizan los autoestados del sistema. Debido a esta definición, se cumplen las relaciones

$$\begin{aligned} [\hat{H}_S, A_{\alpha}(\omega)] &= -\omega A_{\alpha}(\omega) \\ [\hat{H}_S, A_{\alpha}^{\dagger}(\omega)] &= \omega A_{\alpha}^{\dagger}(\omega), \end{aligned}$$

posteriormente se deberá pasar al cuadro de interacción y calcular  $U_s^{\dagger}(t)\hat{H}_I U_s(t)$ . Para ello, se utilizará la relación de Baker Campbell

$$e^A B e^{-A} = B + [A, B] + \frac{1}{2}[A, [A, B]] + \dots, \quad (2.8)$$

y se puede derivar las relaciones

$$\begin{aligned} e^{i\hat{H}_S t} A_{\alpha}(\omega) e^{-i\hat{H}_S t} &= e^{-i\omega t} A_{\alpha}(\omega) \\ e^{i\hat{H}_S t} A_{\alpha}^{\dagger}(\omega) e^{-i\hat{H}_S t} &= e^{i\omega t} A_{\alpha}^{\dagger}(\omega). \end{aligned}$$

De la relación de completitud  $\sum_{\epsilon} \Pi(\epsilon) = \mathbf{I}$  podremos notar que

$$\begin{aligned} \sum_{\omega} A_{\alpha}(\omega) &= \sum_{\omega, \epsilon' - \epsilon = \omega} \Pi(\epsilon) A_{\alpha} \Pi(\epsilon') \\ &= \sum_{\omega, \epsilon} \Pi(\epsilon) A_{\alpha} \Pi(\epsilon + \omega) \\ &= A_{\alpha} = \sum_{\omega} A_{\alpha}^{\dagger}(\omega), \end{aligned}$$

con esto el Hamiltoniano de interacción en el cuadro de Schrodinger

$$\hat{H}_I = \sum_{\alpha, \omega} A_{\alpha}(\omega) \otimes B_{\alpha} = \sum_{\alpha, \omega} A_{\alpha}^{\dagger}(\omega) \otimes B_{\alpha}^{\dagger}.$$

Aplicando las relaciones en el cuadro de interacción

$$\hat{H}_I(t) = \sum_{\alpha, \omega} e^{-i\omega t} A_\alpha(\omega) \otimes B_\alpha(t) = \sum_{\alpha, \omega} e^{i\omega t} A_\alpha^\dagger(\omega) \otimes B_\alpha^\dagger(t), \quad (2.9)$$

donde  $B_\alpha(t) = e^{i\hat{H}_B t} B_\alpha e^{-i\hat{H}_B t}$ . La ecuación 2.9 se puede introducir en la ecuación 2.7 y se obtiene

$$\begin{aligned} \frac{d}{dt} \hat{\rho}_{IS}(t) = \int_0^\infty ds \text{Tr}_B \Big[ & \hat{H}_I(t-s) \hat{\rho}_{IS}(t) \hat{\rho}_B \hat{H}_I(t) - \hat{\rho}_{IS}(t) \hat{\rho}_B \hat{H}_I(t-s) \hat{H}_I(t) \\ & + \hat{H}_I(t) \hat{\rho}_{IS}(t) \hat{\rho}_B \hat{H}_I(t-s) - \hat{H}_I(t) \hat{H}_I(t-s) \hat{\rho}_{IS}(t) \hat{\rho}_B \Big], \end{aligned}$$

así reemplazando la forma explícita de la interacción

$$\begin{aligned} \frac{d}{dt} \hat{\rho}_{IS}(t) = \sum_{\omega, \omega'} \sum_{\alpha, \beta} \int_0^\infty ds \text{Tr}_B [ & e^{i\omega s} B_\beta(t-s) \hat{\rho}_B B_\alpha^\dagger(t) ] e^{i(\omega' - \omega)t} \left( A_\beta(\omega) \hat{\rho}_{IS}(t) A_\alpha^\dagger(\omega') - A_\alpha^\dagger(\omega') A_\beta(\omega) \hat{\rho}_{IS}(t) \right) \\ & + \sum_{\omega, \omega'} \sum_{\alpha, \beta} \int_0^\infty ds \text{Tr}_B [ e^{-i\omega s} B_\alpha(t) \hat{\rho}_B B_\beta^\dagger(t-s) ] e^{-i(\omega' - \omega)t} \left( A_\alpha(\omega') \hat{\rho}_{IS}(t) A_\beta^\dagger(\omega) - \hat{\rho}_{IS}(t) A_\beta^\dagger(\omega) A_\alpha(\omega') \right). \end{aligned}$$

Se pueden definir las funciones correlación del baño por

$$\Gamma_{\alpha\beta}(\omega) = \int_0^\infty ds e^{i\omega s} \text{Tr}_B [ B_\alpha^\dagger(t) B_\beta(t-s) \hat{\rho}_B ],$$

y aplicando estas funciones queda

$$\begin{aligned} \frac{d}{dt} \hat{\rho}_{IS}(t) = \sum_{\omega, \omega'} \sum_{\alpha, \beta} e^{i(\omega' - \omega)t} \Gamma_{\alpha\beta}(\omega) \left( A_\beta(\omega) \hat{\rho}_{IS}(t) A_\alpha^\dagger(\omega') - A_\alpha^\dagger(\omega') A_\beta(\omega) \hat{\rho}_{IS}(t) \right) \\ + \sum_{\omega, \omega'} \sum_{\alpha, \beta} e^{-i(\omega' - \omega)t} \Gamma_{\beta\alpha}^*(\omega) \left( A_\alpha(\omega') \hat{\rho}_{IS}(t) A_\beta^\dagger(\omega) - \hat{\rho}_{IS}(t) A_\beta^\dagger(\omega) A_\alpha(\omega') \right). \end{aligned}$$

Si se considera el tiempo característico de evolución del sistema  $S$  como  $\tau_S = |\omega - \omega'|^{-1}$ , y además se cumple que el tiempo de relajación  $\tau_R \gg \tau_S$ , entonces los términos no seculares (aquellos con  $\omega \neq \omega'$ ) pueden despreciarse. Esto se debe a que los factores oscilatorios  $e^{i(\omega - \omega')t}$  varían rápidamente en la escala de tiempo  $\tau_R$ , promediándose a cero.

Al tomar esta aproximación, la evolución del sistema queda

$$\begin{aligned} \frac{d}{dt} \hat{\rho}_{IS}(t) = \sum_{\omega} \sum_{\alpha, \beta} \Gamma_{\alpha\beta}(\omega) \left( A_\beta(\omega) \hat{\rho}_{IS}(t) A_\alpha^\dagger(\omega) - A_\alpha^\dagger(\omega) A_\beta(\omega) \hat{\rho}_{IS}(t) \right) \\ + \sum_{\omega} \sum_{\alpha, \beta} \Gamma_{\beta\alpha}^*(\omega) \left( A_\alpha(\omega) \hat{\rho}_{IS}(t) A_\beta^\dagger(\omega) - \hat{\rho}_{IS}(t) A_\beta^\dagger(\omega) A_\alpha(\omega) \right), \end{aligned}$$

finalmente, separando la función correlación en una parte real y otra parte imaginaria  $\Gamma_{\alpha\beta}(\omega) = \gamma_{\alpha\beta}(\omega)/2 + iS_{\alpha\beta}(\omega)$  queda la ecuación de Lindblad

$$\frac{d}{dt} \hat{\rho}_{IS}(t) = -i[\hat{H}_{LS}, \hat{\rho}_{IS}(t)] + \mathcal{D}(\hat{\rho}_{IS}(t)), \quad (2.10)$$

con  $\hat{H}_{LS}$  el Hamiltoniano *Lamb Shift*

$$\hat{H}_{LS} = \sum_{\omega} \sum_{\alpha, \beta} S_{\alpha, \beta}(\omega) A_{\alpha}^{\dagger}(\omega) A_{\beta}(\omega),$$

y el Disipador

$$\mathcal{D}(\hat{\rho}_{IS}(t)) = \sum_{\omega} \sum_{\alpha, \beta} \gamma_{\alpha \beta}(\omega) \left[ A_{\beta}(\omega) \hat{\rho}_{IS}(t) A_{\alpha}^{\dagger}(\omega) - \frac{1}{2} \{ A_{\alpha}^{\dagger}(\omega) A_{\beta}(\omega), \hat{\rho}_{IS}(t) \} \right].$$

El escribir el disipador de esta manera es importante, ya que esta evolución se encuentra en la forma GKLS que permite preservar traza, hermiticidad y positividad de la matriz densidad[4].

# Capítulo 3

## Estadística de conteo(*Full Counting Statistics*)

En este capítulo se presenta el formalismo de *Full Counting Statistics*(FCS). La sección 3.1 esta dedicada a la descripción de las cantidades termodinámicas de interés, y en la sección 3.2 se establecen las leyes de la termodinámica en el contexto del modelo. En la sección 3.3 se desarrolla la estadística de medición en 2 puntos, mientras que en la sección 3.4 se describe brevemente el formalismo de superoperadores. Finalmente, en la sección 3.5 se desarrolla el cálculo de la ecuación maestra generalizada.

### 3.1. Cantidades termodinámicas

Se considera el sistema descrito por el Hamiltoniano

$$\hat{H}_{tot}(t) = \hat{H}_S(t) + \sum_{\alpha}(\hat{H}_{\alpha} + \hat{V}_{\alpha}) = \hat{H}_S(t) + \hat{H}_B + \hat{V},$$

donde el primer término describe el Hamiltoniano del sistema el cuál puede ser tiempo dependiente, la segunda parte describe los reservorios térmicos y por último la tercera parte constituye el acoplamiento entre sistema-baño.

El sistema intercambia energía y partículas con el reservorio, por ende el cambio de energía puede ser dividido por una contribución correspondiente al calor y otra correspondiente al trabajo. Así, se define el calor que libera el baño  $\alpha$  durante el intervalo de tiempo  $[0, t]$  como

$$\langle Q_{\alpha} \rangle = -\text{Tr}\{(\hat{H}_{\alpha} - \mu_{\alpha}\hat{N}_{\alpha})\hat{\rho}_{tot}(t)\} + \text{Tr}\{(\hat{H}_{\alpha} - \mu_{\alpha}\hat{N}_{\alpha})\hat{\rho}_{tot}(0)\}, \quad (3.1)$$

en la cuál  $\hat{N}_{\alpha}$  corresponde al operador de número que cuantifica el número de partículas en el baño  $\alpha$  y  $\mu_{\alpha}$  es su potencial químico. El trabajo promedio que entrega el reservorio  $\alpha$  se define como

$$\langle W_{\alpha} \rangle = -\mu_{\alpha}(\text{Tr}\{\hat{N}_{\alpha}\hat{\rho}_{tot}(t)\} - \text{Tr}\{\hat{N}_{\alpha}\hat{\rho}_{tot}(0)\}). \quad (3.2)$$



## 3.2. Leyes de la termodinámica

### 3.2.1. Ley cero

Si se tiene un sistema total descrito por un sistema reducido y un baño, que se encuentran en equilibrio a temperatura inversa  $\beta$  y potencial químico  $\mu$ . De tal manera que el estado del sistema en equilibrio es el equilibrio gran canónico

$$\hat{\rho}_{tot}^{eq} = \frac{e^{-\beta(\hat{H}_{tot}-\mu\hat{N}_{tot})}}{Z} \quad Z = \text{Tr}\{e^{-\beta(\hat{H}_{tot}-\mu\hat{N}_{tot})}\},$$

y por lo tanto el estado de equilibrio del sistema reducido es

$$\hat{\rho}_S = \frac{1}{Z} \text{Tr}_B\{e^{-\beta(\hat{H}_{tot}-\mu\hat{N}_{tot})}\},$$

que en el límite de acoplamiento débil entre el sistema y el baño, este equilibrio se convierte en [5]

$$\hat{\rho}_S = \frac{e^{-\beta(\hat{H}_S-\mu\hat{N}_S)}}{\text{Tr}_S\{e^{-\beta(\hat{H}_S-\mu\hat{N}_S)}\}}.$$

### 3.2.2. Primera Ley

Para escribir la primera ley, primero se debe introducir la corriente de calor y la potencia entregadas por el baño  $\alpha$

$$J_\alpha(t) = \partial_t \langle Q_\alpha \rangle \quad P_\alpha(t) = \partial_t \langle W_\alpha \rangle.$$

En el límite de acoplamiento débil para un Hamiltoniano tiempo independiente la primera ley consiste en

$$\partial_t E(t) = \sum_\alpha [J_\alpha(t) + P_\alpha(t)] \quad E = \text{Tr}\{\hat{H}_S \hat{\rho}_{tot}(t)\},$$

donde  $E(t)$  consiste en la energía interna del sistema, mientras que la corriente de calor y la potencia entregada por el baño  $\alpha$  en función de la matriz densidad del sistema será

$$J_\alpha(t) = \text{Tr}\{(\hat{H}_S - \mu_\alpha \hat{N}_S) \mathcal{L}_\alpha \hat{\rho}_S(t)\} \quad P_\alpha = \mu_\alpha \text{Tr}\{\hat{N}_S \mathcal{L}_\alpha \hat{\rho}_S(t)\}.$$

### 3.2.3. Segunda Ley

Para introducir la segunda ley se parte de la condición inicial en la que el sistema y el reservorio son sistemas no correlacionados, es decir

$$\hat{\rho}_{tot}(0) = \hat{\rho}_S(0) \otimes_\alpha \hat{\tau}_\alpha \quad \hat{\tau}_\alpha = \frac{e^{-\beta_\alpha(\hat{H}_\alpha - \mu_\alpha \hat{N}_\alpha)}}{\text{Tr}\{e^{-\beta_\alpha(\hat{H}_\alpha - \mu_\alpha \hat{N}_\alpha)}\}},$$

donde cada reservorio se encuentra en equilibrio gran canónico con inverso de la temperatura  $\beta_\alpha$  y potencial químico  $\mu_\alpha$ . Con esta condición inicial, la segunda ley puede ser escrita en función de la producción de entropía  $\sigma(t)$  como [6]

$$\sigma(t) \equiv \Delta S(t) - \sum_\alpha \beta_\alpha \langle Q_\alpha \rangle \geq 0.$$

$\Delta S$  denota el cambio en la entropía de Von Neumann del sistema

$$\Delta S(t) = -\text{Tr}\{\hat{\rho}_S(t) \ln \hat{\rho}_S(t)\} + \text{Tr}\{\hat{\rho}_S(0) \ln \hat{\rho}_S(0)\},$$

es decir, la producción de entropía se separa en una parte que corresponde al cambio de entropía del sistema, mientras que la segunda parte corresponde a la contribución debido al calor que entrega el ambiente.

Como en este trabajo se hará análisis de flujos continuos tanto de energía como de partículas, es importante estudiar la tasa de producción de entropía. Si bien, la producción de entropía siempre es positiva, la tasa de producción de entropía no siempre lo es, aún así para sistemas markovianos se cumple que [7]

$$\dot{\sigma}(t) \equiv \partial_t \Delta S(t) - \sum_{\alpha} \beta_{\alpha} J_{\alpha} \geq 0.$$

Y la igualdad se cumple para procesos reversibles. Con esto se han definido las leyes de la termodinámica en función de flujos continuos, que se podrán calcular a través de la matriz densidad reducida. En esta tesis estas cantidades serán estudiadas principalmente en el estado estacionario.

### 3.3. Estadística de medición en dos puntos

A lo largo de este trabajo, se pretende calcular diversas cantidades termodinámicas asociadas a la dinámica del sistema, tales como la energía y el trabajo. Si bien los valores promedio de estas cantidades pueden obtenerse con las expresiones 3.1 y 3.2, tanto el calor y el trabajo intercambiados con los reservorios deben considerarse como variables aleatorias, ya que su determinación implica medir sobre el estado de los reservorios. Debido a la naturaleza cuántica de la evolución, dichas mediciones pueden arrojar distintos resultados en diferentes repeticiones del experimento. Por lo tanto, para acceder a los valores promedio, es útil calcular la distribución de probabilidad del calor y el trabajo intercambiados por el reservorio. Para un sistema total descrito por la condición inicial  $\hat{\rho}_{tot}(0) = \hat{\rho}_S(0) \otimes_{\alpha} \hat{\tau}_{\alpha}$  la distribución de probabilidad es

$$P(\mathbf{Q}, \mathbf{W}) = \sum_{\mathbf{E}, \mathbf{E}', \mathbf{N}, \mathbf{N}'} P_t(\mathbf{E}', \mathbf{N}' | \mathbf{E}, \mathbf{N}) P_0(\mathbf{E}, \mathbf{N}) \\ \times \Pi_{\alpha} \delta(W_{\alpha} - \mu_{\alpha}(N_{\alpha} - N'_{\alpha})) \delta(Q_{\alpha} + W_{\alpha} - (E_{\alpha} - E'_{\alpha})).$$

La probabilidad conjunta de que cada baño  $\alpha$  tenga energía  $E_{\alpha}$  y número de partículas  $N_{\alpha}$  a tiempo  $t = 0$  es

$$P_0(\mathbf{E}, \mathbf{N}) = \Pi_{\alpha} \frac{e^{-\beta_{\alpha}(E_{\alpha} - \mu_{\alpha} N_{\alpha})}}{\text{Tr}\{e^{-\beta_{\alpha}(E_{\alpha} - \mu_{\alpha} N_{\alpha})}\}}.$$

Para obtener  $P_t(\mathbf{E}', \mathbf{N}' | \mathbf{E}, \mathbf{N})$  que corresponde a la probabilidad condicional de que los reservorios tengan energías  $\mathbf{E}'$  y números de partículas  $\mathbf{N}'$  a tiempo  $t$ , dado que inicialmente se midieron los valores  $\mathbf{E}$  y  $\mathbf{N}$ , se debe partir del estado proyectado a  $t = 0$  correspondiente a dicha medición inicial, es decir

$$\hat{\rho}'(0) = \frac{\hat{P}_{\mathbf{E},\mathbf{N}}\hat{\rho}(0)\hat{P}_{\mathbf{E},\mathbf{N}}}{\text{Tr}\{\hat{P}_{\mathbf{E},\mathbf{N}}\hat{\rho}(0)\hat{P}_{\mathbf{E},\mathbf{N}}\}},$$

donde  $\hat{P}_{\mathbf{E},\mathbf{N}} = I_S \otimes \hat{P}_{\mathbf{E},\mathbf{N}}^B$  es el proyector asociado a una medición de las energías y los números de partículas en los reservorios. A continuación, el sistema evoluciona de forma unitaria hasta un tiempo  $t$

$$\hat{\rho}'(t) = \hat{U}(t)\hat{\rho}'(0)\hat{U}^\dagger(t),$$

finalmente se realiza una segunda medición a tiempo  $t$ , obteniéndose los valores  $\mathbf{E}'$  y  $\mathbf{N}'$ . Así, la probabilidad condicional correspondiente es

$$P_t(\mathbf{E}', \mathbf{N}' | \mathbf{E}, \mathbf{N}) = \text{Tr}\{\hat{P}_{\mathbf{E}',\mathbf{N}'}\hat{\rho}'(t)\hat{P}_{\mathbf{E}',\mathbf{N}'}\},$$

escribiendo los proyectores de manera explícita  $\hat{P}_{\mathbf{E},\mathbf{N}}^B = |\mathbf{E}, \mathbf{N}\rangle\langle\mathbf{E}, \mathbf{N}|$ , se puede obtener

$$\begin{aligned} P_t(\mathbf{E}', \mathbf{N}' | \mathbf{E}, \mathbf{N}) &= \text{Tr}\{\hat{U}(t)(\hat{\rho}_S(0) \otimes |\mathbf{E}, \mathbf{N}\rangle\langle\mathbf{E}, \mathbf{N}|)\hat{U}^\dagger(t)|\mathbf{E}', \mathbf{N}'\rangle\langle\mathbf{E}', \mathbf{N}'|\} \\ &= \text{Tr}\{|\mathbf{E}, \mathbf{N}\rangle\langle\mathbf{E}', \mathbf{N}'|\hat{U}(t)\hat{\rho}_S(0)\langle\mathbf{E}, \mathbf{N}|\hat{U}^\dagger(t)|\mathbf{E}', \mathbf{N}'\rangle\} \\ &= \text{Tr}_S\{\text{Tr}_B\{|\mathbf{E}, \mathbf{N}\rangle\langle\mathbf{E}', \mathbf{N}'|\hat{U}(t)\}\hat{\rho}_S(0)\langle\mathbf{E}, \mathbf{N}|\hat{U}^\dagger(t)|\mathbf{E}', \mathbf{N}'\rangle\} \\ &= \text{Tr}_s\{\text{Tr}_B\{|\mathbf{E}, \mathbf{N}\rangle\langle\mathbf{E}', \mathbf{N}'|\hat{U}(t)\}\hat{\rho}_S(0)\text{Tr}_B\{\hat{U}^\dagger(t)|\mathbf{E}', \mathbf{N}'\rangle\langle\mathbf{E}, \mathbf{N}|\}\}. \end{aligned}$$

Por ende,  $P_t(\mathbf{E}', \mathbf{N}' | \mathbf{E}, \mathbf{N})$  se puede expresar como

$$P_t(\mathbf{E}', \mathbf{N}' | \mathbf{E}, \mathbf{N}) = \text{Tr}_S\{\hat{M}\hat{\rho}_s(0)\hat{M}^\dagger\} \quad \hat{M} = \text{Tr}_B\{|\mathbf{E}, \mathbf{N}\rangle\langle\mathbf{E}', \mathbf{N}'|\hat{U}(t)\}.$$

Al contar con una distribución de probabilidad, se puede construir la función generadora de momentos, a partir de la cuál pueden obtenerse cantidades como el promedio o la varianza. Esta función es

$$\Lambda(\vec{\lambda}, \vec{\chi}) \equiv \int d\mathbf{Q} d\mathbf{W} P(\mathbf{Q}, \mathbf{W}) e^{-i\vec{\lambda} \cdot \mathbf{Q} - i\vec{\chi} \cdot \mathbf{W}}, \quad (3.3)$$

que se puede escribir en función de la evolución de una matriz densidad auxiliar A.1

$$\Lambda(\vec{\lambda}, \vec{\chi}) = \text{Tr}\{\hat{\rho}_{tot}(\vec{\lambda}, \vec{\chi}; t)\} \quad \hat{\rho}_{tot}(\vec{\lambda}, \vec{\chi}; t) = \hat{U}(\vec{\lambda}, \vec{\chi}; t)\hat{\rho}_{tot}(0)\hat{U}^\dagger(\vec{\lambda}, \vec{\chi}; t), \quad (3.4)$$

y

$$\hat{U}(\vec{\lambda}, \vec{\chi}; t) = e^{\frac{i}{2} \sum_\alpha [\lambda_\alpha (\hat{H}_\alpha - \mu_\alpha \hat{N}_\alpha) + \chi_\alpha \mu_\alpha \hat{N}_\alpha]} \hat{U}(t) e^{-\frac{i}{2} \sum_\alpha [\lambda_\alpha (\hat{H}_\alpha - \mu_\alpha \hat{N}_\alpha) + \chi_\alpha \mu_\alpha \hat{N}_\alpha]},$$

$\vec{\lambda}$  y  $\vec{\chi}$  se denominan los parámetros de conteo o *Counting Fields*, y  $\hat{\rho}(\vec{\lambda}, \vec{\chi}; t)$  se denomina la matriz densidad generalizada. Conocer la evolución de esta matriz permite acceder a los momentos del calor, el trabajo y en general, del observable que se quiera estudiar. Sin embargo, dado que esta matriz se define a partir de la matriz densidad total, el siguiente paso consiste en derivar una ecuación maestra efectiva para los grados de libertad del sistema reducido.

### 3.4. Formalismo de Superoperadores y Espacio de Liouville

Un operador en el espacio de Hilbert, representado por  $\hat{\rho}$  y de dimensión  $N \times N$ , puede mapearse al espacio de Liouville mediante un vector columna  $|\rho\rangle\rangle$  de dimension  $N^2 \times 1$ . De forma análoga, un superoperador  $L$ , que actúa sobre  $\hat{\rho}$  en el espacio de Hilbert, se convierte en una matriz  $\check{L}$  de dimensión  $N^2 \times N^2$  que actúa sobre  $|\rho\rangle\rangle$  en el espacio de Liouville. En este espacio se definen las siguientes operaciones

$$\langle\langle A|B\rangle\rangle \equiv \text{Tr}\{\hat{A}^\dagger \hat{B}\}$$

$$\check{1} \equiv \sum_{n,n'} |nn'\rangle\rangle \langle\langle nn'|$$

$$|nn'\rangle\rangle \rightarrow |n\rangle\langle n'| \quad \langle\langle nn'| \rightarrow |n'\rangle\langle n|,$$

además, se cumple que

$$\langle\langle nn'|mm'\rangle\rangle = \delta_{nm}\delta_{n'm'}$$

$$\langle\langle nn'|A\rangle\rangle = \langle n|\hat{A}|n'\rangle$$

$$\langle\langle 1|A\rangle\rangle = \text{Tr}\{\hat{A}\}.$$

Si la evolución de la matriz densidad  $|\hat{\rho}(t)\rangle\rangle$  esta gobernada por el superoperador  $\check{\mathcal{L}}$ , entonces la evolución temporal en el espacio de Liouville es

$$\frac{d|\hat{\rho}(t)\rangle\rangle}{dt} = \check{\mathcal{L}}|\hat{\rho}(t)\rangle\rangle,$$

la solución formal de esta ecuación consiste en

$$|\hat{\rho}(t)\rangle\rangle = e^{\check{\mathcal{L}}t}|\hat{\rho}(0)\rangle\rangle. \quad (3.5)$$

Además, existen los superoperadores de proyección de Nakajima-Zwanzig, que actúan sobre la matriz densidad total. En este contexto, se define el superoperador  $\check{\mathcal{P}}$ , que proyecta sobre la parte relevante de la dinámica, mientras que  $\check{\mathcal{Q}} = 1 - \check{\mathcal{P}}$  proyecta sobre la parte irrelevante[8]. Que cumplen con las propiedades

$$\begin{aligned} \check{\mathcal{P}} + \check{\mathcal{Q}} &= \check{1} \\ \check{\mathcal{P}}^2 &= \check{\mathcal{P}} \\ \check{\mathcal{Q}}^2 &= \check{\mathcal{Q}} \\ \check{\mathcal{P}}\check{\mathcal{Q}} &= \check{\mathcal{Q}}\check{\mathcal{P}} = 0. \end{aligned}$$

Finalmente, la evolución temporal de la matriz densidad a través de estos proyectores es

$$\begin{aligned}\frac{d}{dt}\check{\mathcal{P}}|\hat{\rho}(t)\rangle\rangle &= \check{\mathcal{P}}\check{\mathcal{L}}\check{\mathcal{P}}|\hat{\rho}(t)\rangle\rangle + \check{\mathcal{P}}\check{\mathcal{L}}\check{\mathcal{Q}}|\hat{\rho}(t)\rangle\rangle \\ \frac{d}{dt}\check{\mathcal{Q}}|\hat{\rho}(t)\rangle\rangle &= \check{\mathcal{Q}}\check{\mathcal{L}}\check{\mathcal{Q}}|\hat{\rho}(t)\rangle\rangle + \check{\mathcal{Q}}\check{\mathcal{L}}\check{\mathcal{P}}|\hat{\rho}(t)\rangle\rangle.\end{aligned}$$

### 3.5. Ecuación maestra generalizada

Si se considera un Hamiltoniano total  $\hat{H} = \hat{H}_S + \hat{H}_B + \epsilon \hat{H}_I = \hat{H}_0 + \epsilon \hat{H}_I$ , con  $\epsilon$  un parámetro adimensional que posteriormente permite aplicar acoplamiento débil. Y se introduce este Hamiltoniano en la ecuación 3.4, se obtiene

$$\frac{d}{dt} \hat{\rho}_{tot}(\vec{\lambda}, \vec{\chi}, t) = -i[\hat{H}_0, \hat{\rho}_{tot}(\vec{\lambda}, \vec{\chi}, t)] - i\epsilon[\hat{V}_\lambda \hat{\rho}_{tot}(\vec{\lambda}, \vec{\chi}, t) - \hat{\rho}_{tot}(\vec{\lambda}, \vec{\chi}, t) \hat{V}_{-\lambda}], \quad (3.6)$$

con el operador  $\hat{V}_\lambda$  descrito por

$$\hat{V}_\lambda = e^{-\frac{i}{2} \hat{A}(\lambda, \chi)} \hat{H}_I e^{\frac{i}{2} \hat{A}(\lambda, \chi)},$$

y  $\hat{A}(\lambda, \chi) = -\sum_\alpha [\lambda_\alpha (\hat{H}_\alpha - \mu_\alpha \hat{N}_\alpha) + \chi_\alpha \mu_\alpha \hat{N}_\alpha]$ .

En el formalismo de superoperadores, 3.6 se transforma en

$$\begin{aligned} \frac{d}{dt} |\hat{\rho}_{tot}(\vec{\lambda}, \vec{\chi}, t)\rangle\rangle &= \check{\mathcal{L}}_\lambda |\hat{\rho}_{tot}(\vec{\lambda}, \vec{\chi}, t)\rangle\rangle \\ &= (\check{\mathcal{L}}_0 + \epsilon \check{\mathcal{L}}'_\lambda) |\hat{\rho}_{tot}(\vec{\lambda}, \vec{\chi}, t)\rangle\rangle. \end{aligned}$$

Si se utiliza el cuadro de interacción, esta ecuación se convierte en

$$\begin{aligned} \hat{\rho}_{totI}(\vec{\lambda}, \vec{\chi}, t) &= e^{-\mathcal{L}_0 t} \hat{\rho}_{tot}(\vec{\lambda}, \vec{\chi}, t) \\ &= e^{i\hat{H}_0 t} \hat{\rho}_{tot}(\vec{\lambda}, \vec{\chi}, t) e^{-i\hat{H}_0 t}. \end{aligned}$$

En el cuadro de interacción, el superoperador de Liouville que incorpora el parámetro de conteo se transforma en

$$\check{\mathcal{L}}_\lambda(t) = e^{-\check{\mathcal{L}}_0 t} \check{\mathcal{L}}_\lambda e^{\check{\mathcal{L}}_0 t},$$

y la evolución temporal en el cuadro de interacción es

$$\frac{d}{dt} |\hat{\rho}_{totI}(\vec{\lambda}, \vec{\chi}, t)\rangle\rangle = \epsilon \check{\mathcal{L}}_\lambda(t) |\hat{\rho}_{totI}(\vec{\lambda}, \vec{\chi}, t)\rangle\rangle, \quad (3.7)$$

de este modo, la evolución de los grados de libertad del sistema reducido en el espacio de Hilbert queda descrita por

$$\begin{aligned} \dot{\rho}_{IS}(\vec{\lambda}, \vec{\chi}, t) &= \epsilon^2 \int_0^t ds \left[ -\text{Tr}_B \{ \hat{V}_\lambda(t) \hat{V}_\lambda(t-s) \hat{\rho}_{IS}(\vec{\lambda}, \vec{\chi}, t) \hat{\rho}_R^{eq} \} - \text{Tr}_B \{ \hat{\rho}_{IS}(\vec{\lambda}, \vec{\chi}, t) \hat{\rho}_R^{eq} \hat{V}_{-\lambda}(t-s) \hat{V}_{-\lambda}(t) \} \right. \\ &\quad \left. + \text{Tr}_B \{ \hat{V}_\lambda(t) \hat{\rho}_{IS}(\vec{\lambda}, \vec{\chi}, t) \hat{\rho}_R^{eq} \hat{V}_{-\lambda}(t-s) \} + \text{Tr}_B \{ \hat{V}_\lambda(t-s) \hat{\rho}_{IS}(\vec{\lambda}, \vec{\chi}, t) \hat{\rho}_R^{eq} \hat{V}_{-\lambda}(t) \} \right], \quad (3.8) \end{aligned}$$

la demostración de esta ecuación se encuentra en el apéndice A.2.

Escribiendo una interacción de la forma

$$\begin{aligned}
\hat{V} &= \sum_{\alpha,k} \hat{S}_{\alpha,k} \hat{B}_{\alpha,k} \\
\hat{V}_\lambda &= \sum_{\alpha,k} \hat{S}_{\alpha,k} \hat{B}_{\alpha,k,\lambda} \\
\hat{B}_{\alpha,k,\lambda} &\equiv e^{(i/2)[\lambda_\alpha(\hat{H}_\alpha - \mu_\alpha \hat{N}_\alpha) + \chi_\alpha \mu_\alpha \hat{N}_\alpha]} \hat{B}_{\alpha,k} e^{-(i/2)[\lambda_\alpha(\hat{H}_\alpha - \mu_\alpha \hat{N}_\alpha) + \chi_\alpha \mu_\alpha \hat{N}_\alpha]},
\end{aligned}$$

donde los operadores del baño cumplen

$$[\hat{B}_{\alpha,k}, \hat{N}_\alpha] = n_{\alpha,k} \hat{B}_{\alpha,k},$$

con  $n_{\alpha,k}$  el número de partículas que se intercambia en la interacción  $k$ . Y para los operadores del sistema se cumple

$$\hat{U}_S^\dagger(t) \hat{S}_{\alpha,k} \hat{U}_S(t) = \sum_j e^{-i\omega_j t} \hat{S}_{\alpha,k;j},$$

con  $\hat{S}_{\alpha,k;j}$  los operadores de salto y  $\omega_j$  las frecuencias de Bohr del Hamiltoniano del sistema. Si se definen las funciones correlación como  $C_{k,k'}^\alpha(s) = \text{Tr}\{e^{is\hat{H}_\alpha} \hat{B}_{\alpha,k}^\dagger e^{-is\hat{H}_\alpha} \hat{B}_{\alpha,k'}\}$ , se obtiene la ecuación maestra generalizada

$$\frac{d}{dt} \hat{\rho}_{IS}(\vec{\lambda}, \vec{\chi}, t) = - \sum_{\alpha,k,k';j,j'} e^{i(\omega_j - \omega_{j'})t} \int_0^t ds \mathcal{I}(s, t), \quad (3.9)$$

donde

$$\begin{aligned}
\mathcal{I}(s, t) &= e^{i\omega_{j'} s} C_{k,k'}^\alpha(s) \hat{S}_{\alpha,k;j}^\dagger \hat{S}_{\alpha,k';j'} \hat{\rho}_{IS}(\vec{\lambda}, \vec{\chi}, t) + e^{-i\omega_j s} C_{k,k'}^\alpha(-s) \hat{\rho}_{IS}(\vec{\lambda}, \vec{\chi}, t) \hat{S}_{\alpha,k;j}^\dagger \hat{S}_{\alpha,k';j'} \\
&\quad - e^{-i\mu_\alpha n_{\alpha,k}(\lambda_\alpha - \chi_\alpha)} \left[ e^{i\omega_{j'} s} C_{k,k'}^\alpha(s - \lambda_\alpha) + e^{-i\omega_j s} C_{k,k'}^\alpha(-s - \lambda_\alpha) \right] \hat{S}_{\alpha,k';j'} \hat{\rho}_{IS}(\vec{\lambda}, \vec{\chi}, t) \hat{S}_{\alpha,k;j}^\dagger.
\end{aligned}$$

Esta ecuación fue deducida en el Apéndice A.3.

### 3.5.1. Resolución finita de energía

De forma análoga a lo presentado en la sección 2.2.2, uno de los requisitos que se busca en la evolución de la ecuación maestra es que sea Markoviana. Para ello, se debe tomar el límite superior del integral en el tiempo, presente en la ecuación 3.9, hacia infinito. Esta aproximación es válida siempre que el tiempo de correlación del baño  $\tau_B$  sea mucho menor al tiempo de relajación del sistema  $\tau_R$ . Sin embargo, en presencia de parámetros de conteo  $\lambda_\alpha$ , las funciones de correlación del baño adquieren una dependencia modificada en el tiempo, del tipo  $C_{k,k'}^\alpha(\pm\tau - \lambda_\alpha)$ . Por lo tanto, para que la aproximación markoviana sea válida en presencia de parámetros de conteo, se requiere que

$$C_{k,k'}^\alpha(\pm\tau - \lambda_\alpha) \approx 0 \quad \text{para } \tau > \tau_R.$$

Esto implica que el régimen de validez de la aproximación markoviana es

$$\tau_B \ll \tau_R \quad |\lambda_\alpha| \ll \tau_R.$$

Esto tiene repercusiones importantes, ya que implica que la resolución de diferencias de energía en la medición del calor sea finita. Esta limitación se debe a que el parámetro  $\lambda_\alpha$  y el calor medido en el baño  $Q_\alpha$  son variables conjugadas en la distribución de probabilidad de calor y trabajo. Esto implica que ambas obedecen una relación de incertidumbre [9]. Como consecuencia las diferencias de energía del orden de  $1/\tau_R$  dejan de ser confiables, ya que en ese régimen el valor promedio del calor es comparable con su varianza, es decir

$$\langle \Delta \lambda_\alpha^2 \rangle \langle (\Delta Q_\alpha)^2 \rangle \geq \gamma \implies \langle (\Delta Q_\alpha)^2 \rangle \geq \frac{\gamma}{\tau_R^2},$$

con  $\gamma$  alguna constante positiva. La profundidad de este resultado radica en que al aplicar una aproximación markoviana, la evolución del sistema sufre, de forma inherente, una resolución limitada respecto al calor intercambiado con los reservorios. Esta limitación puede conducir a inconsistencias termodinámicas, ya que se pierde información sobre fluctuaciones relevantes a escalas energéticas del orden  $1/\tau_R$ . Por lo tanto, para garantizar una evolución termodinámicamente consistente, es necesario redefinir las leyes de la termodinámica considerando explícitamente la resolución finita del calor impuesta por la dinámica.

### 3.5.2. Agrupación de frecuencias

La ecuación de Redfield no garantiza en general la preservación de la positividad, lo que puede llevar a la aparición de probabilidades negativas en la matriz densidad del sistema reducido. La forma más común de asegurar dicha positividad es aplicar la aproximación secular, vista en la sección 2.2.2, la cual conduce a una ecuación maestra en forma (GKLS).

Sin embargo, esta aproximación requiere que las frecuencias de Bohr estén bien separadas en comparación con  $1/\tau_R$ , lo cual excluye casos con frecuencias casi degeneradas. Esta condición impone una pérdida de efectos cuánticos significativos, ya que elimina los términos no seculares en la evolución temporal[10]. Para enfrentar esta limitación, puede considerarse un enfoque alternativo que conserve la positividad sin eliminar los términos no seculares. Partimos de que la aproximación de Markov garantiza que para dos frecuencias de transición distintas, se cumple al menos una de las siguientes condiciones:

$$|\omega_j - \omega_{j'}| \ll 1/\tau_B \quad \text{o} \quad |\omega_j - \omega_{j'}| \gg 1/\tau_R.$$

Incluso, ambas pueden cumplirse simultáneamente. Es posible agrupar las frecuencias de transición en subconjuntos  $x_q$ , tal que frecuencias que cumplen la primera desigualdad pertenecen al mismo conjunto, mientras que aquellas que cumplen la segunda pertenecen a conjuntos distintos. Esto se traduce matemáticamente en

$$\begin{aligned} |\omega_j - \omega_{j'}| &\ll 1/\tau_B & \omega_j \in x_q, \omega_{j'} \in x_q \\ |\omega_j - \omega_{j'}| &\gg 1/\tau_R & \omega_j \in x_q, \omega_{j'} \in x_{q'}. \end{aligned}$$

Notemos que para frecuencias  $\omega_j, \omega_{j'}$  que están en distintos grupos, se cumple la aproximación secular, es decir los términos  $e^{i(\omega_j - \omega_{j'})t}$  oscilan rápidamente, por ende en promedio se anulan.

La función correlación espectral  $\Gamma^\alpha(\omega) = \int_{-\infty}^{\infty} ds e^{i\omega s} C^\alpha(s)$ , representa la razón de transición del sistema entre estados con diferencia de energía  $\omega$ , inducida por el baño  $\alpha$ . Dentro de un mismo conjunto  $x_q$ , los términos  $e^{i\omega_j s}, e^{i\omega_{j'} s}$  contribuyen, respectivamente, a  $\Gamma^\alpha(\omega_j)$  y  $\Gamma^\alpha(\omega_{j'})$ ,



es decir, describen transiciones inducidas por el baño con energías cercanas  $\omega_j$  y  $\omega_{j'}$ . Sin embargo, debido a la resolución finita del calor intercambiado con el reservorio, no es posible distinguir entre transiciones con frecuencias dentro del mismo conjunto  $x_q$ . Por lo tanto, en las funciones correlación espectral se deben sustituir las frecuencias individuales  $\omega_j \in x_q$  por una frecuencia auxiliar  $\omega_q$ , es decir

$$e^{i\omega_j s}, e^{i\omega_{j'} s} \rightarrow e^{i\omega_q s} \quad |\omega_q - \omega_j| \ll 1/\tau_B \quad \forall \omega_j \in x_q.$$

Esta sustitución refleja la incapacidad de distinguir transiciones con energías dentro del mismo conjunto  $x_q$ , y permite construir una descripción coarse-grained de la dinámica que respeta tanto la positividad como las limitaciones de resolución energética[11].

Usando este esquema en la ecuación 3.9, se obtiene la ecuación en la forma GKLS

$$\frac{d}{dt} \hat{\rho}_{IS}(\vec{\lambda}, \vec{\chi}, t) = -i[\hat{H}_{LS}, \hat{\rho}_{IS}(\vec{\lambda}, \vec{\chi}, t)] + \sum_{\alpha} \tilde{\mathcal{L}}_{\alpha}^{\chi_{\alpha}, \lambda_{\alpha}} \hat{\rho}_{IS}(\vec{\lambda}, \vec{\chi}, t),$$

con

$$\tilde{\mathcal{L}}_{\alpha}^{\chi_{\alpha}, \lambda_{\alpha}} \hat{\rho} = \sum_{k,q} \Gamma_k^{\alpha}(\omega_q) \left[ e^{i\lambda_{\alpha}\omega_q + i(\chi_{\alpha} - \lambda_{\alpha})\mu_{\alpha}n_{\alpha,k}} \hat{S}_{\alpha,k;q}(t) \hat{\rho} \hat{S}_{\alpha,k;q}^{\dagger}(t) - \frac{1}{2} \{ \hat{S}_{\alpha,k;q}^{\dagger}(t) \hat{S}_{\alpha,k;q}(t), \hat{\rho} \} \right].$$

Los operadores de salto consisten en

$$\hat{S}_{\alpha,k;q}(t) = \sum_{\{j|\omega_j \in x_q\}} e^{-i\omega_j t} \hat{S}_{\alpha,k;j}.$$

Y el Hamiltoniano de *Lamb Shift*

$$\hat{H}_{LS} = \sum_{\alpha,k;q} \Delta_k^{\alpha}(\omega_q) \hat{S}_{\alpha,k;q}^{\dagger}(t) \hat{S}_{\alpha,k;q}(t),$$

con las cantidades

$$\Gamma_k^{\alpha}(\omega) = \int_{-\infty}^{\infty} ds e^{i\omega s} C_{k,k}^{\alpha}(s) \quad \Delta_k^{\alpha}(\omega) = -\frac{i}{2} \int_{-\infty}^{\infty} ds e^{i\omega s} \text{sign}(s) C_{k,k}^{\alpha}(s).$$

En donde se asume por simplicidad  $C_{k,k'}^{\alpha} \propto \delta_{k,k'}$ . La demostración de esta ecuación está incluida en el apéndice A.4.

En el límite en que los parámetros de conteo tienden a cero, se obtiene

$$\frac{d}{dt} \hat{\rho}_{IS}(t) = -i[\hat{H}_{LS}(t), \hat{\rho}_{IS}(t)] + \sum_{\alpha} \tilde{\mathcal{L}}_{\alpha} \hat{\rho}_{IS}(t),$$

con

$$\tilde{\mathcal{L}}_{\alpha} = \sum_{\{q|\omega_q > 0\}} \sum_k \Gamma_{k,k}^{\alpha}(\omega_q) \left[ \mathcal{D}[\hat{S}_{\alpha,k;q}(t)] + e^{-\beta_{\alpha}(\omega_q - \mu_{\alpha}n_{\alpha,k})} \mathcal{D}[\hat{S}_{\alpha,k;q}^{\dagger}(t)] \right].$$

La demostración de esta ecuación se encuentra en A.5.

Para un Hamiltoniano tiempo independiente, la ecuación maestra en el cuadro de Schrodinger es

$$\frac{d}{dt} \hat{\rho}_S = -i[\hat{H}_S + \hat{H}_{LS}, \hat{\rho}_S(t)] + \sum_{\alpha} \mathcal{L}_{\alpha}(\hat{\rho}_S(t)), \quad (3.10)$$

con

$$\mathcal{L}_\alpha = \sum_{\{q|\omega_q>0\}} \sum_k \Gamma_{k,k}^\alpha(\omega_q) \left[ \mathcal{D}[\hat{S}_{\alpha,k,q}] + e^{-\beta_\alpha(\omega_q - \mu_\alpha n_{\alpha,k})} \mathcal{D}[\hat{S}_{\alpha,k,q}^\dagger] \right]. \quad (3.11)$$

Hay dos límites importantes a considerar. El primero corresponde al caso en que todas las frecuencias satisfacen  $|\omega_j - \omega_{j'}| \gg 1/\tau_S$ , ya que se cumple que  $\mathcal{D}[\hat{S}_{\alpha,k,q}] = \mathcal{D}[\hat{S}_{\alpha,k,j}]$ , lo que permite realizar la aproximación secular entre todas las frecuencias de Bohr y recuperar la ecuación de Lindblad. En el caso de que se cumpla que  $|\omega_j - \omega_{j'}| \ll 1/\tau_B$ , todas las frecuencias se agrupan en un sólo grupo. Por lo tanto, los operadores del sistema cumplen que  $\hat{S}_{\alpha,k;q} = \hat{S}_{\alpha,k}$ , y la ecuación maestra queda descrita por operadores locales, lo que corresponde a la ecuación maestra local[12].

### 3.6. Consistencia termodinámica

Debido a la resolución finita de energía impuesta por la dinámica markoviana, para asegurar la consistencia termodinámica es necesario redefinir las leyes de la termodinámica. Como primer paso, se introduce el Hamiltoniano termodinámico  $\hat{H}_{TD}$ , el cual satisface la relación de conmutación

$$[\hat{S}_{\alpha,k,j}, \hat{H}_{TD}] = \omega_q \hat{S}_{\alpha,k,j},$$

para todas las frecuencias  $\omega_j \in x_q$ . Este Hamiltoniano puede construirse mediante el Hamiltoniano  $\hat{H}_S$ , modificando sus autovalores de modo que todas las transiciones dentro de un mismo conjunto  $x_q$  compartan una frecuencia  $\omega_q$  para  $\omega_j \in x_q$ .

Para las leyes de la termodinámica, se redefine la energía interna

$$E(t) = \text{Tr}\{\hat{H}_{TD} \hat{\rho}(t)\}.$$

Finalmente, la corriente de calor y el trabajo entregado por el baño  $\alpha$  se redefinen por

$$J_\alpha(t) = \text{Tr}\{(\hat{H}_{TD} - \mu_\alpha \hat{N}_S) \mathcal{L}_\alpha \hat{\rho}_S(t)\} \quad P_\alpha = \mu_\alpha \text{Tr}\{\hat{N}_S \mathcal{L}_\alpha \hat{\rho}_S(t)\}.$$

Esta definición automáticamente cumple con la primera ley de la termodinámica, ya que al derivar la energía interna  $\partial_t E(t) = \text{Tr}\{\hat{H}_{TD} \partial_t \hat{\rho}_S(t)\}$  y utilizar la relación de conmutación  $[\hat{H}_{TD}, \hat{H}_S + \hat{H}_{LS}] = 0$ . Se obtiene la primera ley

$$\partial_t E(t) = \sum_\alpha [J_\alpha + P_\alpha].$$

#### 3.6.1. Ley cero

Usando la ecuación maestra, con los superoperadores 3.11 se cumple que

$$\mathcal{L}_\alpha e^{-\beta_\alpha(\hat{H}_{TD} - \mu_\alpha \hat{N}_S)} = 0, \quad (3.12)$$

además, si los reservorios tienen la misma temperatura inversa  $\beta$  y el mismo potencial químico  $\mu$ , el estado de Gibbs corresponde a

$$\hat{\rho}_G = \frac{e^{-\beta(\hat{H}_{TD} - \mu \hat{N}_S)}}{\text{Tr}\{e^{-\beta(\hat{H}_{TD} - \mu \hat{N}_S)}\}}.$$

### 3.6.2. Segunda ley

La tasa de producción de entropía será

$$\dot{\sigma} = -\frac{d}{dt}\text{Tr}\{\hat{\rho}_S(t) \ln \hat{\rho}_S(t)\} - \sum_{\alpha} \beta_{\alpha} J_{\alpha}(t) = -\sum_{\alpha} \text{Tr}\{(\mathcal{L}_{\alpha} \hat{\rho}_S(t)) [\ln \hat{\rho}_S(t) - \ln \hat{\rho}_G(\beta_{\alpha}, \mu_{\alpha})]\} \geq 0. \quad (3.13)$$

Donde en la última parte se considera el hecho de que  $\rho_G(\beta_{\alpha}, \mu_{\alpha})$  es estado estacionario de  $\mathcal{L}_{\alpha}$ , para utilizar la desigualdad de Spohn[13]. La demostración de 3.12 y de 3.13 se encuentra en el apéndice A.7.

Con esto finalmente se logra definir las leyes de la termodinámica usando la ecuación maestra 3.10.

# Capítulo 4

## Flujos de información

En este capítulo se introduce el concepto de información termodinámica, comenzando en la sección 4.1 con una revisión del paradigma del Demonio de Maxwell. En la sección 4.2 se presenta el Demonio de Maxwell autónomo. Finalmente, en las secciones 4.3 y 4.6 se presenta el concepto de flujos de información, utilizando herramientas como la termodinámica estocástica en contexto clásico y la matriz densidad en contexto cuántico.

### 4.1. Demonio de Maxwell

El demonio de Maxwell es un experimento mental esbozado por James Clerk Maxwell en su obra[14]. Consiste en una caja dividida en dos compartimientos, A y B, cada uno de ellos lleno con un gas ideal a temperatura  $T$  y presión  $P$ , como se muestra en la Figura 4.1. Entre ambos compartimientos existe una compuerta sin masa, que permite el paso de partículas de un lado a otro. Esta puerta es controlada por una entidad denominada "Demonio", la cual tiene la capacidad de abrirla y cerrarla sin costo energético. La característica esencial del Demonio es que conoce la velocidad de cada partícula en ambos compartimientos.

Dado que la temperatura se relaciona con la velocidad promedio de las partículas, el Demonio puede discriminar entre partículas rápidas y lentas. De este modo, permite pasar del compartimiento A al B solo aquellas partículas cuya velocidad es mayor que la velocidad promedio, mientras que deja pasar del compartimiento B al A las partículas más lentas. Si se mantiene constante el número de partículas en cada compartimiento, este proceso da lugar a un aumento de la temperatura en A y una disminución en B, es decir, una diferencia  $\Delta T$  entre ambos lados.

El cambio de entropía del sistema es

$$\begin{aligned}\Delta S &= \Delta S_A + \Delta S_B = C_V \left( \log \frac{T - \Delta T}{T} + \log \frac{T + \Delta T}{T} \right) \\ &= C_V \log \left( 1 - \frac{\Delta T^2}{T^2} \right) < 0,\end{aligned}$$

Donde  $C_V$  representa la capacidad calorífica a volumen constante.

Del cálculo de la entropía total se concluye que, sin realizar trabajo externo, el Demonio logra una disminución de la entropía, lo cual representa una aparente violación de la segunda ley de la termodinámica.

Sin embargo, esta paradoja fue resuelta posteriormente por Rolf Landauer, quien “exorcizó” al Demonio al señalar que, para que este pueda conocer la velocidad de las partículas, debe realizar mediciones. El proceso de medición, y en particular el borrado de la información asociada a dichas mediciones, implica una disipación de energía. Este resultado, conocido como el principio de Landauer, restablece la validez de la segunda ley[15]. En sistemas no autónomos, es decir sistemas manipulados por un agente externo a través del control de cantidades macroscópicas, la paradoja de Maxwell ha sido abordada extensamente. Un ejemplo clásico es el motor de Szilard[16], donde se ha logrado describir y “exorcizar” al Demonio cuantificando tanto la energía requerida para realizar una medición, como el costo energético asociado al borrado de la memoria del Demonio, y el trabajo máximo que puede extraerse mediante retroalimentación (feedback) [17, 18]. No obstante, el caso de sistemas autónomos, en los cuales no existe intervención externa y tanto la dinámica como la retroalimentación son generadas internamente, presenta características fundamentales que merecen un análisis más detallado.

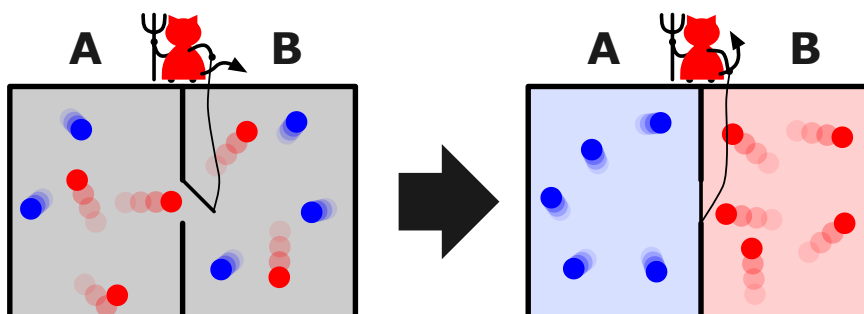


Figura 4.1: Esquema que representa al Demonio de Maxwell. Primero, consiste en los dos compartimentos que poseen el gas ideal distribuido de manera homogénea. Por último, al trasladar las partículas de un lado a otro, queda el compartimento A con partículas frías mientras que el compartimento B con partículas calientes. Esta figura fue tomada de [19] .

## 4.2. Demonio de Maxwell autónomo

Muchos procesos físicos requieren la interacción entre un conjunto de subsistemas que componen un sistema global. Esta interacción entre los subsistemas no sólo incluye un intercambio de energía o partículas, sino que también incluye un intercambio de información a medida que se correlacionan estos subsistemas entre sí de manera autónoma, es decir, sin un factor externo el cuál realice un feedback en él. Entender como son utilizados estos flujos de información para hacer tareas útiles es de gran importancia. Un ejemplo de ello es en sistemas biológicos, los cuáles realizan adaptación sensorial, en donde un organismo continuamente monitorea su ambiente mientras simultáneamente cambia su respuesta a él[20]. Para poder caracterizar esto se partirá considerando un Demonio de Maxwell autónomo como un sistema bipartito en donde una parte consiste en el sistema controlado y la parte restante en el sistema que actúa como detector, el cuál ejerce control mediante una interacción física con el sistema controlado. Este sistema debe ser autónomo, en el sentido de que el Hamiltoniano de todo el sistema es tiempo independiente e intervenciones externas tales como mediciones

y feedback no son considerados.

### 4.3. Descripción clásica

Para poder describir un demonio de Maxwell autónomo, se debe ser capaz de calcular la evolución de un sistema conectado a uno o más reservorios, y por ende sujeto a las leyes de la termodinámica. Para ello, supongamos el caso de 2 sistemas independientes  $X$  e  $Y$ , cada uno de ellos tiene distintos estados discretos representados por  $x$  e  $y$ . Estos sistemas tienen su propia dinámica, la cuál corresponde a saltos aleatorios entre los estados del sistema, que obedecen distintas razones de transición las cuáles serán determinadas por los reservorios a los cuáles esta conectado localmente cada subsistema, que refiere a la condición de balance detallado local[21]. Esta evolución entre estados, se modela como un proceso de Markov[22]. Para poder describir el sistema en conjunto se supondrá primero que el sistema se acopla de manera bipartita, que en este contexto consiste en que si se tiene un estado conjunto de los dos sistemas  $(x, y)$  sólo pueden haber transiciones del tipo  $(x, y) \rightarrow (x, y')$  o  $(x, y) \rightarrow (x', y)$  y no  $(x, y) \rightarrow (x', y')$ . Esto permite que el sistema total  $XY$  siga siendo markoviano, y por ende la probabilidad de estar en el estado  $(x, y)$ , es decir  $p(x, y)$  podrá ser descrita por una ecuación maestra

$$d_t p(x, y) = \sum_{x', y'} [W_{x, x'}^{y, y'} p(x', y') - W_{x', x}^{y', y} p(x, y)],$$

En la cuál  $W_{x, x'}^{y, y'}$  es la razón de transición en la cuál el sistema salta de  $(x', y') \rightarrow (x, y)$ . La cuál obedece la condición de balance detallado local  $\ln(W_{x, x'}^{y, y'} / W_{x', x}^{y', y}) = -(\epsilon_{x, y} - \epsilon_{x', y'}) / T$ , que corresponde al cambio de energía durante un salto, el cuál es suministrado por el reservorio a través del calor. Debido a que el sistema es bipartito, la forma de las razones de transición corresponde a

$$W_{x, x'}^{y, y'} = \begin{cases} w_{x, x'}^y & \text{si } x \neq x'; y = y' \\ w_x^{y, y'} & \text{si } x = x'; y \neq y' \\ 0 & \text{si } x \neq x'; y \neq y' \end{cases}.$$

En función de la corriente de probabilidad  $J_{x, x'}^{y, y'} = W_{x, x'}^{y, y'} p(x', y') - W_{x', x}^{y', y} p(x, y)$ , la ecuación maestra queda como

$$d_t p(x, y) = \sum_{x', y'} J_{x, x'}^{y, y'} = \sum_{x'} J_{x, x'}^y + \sum_{y'} J_x^{y, y'},$$

en donde  $J_x^{y, y'} = w_x^{y, y'} p(x, y') - w_x^{y', y} p(x, y)$  la corriente desde  $y'$  e  $y$  a lo largo de  $x$ . Esto es importante, ya que la estructura bipartita permite separar las corrientes de probabilidad, una parte que va en la dirección  $X$  y otra en la dirección  $Y$ . Este hecho puede ser explotado, ya que cualquier funcional de la corriente, es decir una cantidad  $\mathcal{A}(J) = \sum_{x, x'} J_{x, x'}^{y, y'} A_{x, x'}^{y, y'}$ , se puede dividir en dos contribuciones[23]

$$\mathcal{A}(J) = \sum_{x \geq x'; y \geq y'} J_{x, x'}^y A_{x, x'}^{y, y'} + \sum_{x \geq x'; y \geq y'} J_x^{y, y'} A_{x, x'}^{y, y'}. \quad (4.1)$$

Con esto, se puede separar la variación de  $\mathcal{A}$  uno en la dirección  $X$  y en la dirección  $Y$ .

## 4.4. Segunda Ley de la termodinámica y flujos de información

El sistema conjunto  $XY$  debido a que está en contacto con un baño, es un sistema abierto el cuál satisface la segunda ley de la termodinámica, lo cuál exige que la razón de producción de entropía sea siempre positiva

$$\dot{\sigma} = \partial_t S^{XY} + \dot{S}_r \geq 0.$$

El cambio de entropía del sistema corresponde a

$$\partial_t S^{XY} = \sum_{x \geq x'; y \geq y'} J_{x,x'}^{y,y'} \ln \frac{p(x', y')}{p(x, y)},$$

y el cambio de entropía debido al ambiente es

$$\dot{S}_r = \sum_{x \geq x'; y \geq y'} J_{x,x'}^{y,y'} \ln \frac{W_{x,x'}^{y,y'}}{W_{x',x}^{y',y}},$$

por ende

$$\dot{\sigma} = \sum_{x \geq x'; y \geq y'} J_{x,x'}^{y,y'} \ln \frac{W_{x,x'}^{y,y'} p(x', y')}{W_{x',x}^{y',y} p(x, y)} \geq 0.$$

Estos resultados se demuestran en el apéndice B.1.

Ya definida la razón de producción de entropía, se necesita cuantificar la información entre los dos sistemas. La cantidad que permite medir las correlaciones entre los dos sistemas es la información mutua

$$I_{xy} = \sum_{x,y} p(x, y) \ln \frac{p(x, y)}{p(x)p(y)} \geq 0,$$

tal que, cuando  $I_{xy}$  es grande los dos sistemas son altamente correlacionados, mientras que  $I_{xy} = 0$  significa que los sistemas son estadísticamente independientes. Para definir los flujos de información, se necesita calcular la variación temporal de la información mutua y separarla en dos contribuciones  $\partial_t I_{xy} = \dot{I}^X + \dot{I}^Y$  con

$$\begin{aligned} \dot{I}^X &= \sum_{x \geq x'; y} J_{x,x'}^y \ln \frac{p(y|x)}{p(y|x')} \\ \dot{I}^Y &= \sum_{x; y \geq y'} J_x^{y,y'} \ln \frac{p(x|y)}{p(x|y')}. \end{aligned}$$

La demostración de este resultado también está en el apéndice B.1.  $\dot{I}^X$  e  $\dot{I}^Y$  cuantifican como la información fluye entre los dos subsistemas, si  $\dot{I}^X > 0$  un salto en la dirección  $X$  en promedio, aumenta la información  $I_{xy}$ , es decir  $X$  esta aprendiendo o midiendo  $Y$ . De manera

contraria,  $\dot{I}^X < 0$  significa que los saltos en la dirección  $X$  decrecen las correlaciones, lo que puede ser interpretado como consumo de información con el objetivo de extraer energía. Debido a que la razón de producción de entropía es un funcional de la corriente, podemos usar la ecuación 4.1 y escribir

$$\dot{\sigma} = \dot{\sigma}^X + \dot{\sigma}^Y,$$

así

$$\begin{aligned}\dot{\sigma}^X &= \sum_{x \geq x'; y} J_{x, x'}^y \ln \frac{w_{x, x'}^y p(x', y)}{w_{x', x}^y p(x, y)} \geq 0 \\ \dot{\sigma}^Y &= \sum_{x; y \geq y'} J_x^{y, y'} \ln \frac{w_x^{y, y'} p(x, y')}{w_x^{y', y} p(x, y)} \geq 0,\end{aligned}$$

en donde podemos identificar

$$\begin{aligned}\dot{\sigma}^X &= \sum_{x \geq x'; y} J_{x, x'}^y \left[ \ln \frac{p(x')}{p(x)} + \ln \frac{w_{x, x'}^y}{w_{x', x}^y} + \ln \frac{p(y|x')}{p(y|x)} \right] \\ \dot{\sigma}^Y &= \sum_{x; y \geq y'} J_x^{y, y'} \left[ \ln \frac{p(y')}{p(y)} + \ln \frac{w_x^{y, y'}}{w_x^{y', y}} + \ln \frac{p(x|y')}{p(x|y)} \right].\end{aligned}$$

Con lo que finalmente para las razones de producción locales

$$\begin{aligned}\dot{\sigma}^X &= \partial_t S^X + \dot{S}_r^X - \dot{I}^X \geq 0 \\ \dot{\sigma}^Y &= \partial_t S^Y + \dot{S}_r^Y - \dot{I}^Y \geq 0.\end{aligned}$$

Estas dos ecuaciones permiten visualizar como la contribución de la información actual en la producción de entropía local de cada subsistema. Supongamos que no se sabe que el subsistema  $Y$  esta interactuando con  $X$ , y que sólo somos capaces de monitorear  $X$ , en ese caso asignaremos a este sistema la razón de producción de entropía  $\dot{\sigma}_0^X = \partial_t S^X + \dot{S}_r^X$ . Si el subsistema  $X$  estuviera aislado, efectivamente se tendría  $\dot{\sigma}_0^X \geq 0$ , sin embargo por la interacción con el subsistema  $Y$  pueden suceder casos en que  $\dot{\sigma}_0^X < 0$ . Esta violación aparente de la Segunda Ley se puede interpretar como el efecto de un Demonio de Maxwell. En la evolución de sistemas autónomos los cuáles relajan a un estado estacionario fuera del equilibrio, se cumple que al llegar al estado estacionario  $d_t I_{xy} = 0$ . Por lo tanto, el flujo de información queda  $\dot{\mathcal{I}} = \dot{I}^X = -\dot{I}^Y$  y la razón de producción de entropía local de cada subsistema se vuelve

$$\begin{aligned}\dot{\sigma}^X &= \dot{S}_r^X - \dot{\mathcal{I}} \geq 0 \\ \dot{\sigma}^Y &= \dot{S}_r^Y + \dot{\mathcal{I}} \geq 0.\end{aligned}$$

Supongamos el caso en que  $\dot{\mathcal{I}} > 0$ , en este caso se puede interpretar que  $X$  está actuando como sensor a medida que monitorea el subsistema  $Y$ . Para poder realizar esta actividad, el



subsistema  $X$  necesita entregar una energía mínima  $\dot{S}_r^X \geq \dot{\mathcal{I}}$ . Por el otro lado el subsistema  $Y$  está entregando información, la cuál puede ser utilizada para extraer energía  $-\dot{S}_r^Y \leq \dot{\mathcal{I}}$ , esto es importante, ya que se puede utilizar para realizar trabajo en sistemas fuera del equilibrio, o enfriar un reservorio caliente. Un ejemplo típico de ello, es en sistemas fuera del equilibrio sujetos a un gradiente de potencial, en este caso el Demonio de Maxwell se puede visualizar mediante la aparición de una corriente de partículas en contra del gradiente de potencial. Efecto que se analizará en detalle en secciones posteriores.

## 4.5. Descripción cuántica

Para poder describir los flujos de información en un contexto cuántico, se necesita conocer la dinámica de un sistema cuántico abierto acoplado a uno o varios reservorios, para ello se utilizará la matriz densidad. La cuál describirá la evolución del sistema reducido. El sistema total estará descrito por el Hamiltoniano  $\hat{H} = \hat{H}_S + \hat{H}_B + \hat{H}_I$ , como se vio en la sección 2.2.2, la evolución markoviana de este sistema resulta en la ecuación maestra

$$\partial_t \hat{\rho}_S(t) = -i[\hat{H}_S + \hat{H}_{LS}, \hat{\rho}_S] + \mathcal{L}(\hat{\rho}_S),$$

y el acoplamiento con distintos reservorios  $\alpha$  consiste en  $\mathcal{L} = \sum_\alpha \mathcal{L}_\alpha$ . Si el estado de equilibrio local consiste en un estado de Gibbs  $\hat{\rho}_{eq}^\alpha = Z_{\beta_\alpha, \mu_\alpha}^{-1} e^{-\beta_\alpha(\hat{H}_S - \mu_\alpha \hat{N})}$ , se puede usar la desigualdad de Spohn [24] para obtener una inecuación de Clausius para la razón de producción de entropía local correspondiente al baño  $\alpha$ . Se partirá primero de (Los resultados son equivalentes si en el estado estacionario está el Hamiltoniano termodinámico  $\hat{H}_{TD}$ )

$$-\text{Tr}[(\mathcal{L}_\alpha \hat{\rho}_S)(\ln \hat{\rho}_S - \ln \hat{\rho}_{eq}^\alpha)] \geq 0, \quad (4.2)$$

definiendo primero, la cantidad  $\dot{S}^\alpha = -\text{Tr}[(\mathcal{L}_\alpha \hat{\rho}_S) \ln \hat{\rho}_S]$  como la razón de cambio de la entropía de Von Neumann  $S = -\text{Tr}[\hat{\rho}_S \ln \hat{\rho}_S]$  debido a la acción del disipador  $\mathcal{L}_\alpha$ , y identificando el flujo de calor en el segundo término de 4.2, se obtiene la razón de producción de entropía local

$$\dot{\sigma}^\alpha = \dot{S}^\alpha - \beta_\alpha J_\alpha \geq 0, \quad (4.3)$$

que actúa como una inecuación de Clausius parcial. Esto es importante, ya que localmente se puede separar la producción de entropía en cantidades mayor a cero, similar a como se hizo en la descripción clásica. De hecho si se suman todas las razones de cambio de entropía, se obtiene la derivada total  $\partial_t S = \sum_\alpha \dot{S}^\alpha$ , por lo tanto al sumar todas las producciones de entropía locales

$$\sum_\alpha \dot{\sigma}^\alpha = \partial_t S - \sum_\alpha \beta_\alpha J_\alpha = \dot{\sigma} \geq 0,$$

que corresponde a la inecuación de Clausius estándar.

Se puede notar que para el caso estacionario  $\partial_t S = 0$ , no necesariamente  $\dot{S}^\alpha$  es cero. Sino que depende del flujo de calor que entra localmente por el disipador  $\alpha$ . También se puede tratar la inecuación para la energía libre, primero definiendo la corriente de energía y calor correspondientes al baño  $\alpha$

$$\begin{aligned}\dot{E}_\alpha &= \text{Tr}[(\mathcal{L}_\alpha \hat{\rho}_S) \hat{H}_S] \\ \dot{W}_\alpha &= \mu_\alpha \text{Tr}[(\mathcal{L}_\alpha \hat{\rho}_S) \hat{N}].\end{aligned}$$

En este caso usamos el Hamiltoniano  $\hat{H}_S$ , sin embargo si el estado estacionario contiene  $\hat{H}_{TD}$ , entonces para definir el flujo de energía se usa  $\hat{H}_{TD}$  de manera consistente. Se cumplirá que la suma de las corrientes de energía es la derivada total de la energía interna  $\sum_\alpha \dot{E}_\alpha = \partial_t E$ . Para un Hamiltoniano tiempo independiente sólo se considera trabajo químico, por ende  $\dot{E}_\alpha = \dot{Q}_\alpha + \dot{W}_\alpha$ , si multiplicamos la ecuación 4.3 por  $T_\alpha$  y reemplazamos  $\dot{Q}_\alpha$ , se obtendrá

$$T_\alpha \dot{\sigma}^\alpha = \dot{W}_\alpha - \dot{\mathcal{F}}_\alpha \geq 0, \quad (4.4)$$

en donde la razón de cambio de energía libre debido al reservorio  $\alpha$  consiste en  $\dot{\mathcal{F}}_\alpha = \dot{E}_\alpha - T_\alpha \dot{S}^\alpha$ . Por otro lado, la inecuación 4.4 consiste en una inecuación local de energía libre. Si sumamos todas estas inecuaciones se tendrá que

$$\sum_\alpha T_\alpha \dot{\sigma}^\alpha = \dot{W} - \dot{\mathcal{F}} \geq 0, \quad (4.5)$$

en la cuál  $\dot{W} = \sum_\alpha \dot{W}_\alpha$  y la razón de cambio de energía libre total es

$$\dot{\mathcal{F}} = \partial_t E - \sum_\alpha T_\alpha \dot{S}^\alpha.$$

Para el caso particular en qué todas las temperaturas son iguales  $T_\alpha = T$ , la razón  $\dot{\mathcal{F}}$  se vuelve equivalente a la derivada temporal de la energía libre  $\partial_t F = \partial_t (E - TS)$ . Sólo en este caso 4.3 y 4.5 son equivalentes. En el caso  $T_\alpha = T$  si se analiza 4.5 al considerar el estado estacionario, se tendrá  $\dot{\mathcal{F}} = \partial_t F = 0$ , lo que implica que  $\dot{W} > 0$ . Por ende el sistema es incapaz de hacer un trabajo, si sólo se va a absorber calor de reservorios isotérmicos. La única forma de realizar trabajo en el estado estacionario, o sea  $\dot{W} < 0$  es que hayan reservorios con distinta temperatura, ya que para ese caso  $\dot{\mathcal{F}} = -\sum_\alpha T_\alpha \dot{S}^\alpha \neq 0$ .

## 4.6. Flujos de información en contexto cuántico

Supongamos la existencia de un sistema hecho por dos subsistemas acoplados

$$\hat{H}_S = \hat{H}_X + \hat{H}_Y + \hat{H}_{XY},$$

donde  $\hat{H}_i$  corresponde al Hamiltoniano del subsistema  $i = X, Y$ , mientras que  $\hat{H}_{XY}$  corresponde al Hamiltoniano de interacción entre los dos subsistemas. Además, se asumirá que cada subsistema se encuentra acoplado a reservorios separados, de tal manera que los reservorios conectados al subsistema  $i$  serán denotados por  $\alpha_i$ . Esto permite describir la razón de producción de entropía local de cada subsistema como

$$\dot{\sigma}^i \equiv \sum_{\alpha_i} \dot{\sigma}^{\alpha_i} = \sum_{\alpha_i} \dot{S}^{\alpha_i} - \sum_{\alpha_i} \beta_{\alpha_i} J_{\alpha_i} \geq 0,$$

por lo tanto la razón de producción de entropía del sistema corresponde a  $\dot{\sigma} = \dot{\sigma}^X + \dot{\sigma}^Y$ . Similar a como se hizo en la descripción clásica, se buscará relacionar las producciones locales de entropía con la información, para ello se usará la información mutua entre los dos subsistemas  $I_{xy} = S_X + S_Y - S_{XY}$ . En donde  $S_i = -\text{Tr}[\hat{\rho}_i \ln \hat{\rho}_i]$  es la entropía de Von Neumann del subsistema  $i$  ( $\hat{\rho}_i$  consiste en la matriz densidad del subsistema  $i$ ). Se puede separar la derivada temporal del flujo de información

$$\begin{aligned}\partial_t I_{xy} &= \partial_t S_X + \partial_t S_Y - \partial_t S_{XY} \\ &= \partial_t S_X + \partial_t S_Y - \sum_{i=X,Y;\alpha_i} \dot{S}^{\alpha_i} \\ &= \partial_t S_X - \sum_{\alpha_X} \dot{S}^{\alpha_X} + \partial_t S_Y - \sum_{\alpha_Y} \dot{S}^{\alpha_Y} \\ &= \dot{I}^X + \dot{I}^Y.\end{aligned}$$

Definiendo la cantidad  $\dot{I}^i = \partial_t S^i - \sum_{\alpha_i} \dot{S}^{\alpha_i}$ , se puede separar la derivada total de la información mutua en dos contribuciones. Luego, en las razones de producción locales si se reemplaza  $\sum_{\alpha_i} \dot{S}^{\alpha_i} \rightarrow \partial_t S_i - \dot{I}^i$  nos queda

$$\begin{aligned}\dot{\sigma}^X &= \partial_t S^X - \sum_{\alpha_X} \beta_{\alpha_X} J_{\alpha_X} - \dot{I}^X \geq 0 \\ \dot{\sigma}^Y &= \partial_t S^Y - \sum_{\alpha_Y} \beta_{\alpha_Y} J_{\alpha_Y} - \dot{I}^Y \geq 0,\end{aligned}$$

que coincide con el resultado en la descripción clásica. Aun así, este resultado permite incluir efectos cuánticos del sistema en el flujo de la información.

Para la razón de cambio de la energía libre, si consideramos que el subsistema  $i$  está conectado a un reservorio isotérmico de temperatura  $T_i$  podremos considerar

$$\dot{\mathcal{F}}_i = \dot{E}_i - T_i \sum_{\alpha_i} \dot{S}^{\alpha_i},$$

en el estado estacionario se puede reemplazar  $\dot{I}^i = -\sum_{\alpha_i} \dot{S}^{\alpha_i}$  y así la razón de cambio de la energía libre

$$\dot{\mathcal{F}}_i = \dot{E}_i + T_i \dot{I}^i.$$

En este caso la razón de cambio de energía libre tiene una contribución correspondiente a la energía y una nueva contribución correspondiente a la información. Si consideramos el caso del estado estacionario  $\partial_t E = \dot{E}^X + \dot{E}^Y = 0$ , se pueden considerar  $\dot{E}^i$  como el flujo de energía entre los dos subsistemas, por ende en el estado estacionario la razón de energía libre se divide en un flujo de energía entre los subsistemas y otro correspondiente al flujo de información entre estos mismos. Esto permite que el sistema sea capaz de realizar trabajo por una contribución predominate de la información, lo que consiste en una máquina de la información. La equivalencia de este formalismo con el descrito en la sección anterior se encuentra en el apéndice B.1.

# Capítulo 5

## Dinámica de un sistema de 3 puntos cuánticos conectado al ambiente

En este capítulo se realiza una descripción del sistema a estudiar junto con la dinámica disipativa del sistema a través de la ecuación de Lindblad desarrollada en la sección 3.11. En la sección 5.1 se describe el Hamiltoniano del sistema reducido. En la sección 5.2 se describe como actúa este sistema en un caso típico de transporte y finalmente en la sección 5.4 se describe el comportamiento tipo Demonio de Maxwell del sistema.

### 5.1. Modelo teórico

El sistema reducido consiste en 3 puntos cuánticos, uno de ellos constituye el nivel de energía  $\epsilon_d$ , mientras que los otros dos restantes poseen una energía  $\epsilon$  los cuales están acoplados por la cantidad  $g$ . Entre estos dos puntos cuánticos se genera una interacción Coulombiana respectiva de  $U_f$ , mientras que el punto cuántico  $\epsilon_d$  interactúa con los dos restantes, a través de interacción coulombiana  $U$ , como se indica en la Figura 5.1.

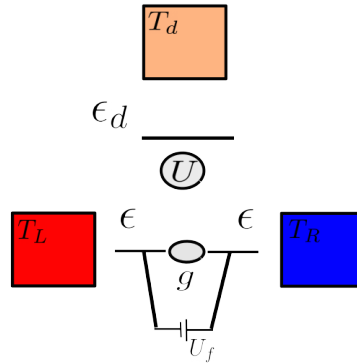


Figura 5.1: Esquema que representa los 3 puntos cuánticos como 3 niveles de energía, los cuáles sienten interacción repulsiva entre ellos, cada uno de estos puntos cuánticos está acoplado a un baño distinto.

El Hamiltoniano del sistema corresponde a

$$\begin{aligned}\hat{H}_S = & \epsilon_d \hat{d}_D^\dagger \hat{d}_D + \epsilon \hat{d}_L^\dagger \hat{d}_L + \epsilon \hat{d}_R^\dagger \hat{d}_R + g(\hat{d}_L^\dagger \hat{d}_R + \hat{d}_R^\dagger \hat{d}_L) \\ & + U(\hat{n}_D \hat{n}_L + \hat{n}_D \hat{n}_R) + U_f \hat{n}_R \hat{n}_L,\end{aligned}$$

en donde  $\hat{n}_i = \hat{d}_i^\dagger \hat{d}_i$  y los operadores  $\hat{d}_i$  cumplen con las relaciones de anticonmutación

$$\{\hat{d}_\alpha, \hat{d}_\beta\} = 0 \quad \{\hat{d}_\alpha^\dagger, \hat{d}_\beta\} = \delta_{\alpha\beta}.$$

Usando la base de Fock  $|n_L, n_R, n_D\rangle = (\hat{d}_L^\dagger)^{n_L} (\hat{d}_R^\dagger)^{n_R} (\hat{d}_D^\dagger)^{n_D} |0, 0, 0\rangle$  y escribiendo el Hamiltoniano en el orden  $\{|0, 0, 0\rangle, |1, 0, 0\rangle, |0, 1, 0\rangle, |0, 0, 1\rangle, |1, 1, 0\rangle, |1, 0, 1\rangle, |0, 1, 1\rangle, |1, 1, 1\rangle\}$

$$\hat{H}_S = \begin{bmatrix} 0 & 0 & 0 & 0 & 0 & 0 & 0 & 0 \\ 0 & \epsilon_L & g & 0 & 0 & 0 & 0 & 0 \\ 0 & g & \epsilon_R & 0 & 0 & 0 & 0 & 0 \\ 0 & 0 & 0 & \epsilon_d & 0 & 0 & 0 & 0 \\ 0 & 0 & 0 & 0 & \epsilon_L + \epsilon_R + U_f & 0 & 0 & 0 \\ 0 & 0 & 0 & 0 & 0 & \epsilon_L + \epsilon_d + U & g & 0 \\ 0 & 0 & 0 & 0 & 0 & g & \epsilon_R + \epsilon_d + U & 0 \\ 0 & 0 & 0 & 0 & 0 & 0 & 0 & \epsilon_L + \epsilon_R + \epsilon_d + 2U + U_f \end{bmatrix}.$$

Por otro lado, el Hamiltoniano del baño  $\hat{H}_B = \hat{H}_L + \hat{H}_R + \hat{H}_D$  e interacción  $\hat{V} = \hat{V}_L + \hat{V}_R + \hat{V}_D$  consisten en

$$\hat{H}_\alpha = \sum_l \epsilon_{\alpha l} \hat{c}_{\alpha l}^\dagger \hat{c}_{\alpha l} \quad \hat{V}_\alpha = \sum_l t_{\alpha l} (\hat{d}_\alpha^\dagger \hat{c}_{\alpha l} + \hat{c}_{\alpha l}^\dagger \hat{d}_\alpha),$$

teniendo esto en consideración, para poder describir la dinámica disipativa del sistema se debe ser capaces de obtener los operadores de salto, para ello estarán los operadores que describen la interacción

$$\hat{S}_{\alpha,1} = \hat{d}_\alpha^\dagger \quad \hat{S}_{\alpha,-1} = \hat{d}_\alpha$$

$$\hat{B}_{\alpha,1} = \sum_l t_{\alpha l} \hat{c}_{\alpha l} \quad \hat{B}_{\alpha,-1} = \sum_l t_{\alpha l} \hat{c}_{\alpha l}^\dagger.$$

La evolución disipativa del sistema de 3 puntos cuánticos estará descrita por el Lindbladiano

$$\mathcal{L} = \mathcal{L}_R + \mathcal{L}_L + \mathcal{L}_D, \quad (5.1)$$

en la cuál explícitamente cada operador de Lindblad consiste en

$$\begin{aligned}
\mathcal{L}_R = & \gamma_R(\epsilon)(f_R(\epsilon)\mathcal{D}_0[\hat{d}_R^\dagger(\mathbf{1} - \hat{n}_D)(\mathbf{1} - \hat{n}_L)] + [1 - f_R(\epsilon)]\mathcal{D}_0[\hat{d}_R(\mathbf{1} - \hat{n}_D)(\mathbf{1} - \hat{n}_L)]) \\
& + \gamma_R(\epsilon + U)(f_R(\epsilon + U)\mathcal{D}_0[\hat{d}_R^\dagger\hat{n}_D(\mathbf{1} - \hat{n}_L)] + [1 - f_R(\epsilon + U)]\mathcal{D}_0[\hat{d}_R\hat{n}_D(\mathbf{1} - \hat{n}_L)]) \\
& + \gamma_R(\epsilon + U_f)(f_R(\epsilon + U_f)\mathcal{D}_0[\hat{d}_R^\dagger(\mathbf{1} - \hat{n}_D)\hat{n}_L] + [1 - f_R(\epsilon + U_f)]\mathcal{D}_0[\hat{d}_R(\mathbf{1} - \hat{n}_D)\hat{n}_L]) \\
& + \gamma_R(\epsilon + U + U_f)(f_R(\epsilon + U + U_f)\mathcal{D}_0[\hat{d}_R^\dagger\hat{n}_D\hat{n}_L] + [1 - f_R(\epsilon + U + U_f)]\mathcal{D}_0[\hat{d}_R\hat{n}_D\hat{n}_L])
\end{aligned}$$

$$\begin{aligned}
\mathcal{L}_L = & \gamma_L(\epsilon)(f_L(\epsilon)\mathcal{D}_0[\hat{d}_L^\dagger(\mathbf{1} - \hat{n}_D)(\mathbf{1} - \hat{n}_R)] + [1 - f_L(\epsilon)]\mathcal{D}_0[\hat{d}_L(\mathbf{1} - \hat{n}_D)(\mathbf{1} - \hat{n}_R)]) \\
& + \gamma_L(\epsilon + U)(f_L(\epsilon + U)\mathcal{D}_0[\hat{d}_L^\dagger\hat{n}_D(\mathbf{1} - \hat{n}_R)] + [1 - f_L(\epsilon + U)]\mathcal{D}_0[\hat{d}_L\hat{n}_D(\mathbf{1} - \hat{n}_R)]) \\
& + \gamma_L(\epsilon + U_f)(f_L(\epsilon + U_f)\mathcal{D}_0[\hat{d}_L^\dagger(\mathbf{1} - \hat{n}_D)\hat{n}_R] + [1 - f_L(\epsilon + U_f)]\mathcal{D}_0[\hat{d}_L(\mathbf{1} - \hat{n}_D)\hat{n}_R]) \\
& + \gamma_L(\epsilon + U + U_f)(f_L(\epsilon + U + U_f)\mathcal{D}_0[\hat{d}_L^\dagger\hat{n}_D\hat{n}_R] + [1 - f_L(\epsilon + U + U_f)]\mathcal{D}_0[\hat{d}_L\hat{n}_D\hat{n}_R])
\end{aligned}$$

$$\begin{aligned}
\mathcal{L}_D = & \gamma_D(\epsilon_d)(f_D(\epsilon_d)\mathcal{D}_0[\hat{d}_D^\dagger(\mathbf{1} - \hat{n}_R)(\mathbf{1} - \hat{n}_L)] + [1 - f_D(\epsilon_d)]\mathcal{D}_0[\hat{d}_D(\mathbf{1} - \hat{n}_R)(\mathbf{1} - \hat{n}_L)]) \\
& + \gamma_D(\epsilon_d + U)f_D(\epsilon_d + U)\mathcal{D}_0[\hat{d}_D^\dagger(\hat{n}_R(\mathbf{1} - \hat{n}_L) + \hat{n}_L(\mathbf{1} - \hat{n}_R))] \\
& + \gamma_D(\epsilon_d + U)[1 - f_D(\epsilon_d + U)]\mathcal{D}_0[\hat{d}_D(\hat{n}_R(\mathbf{1} - \hat{n}_L) + \hat{n}_L(\mathbf{1} - \hat{n}_R))] \\
& + \gamma_D(\epsilon_d + 2U)(f_D(\epsilon_d + 2U)\mathcal{D}_0[\hat{d}_D^\dagger\hat{n}_R\hat{n}_L] + [1 - f_D(\epsilon_d + 2U)]\mathcal{D}_0[\hat{d}_D\hat{n}_R\hat{n}_L]),
\end{aligned}$$

aquí el superoperador consiste en

$$\mathcal{D}_0[\hat{A}]\hat{\rho} = \hat{A}\hat{\rho}\hat{A}^\dagger - \frac{1}{2}\{\hat{A}^\dagger\hat{A}, \hat{\rho}\}.$$

La demostración de la ecuación 5.1 se encuentra en el apéndice C.2 y C.3.

Despreciando el  $\hat{H}_{LS}$  [25] la evolución de los 3 puntos cuánticos es

$$\frac{d}{dt}\hat{\rho}_S(t) = -i[\hat{H}_S, \hat{\rho}_S(t)] + \mathcal{L}(\hat{\rho}_S(t)),$$

usando esta ecuación se podrá calcular la evolución del sistema numéricamente y calcular las cantidades termodinámicas.

## 5.2. Estudio del transporte

Inicialmente consideramos el caso en que las razones de tuneo no dependen de la frecuencia, es decir  $\gamma_i(\omega) = \gamma_i$ . Se estudiará el flujo de corriente ante una diferencia de potencial  $\mu_L - \mu_R = eV$ , considerando las razones de transición  $\gamma_L = \gamma_R = 1/100$ ,  $\gamma_d = 1/50$ . Se obtiene la Figura 5.2

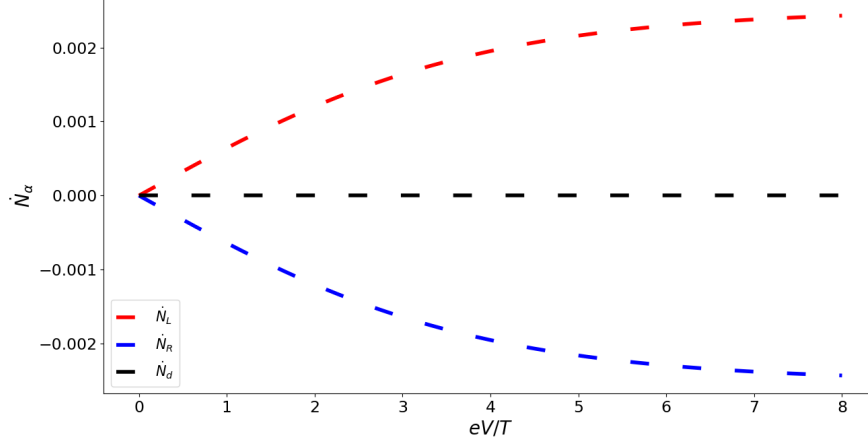


Figura 5.2: Gráfico que representa la corriente de partículas en función de  $eV/T$ . Las temperaturas del sistema son  $T_L = T_R = 100$ ,  $T_d = 2$ , el parámetro de acoplamiento es  $g = 5/1000$ , las energías de sitio son  $\epsilon = 4$ ,  $\epsilon_d = \mu_d - U/2$ , y energías de Coulomb  $U_F = 500$ ,  $U = 40$ .

Esta figura permite determinar que a medida que aumenta  $eV$  la corriente de partículas  $\dot{N}_L = -\dot{N}_R$  que va del baño  $L$  al baño  $R$  crece. Lo que es esperable, ya que la diferencia de potencial induce el transporte de partículas de un mayor potencial hacia un menor potencial. También se puede graficar la potencia que es entregada a este sistema

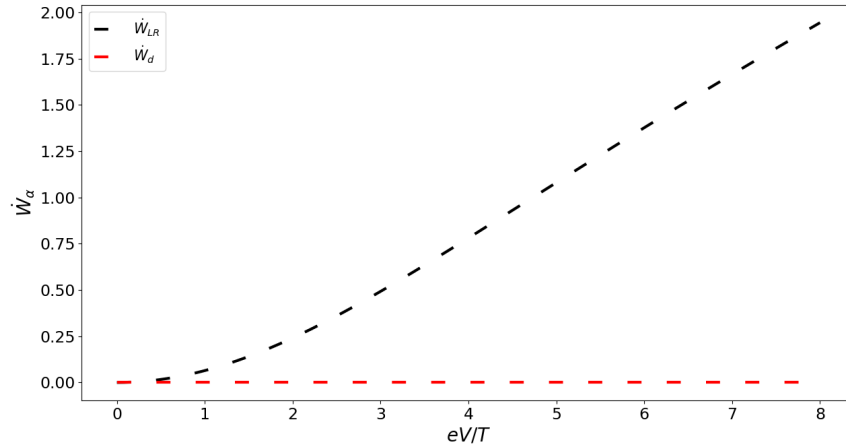


Figura 5.3: Gráfico de la potencia que entregan los reservorios en función de  $eV/T$ .

La Figura 5.3 nos dice que el reservorio  $LR$  entrega trabajo al sistema para poder realizar la corriente, lo que también es esperable, dado que al pasar de un potencial mayor a uno menor, esa energía que tenía el electrón pasa a el sistema  $LR$ . Por otro lado debido a que el reservorio  $D$  no intercambia partículas en promedio, la potencia que entrega el reservorio  $D$  es cero.

También se pueden revisar los flujos de energía del sistema  $LR$  y el reservorio  $D$

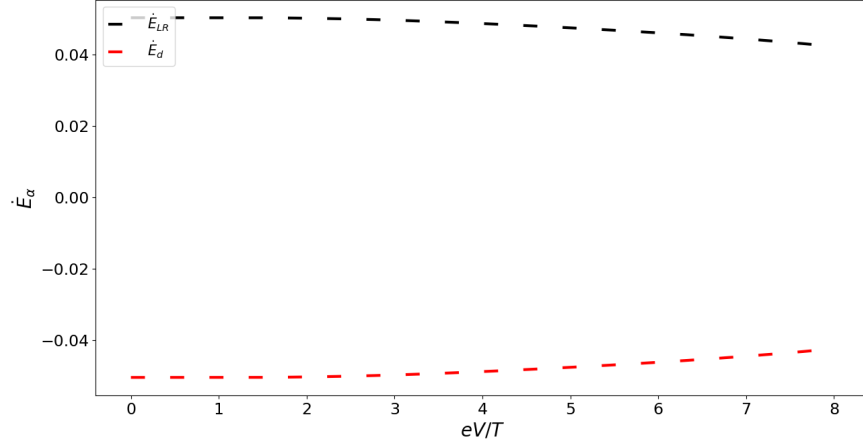


Figura 5.4: Gráfico de el flujo de energía entre los sistemas  $LR$  y  $D$ .

De la Figura 5.4 se puede notar que  $\dot{E}_{LR} = -\dot{E}_d$  lo que es consistente, ya que en estado estacionario  $d_t E = \dot{E}_{LR} + \dot{E}_d = 0$ . Además esto permite notar que el sistema  $D$  libera energía, la cuál es entregada al reservorio con temperatura  $T_d$  como se ve en la línea roja de la Figura 5.5 en donde  $J_d < 0$

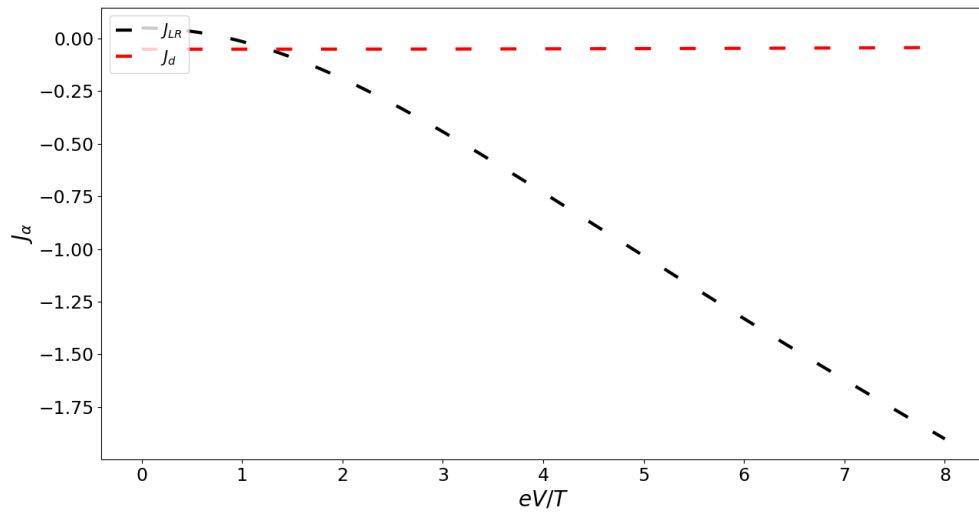


Figura 5.5: Gráfico del flujo de calor que entregan los reservorios en función de  $eV/T$ .



En el sistema  $LR$  se puede notar que para cantidades  $eV/T$  pequeñas, el sistema recibe calor del reservorio, mientras que a medida que se aumenta  $eV/T$  el reservorio recibe calor. En el sistema  $LR$  el flujo de energía positivo consiste en que se debe entregar energía al sistema para poblar los sitios, aun así a medida que se aumenta  $eV/T$  esa contribución de energía termina siendo derrotada por el flujo de electrones, y por eso el flujo de calor se vuelve negativo.

También resulta importante calcular si existen efectos cuánticos en este estado estacionario del sistema, para ello se calcularan dos cantidades. Uno de ellos es la norma- $l_1$   $\mathcal{C}_{l_1}$  que permite calcular las coherencias en el sistema  $LR$  y consiste en

$$\mathcal{C}_{l_1} = \sum_{i>j} |\hat{\rho}_{s;i,j}|,$$

otro efecto cuántico que es interesante medir es el entrelazamiento entre los modos  $|1, 0, 0\rangle, |0, 1, 0\rangle$  y además entre  $|1, 0, 1\rangle, |0, 1, 1\rangle$ . La cantidad que permite medir esto es la concurrencia  $\mathcal{C}_{on}$  [26, 27] que consiste en

$$\mathcal{C}_{on} = \max\{2|\alpha + \beta| - 2\sqrt{p_0 p_D}, 0\},$$

en donde  $p_0$  y  $p_D$  consisten en la probabilidad de que el sistema  $LR$  este vacío o doblemente ocupado respectivamente. Mientras que  $\alpha$  consiste en la coherencia entre los estados  $\{|1, 0, 0\rangle, |0, 1, 0\rangle\}$  y  $\beta$  la coherencia entre los estados  $\{|1, 0, 1\rangle, |0, 1, 1\rangle\}$ . Esta fórmula esta deducida en el apéndice C.7.

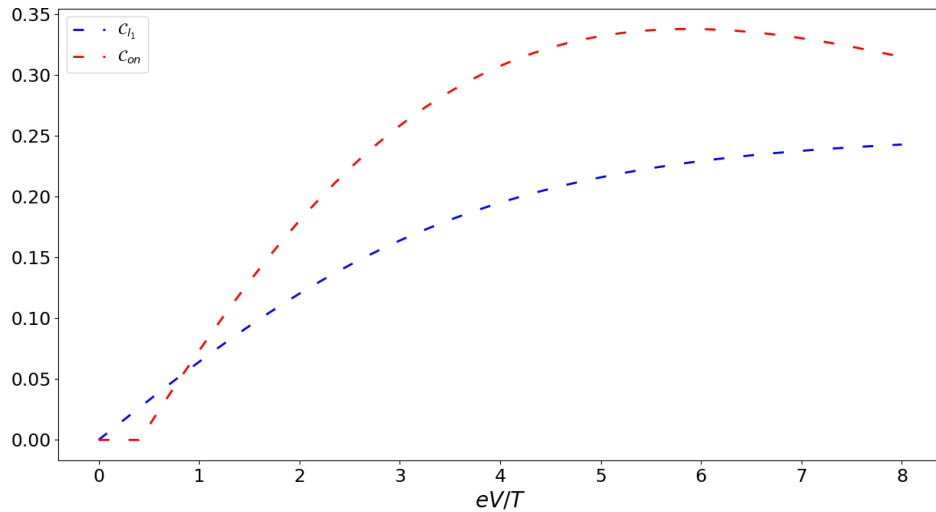


Figura 5.6: La línea azul corresponde a la coherencia mientras que la línea roja la concurrencia, todo esto en función de  $eV/T$ .

Para este caso la coherencia parte en cero y a medida que aumenta la diferencia de potencial está aumentando. El entrelazamiento por otro lado parte en cero, que coincide con el cero de la coherencia, se mantiene nulo hasta llegar a un punto en el que al aumentar el  $eV/T$  la concurrencia crece, y por ende se hace presente entrelazamiento en el sistema  $LR$ , esto es importante ya que permite intuir que debe existir una corriente fluyendo en el sistema para

que exista coherencia y entrelazamiento.

### 5.3. Demonio de Maxwell en 3 puntos cuánticos

Para que el sistema de 3 puntos cuánticos se comporte como un Demonio de Maxwell autónomo, será importante separar el sistema total en un subsistema  $LR$  de 2 niveles de energía  $\epsilon$  y un nivel de energía  $\epsilon_D$  el cuál cumplirá la función de Demonio  $D$ . Para poder realizar esto, el sistema que actúa como Demonio tiene que ser capaz de detectar los cambios realizados en el subsistema  $LR$  ejecutando así una acción similar a medir. El uso de la energía de Coulomb le permitirá al Demonio determinar si el subsistema está desocupado, ocupado, o doblemente ocupado. Mientras que por otro lado el subsistema  $LR$  va a modificar su respuesta dependiendo de si el Demonio está desocupado o ocupado. Matemáticamente esta condición se impone modificando las razones de tuneo  $\gamma_i(\epsilon + U) \neq \gamma_i(\epsilon)$  con  $i = L, R$ . Por otro lado, para que el Demonio sea capaz de detectar correctamente, primero necesita una buena resolución al medir los niveles de energía en el subsistema  $LR$ , esto requiere que el subsistema  $D$  sea capaz de diferenciar la energía Coulombiana ejercida por el subsistema  $LR$  en relación a las fluctuaciones térmicas debido al baño, es decir  $\beta_D U \gg 1$ . Segundo, se requiere que su dinámica disipativa sea más rápida que la dinámica del sistema  $LR$ , esto implica que  $\gamma_D > \max\{\gamma_i, \gamma_i^U\}$  con  $i = L, R$ . Falta describir la dinámica con la que va a actuar este demonio, para ello se hará uso de la Figura 5.7

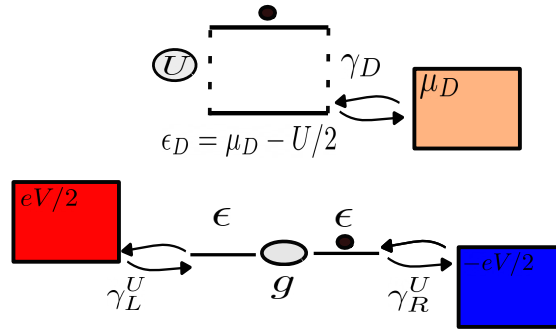


Figura 5.7: Esquema que representa el primer paso en la dinámica.

El hecho de elegir que  $\epsilon_D = \mu_D - U/2$ , permite que se llene el nivel de energía del Demonio. Con el objetivo de que se induzca una corriente en la dirección contraria al gradiente de potencial, es conveniente elegir  $\gamma_R^U > \gamma_L^U$ , esto permite que las razones de tuneo sean mayor para el baño  $R$  y así aumente la probabilidad de poblarse su nivel. Luego de esto, se pasa a una segunda etapa descrita por la Figura 5.8, debido al acoplamiento  $g$ , se comparte el electrón entre los dos niveles  $L$  y  $R$ , siendo este el efecto cuántico que actúa en esta dinámica.

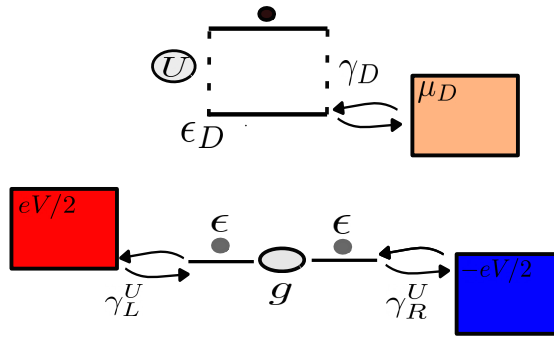


Figura 5.8: Esquema que representa el segundo paso en la dinámica.

Por último, se produce una tercera etapa descrita por la Figura 5.9. En este caso, para poder generar el flujo contra gradiente de potencial, es conveniente tomar que  $\gamma_L > \gamma_R$ , ya que esto establece que al estar vacío el demonio, haya más probabilidad de que ocurra una transición en el sistema  $L$  en vez de él  $R$ , lo que finalmente causa que se traslade el electrón desde una zona de menor potencial  $R$  a una zona de mayor potencial  $L$ .

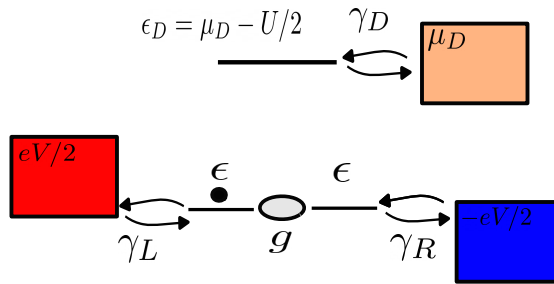


Figura 5.9: Esquema que representa el tercer paso en la dinámica.

Teniendo esta dinámica del sistema, podremos elegir distintos candidatos para las razones de tuneo sabiamente con el objetivo de lograr el comportamiento tipo Demonio. Para ello se estudiará el comportamiento de la matriz densidad, los flujos de corriente de partículas, calor, información y potencia, en función de la diferencia de potencial  $\mu_L - \mu_R = eV$ . Se partirá primero con las probabilidades de ocupación en la matriz densidad, se puede notar de 5.10 que la probabilidad de ocupar simultáneamente los 3 puntos cuánticos es prácticamente nula, por otro lado las 3 probabilidades más altas consisten en las probabilidades  $\rho_{001}, \rho_{100}, \rho_{010}$ , lo que también es esperable debido a la interacción coulombiana. Bajo este mismo argumento se podría pensar que  $\rho_{000}$  también debería ser de un rango similar a las tres anteriores, sin embargo las diferencias de potencial inducen constantemente que los sitios se poblen. En  $eV/T \approx 2.4$  se cruzan los gráficos correspondientes a  $\rho_{101}$  y  $\rho_{011}$ , es decir que para  $eV/T < 2.4$  es más probable que haya interacción coulombiana entre los puntos  $R$  y  $D$ , mientras que para  $eV/T > 3.6$  se cumple que  $\rho_{101} > \rho_{011}$  por ende hay mayor interacción entre  $L$  y  $D$ .

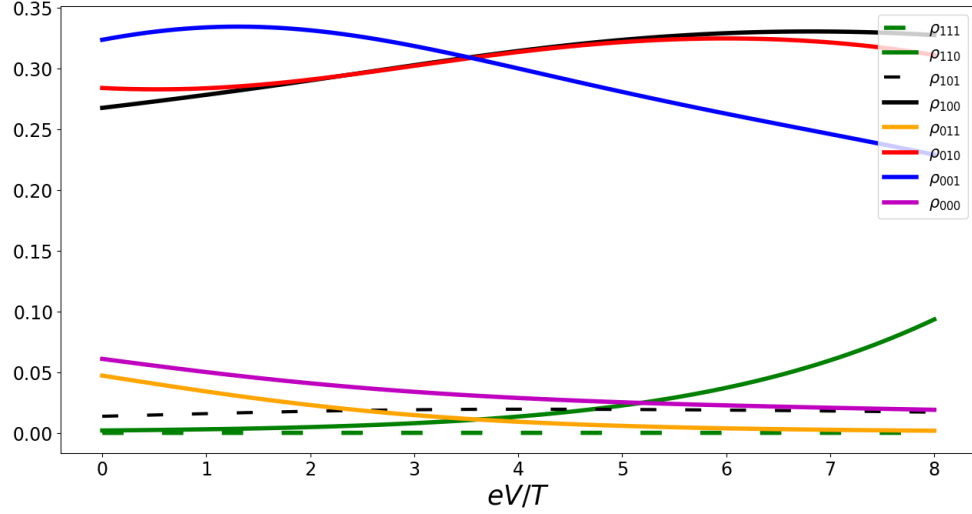


Figura 5.10: Partes diagonales de la matriz densidad en función de  $eV/T$ .

En la Figura 5.11 se muestra en (a) el resultado los flujos de calor respectivos a cada reservorio, mientras que para la parte (b) se grafica las corrientes de partículas correspondientes a cada reservorio. Es importante mencionar que debido a que no hay hopping entre el sistema y el demonio la corriente  $\dot{N}_d = 0$ , mientras que, debido a la conservación de partículas  $\dot{N}_L = -\dot{N}_R$ . Esto es importante, ya que nos permite aseverar que el Demonio sólo puede actuar a través del sistema mediante flujos de energía o información. Debido a que se tiene que  $\mu_L - \mu_R = eV$ , lo esperable es que en todo el parámetro de valores de  $eV$  la corriente  $\dot{N}_L > 0$ , sin embargo en el rango de parámetros  $eV/T < 2.4$  la corriente de partículas es  $\dot{N}_L < 0$  y por ende existe un flujo de corriente en contra del gradiente de potencial. Este cambio de signo de la corriente a su vez coincide con el cambio de signo de  $\rho_{101} - \rho_{011}$ , lo que tiene sentido físico, ya que si se recuerda la Figura 5.7, el comportamiento tipo Maxwell requiere que estén simultáneamente interactuando el punto  $R$  con el  $D$ , sin embargo al pasar a ser mayor  $\rho_{101}$  esto termina suprimiendo esta dinámica.

Si es que se analiza de manera aislada el sistema  $LR$ , el efecto de que fluya una corriente contragradiante de potencial constituye una violación aparente a la segunda ley. Ya que si consideramos la razón de producción de entropía aparente descrita por la ecuación  $\dot{\sigma}_{LR}^o = d_t S_{LR} - \sum_{i=L,R} J_i/T$ . La que se puede visualizar en la Figura 5.12.

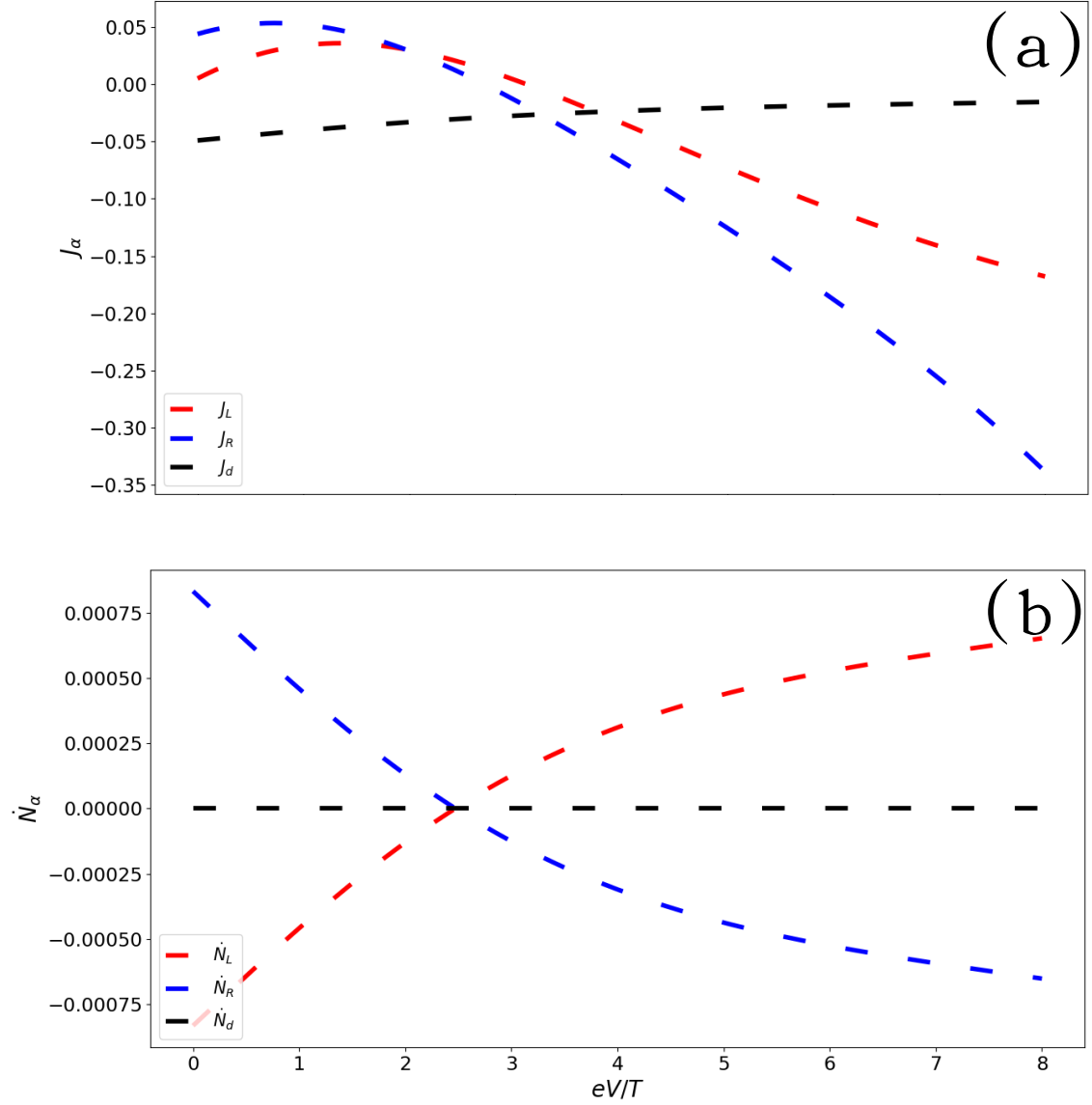


Figura 5.11: (a)Flujos de corriente de calor que libera el reservorio  $\alpha$ . (b)Flujo de corriente de partículas correspondiente a cada reservorio. Para obtener estos resultados se usaron las temperaturas  $T = 100$ ,  $T_d = 2$ , razones de transición de  $\gamma_L = \gamma_R^U = 1/100$ ,  $\gamma_R = \gamma_L^U = 1/600$ ,  $\gamma_D = \gamma_D^U = 1/50$ , potencial químico  $\mu_d = 2$ , parámetro de acoplamiento  $g = 5/1000$ , interacciones de Coulomb  $U = 40$ ,  $U_F = 500$  y por último niveles de energía  $\epsilon = 4$  y  $\epsilon_d = \mu_d - U/2$ .

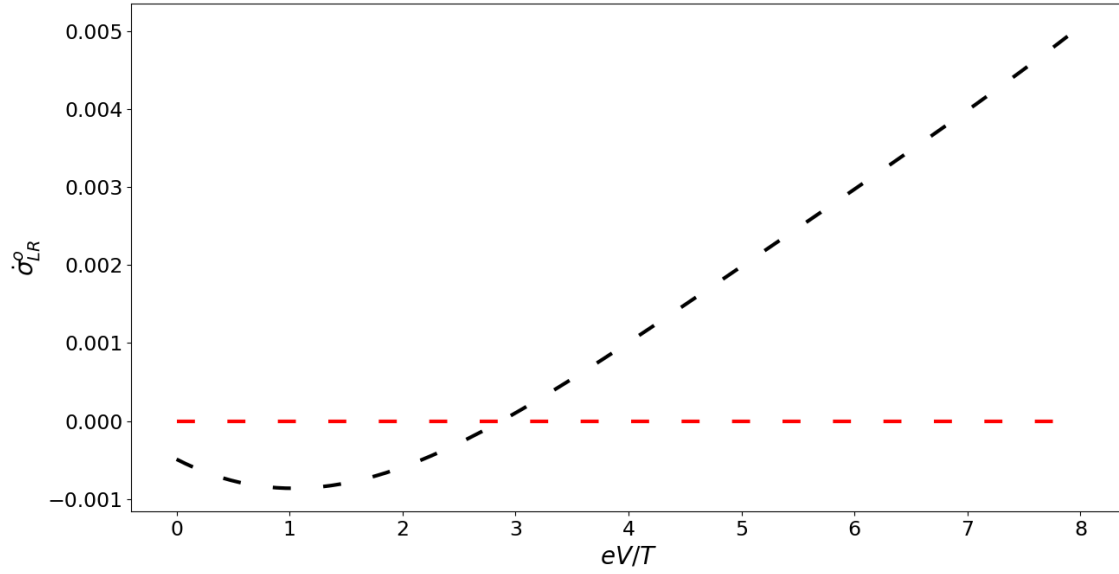


Figura 5.12: Gráfico de la razón de producción de entropía aparente del sistema  $LR$  dada por  $\dot{\sigma}_{LR}^o$  en función de  $eV/T$ .

En la Figura 5.12 se gráfica la razón de producción de entropía aparente en dónde se confirma que para el caso  $eV/T < 2.4$  hay un rompimiento aparente de la segunda Ley, sin embargo si se calcula la razón de producción de entropía que considerará la contribución de la información se obtiene la Figura 5.13 en donde la razón de producción de entropía del sistema  $LR$  es siempre positiva.

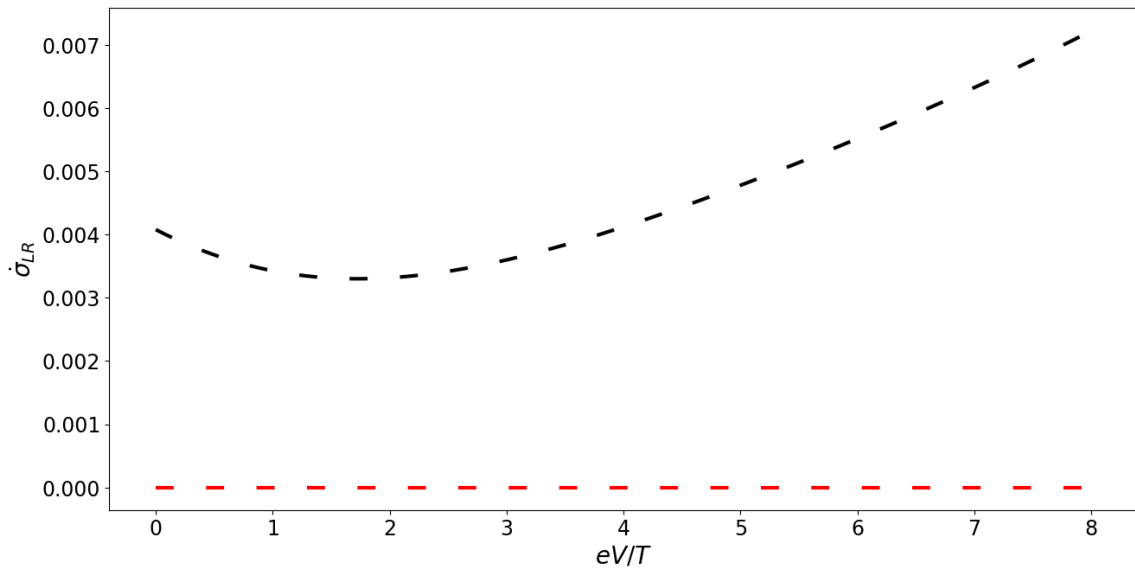


Figura 5.13: Gráfico de la razón de producción de entropía aparente del sistema  $LR$  dada por  $\dot{\sigma}_{LR}$  en función de  $eV/T$ .

En el rango de parámetros en que  $eV/T < 2.4$ , el sistema  $LR$  realiza un trabajo. Y para poder determinar si es que es un efecto principalmente de la información, partiremos usando que en el estado estacionario se tiene que  $\dot{E}_L + \dot{E}_R + \dot{E}_d = d_t E = \dot{E}_{LR} + \dot{E}_d = 0$ . Para considerar que este sistema se comporta como Demonio, el trabajo realizado por el sistema  $LR$  debe ser predominantemente efecto del flujo de información, es decir

$$\dot{\mathcal{F}}_{LR} = \dot{E}_{LR} + T\dot{I}_{LR} = -\dot{E}_d + T\dot{I}_{LR} \approx T\dot{I}_{LR} \quad \dot{W}_{LR} \geq \dot{\mathcal{F}}_{LR}$$

Por ende para hacer el análisis, se grafican estas cantidades termodinámicas para el sistema y el demonio

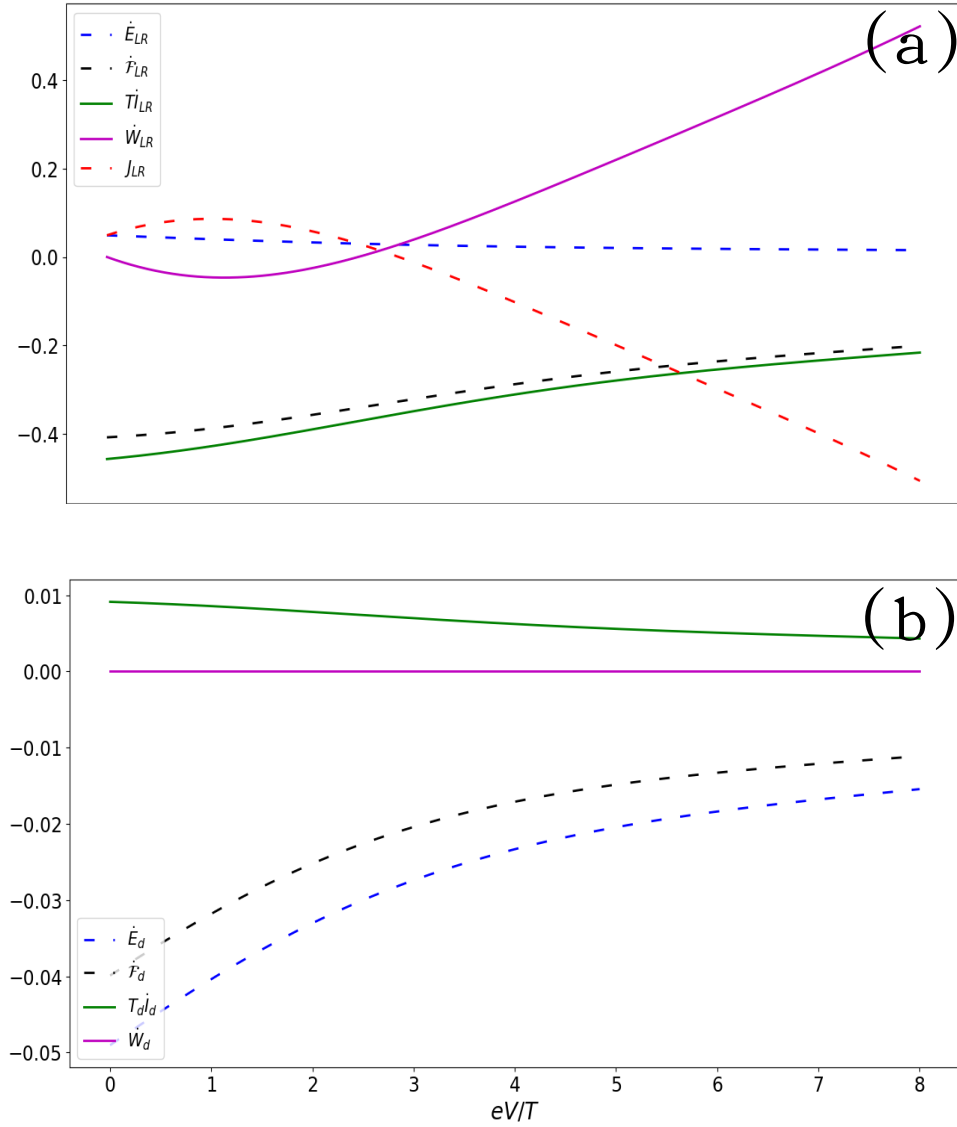


Figura 5.14: (a) Gráfico del flujo de energía, la razón de cambio de energía libre, contribución de información, potencia y flujo de calor del sistema LR. (b) Gráfico del flujo de energía, la razón de cambio de energía libre, contribución de información, potencia y flujo de calor del Demonio.



El gráfico de la Figura 5.14 nos muestra primero que el flujo de energía en comparación a la contribución de la información es pequeña. Es así que en la zona en que el sistema  $LR$  realiza trabajo ( $\dot{W}_{LR} < 0$  y  $\dot{\mathcal{F}}_{LR} < 0$ ) se cumple que  $\dot{\mathcal{F}}_{LR} \approx T\dot{I}_{LR}$  y que  $\dot{E}_{LR} \approx 0$ , lo que promueve la interpretación de este dispositivo como Demonio. La potencia descrita por  $\dot{W}_{LR}$  cumple que es menor a cero porque la corriente va en contra del gradiente del potencial, justamente esto es debido a que para producir esta corriente el sistema necesita realizar trabajo. Para poder realizar este trabajo, el sistema absorbe calor del baño  $J_{LR} > 0$ . Por otro lado, debido a que no hay flujo de corriente en el Demonio, se tiene que  $\dot{N}_d = 0$  por lo tanto  $\dot{E}_d = J_d$ . Y en el gráfico se visualiza que el flujo de energía del demonio es menor a cero, por ende el Demonio libera calor al baño descrito por la temperatura  $T_d < T$ . Este efecto también se puede ver como el de una máquina térmica, ya que si consideramos el sistema completo, este sistema recibe un flujo de calor  $J_{LR}$  de un reservorio de mayor temperatura, el cuál una parte la transforma en potencia  $\dot{W}_{LR}$  y otra la libera al baño de menor temperatura como calor  $J_d$  de tal manera que  $J_d + J_{LR} = -\dot{W}_{LR}$ .

Debido a que cada punto cuántico se conecta a un reservorio independiente, se pueden separar los flujos de información en contribuciones individuales  $\dot{I}_{LR} = \dot{I}_L + \dot{I}_R$  para hacer la interpretación de que punto cuántico entrega más información. El resultado es la Figura 5.15

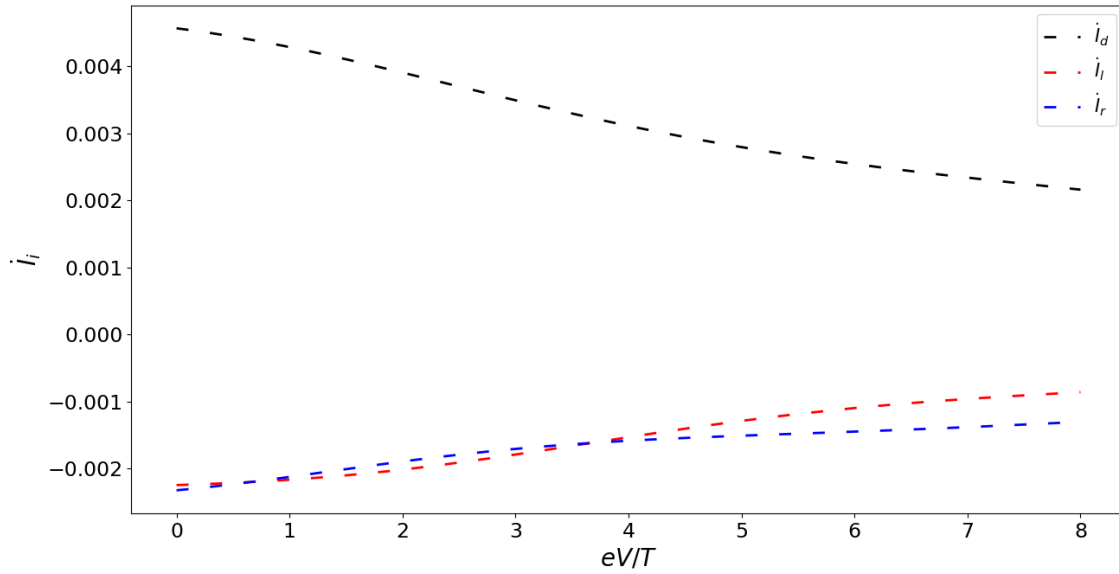


Figura 5.15: (a) Gráfico del flujo de energía, la razón de cambio de energía libre, contribución de información, potencia y flujo de calor del sistema LR. (b) Gráfico del flujo de energía, la razón de cambio de energía libre, contribución de información, potencia y flujo de calor del Demonio.

Es interesante percatarse que cuando  $eV/T > 3.6$  se tiene que el punto cuántico que entrega más información es  $R$ , mientras que para  $eV/T < 3.6$  el punto cuántico  $L$  entrega más información. Si se analiza la Figura 5.10 a medida que se aumenta  $eV/T > 3.6$  sucede que  $\rho_{110} > \rho_{011}$  lo que es natural, ya que si aumentamos la diferencia de potencial, es más probable que se llene el punto cuántico  $L$ , por otro lado la asimetría en las razones de tuneleo busca que se llene  $R$ , esto dificulta que se cumpla la dinámica descrita en las Figuras 5.7, 5.8, 5.9. La parte principal en este asunto es que el sistema  $D$  necesita monitorear  $R$ , y luego al pasar al

punto  $L$  y estar vacío  $D$ , este fluye hacia el baño  $L$ , sin embargo al aumentar la probabilidad de que este ocupado  $L$  ya no fluye correctamente la información de  $L$ , por eso decrece en  $eV/T$  y se vuelve menor a la del punto  $R$ .

Otro factor importante que se puede considerar es si en esta dinámica hay efectos cuánticos presentes. Para ello, se grafica la norma- $l_1$   $\mathcal{C}_{l_1}$  de la coherencia y además se grafica la concurrencia

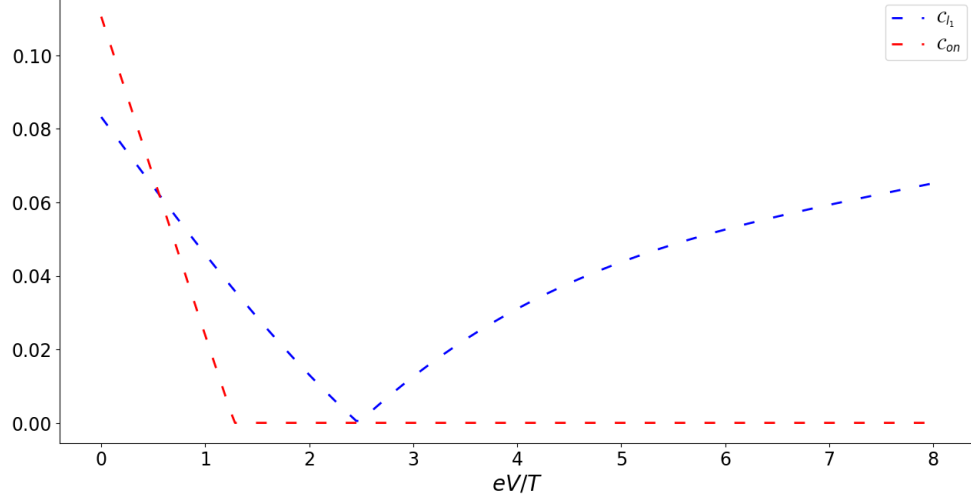


Figura 5.16: En líneas azul la norma- $l_1$  de la coherencia  $\mathcal{C}_{l_1}$  y en líneas rojas la concurrencia  $\mathcal{C}_{on}$ .

Se pueden notar dos comportamientos interesantes, el primero es que para  $eV/T \leq 1$  la concurrencia  $\mathcal{C}_{on} > 0$ , por lo tanto hay entrelazamiento entre los sitios  $L$  y  $R$ . Segundo si se analiza la coherencia, para aproximadamente  $eV/T < 2.4$  esta disminuye hasta llegar a cero y luego empieza a crecer a medida que aumenta  $eV/T$ . Lo que es interesante, ya que el efecto de la coherencia se anula en un punto cercano al punto en donde la corriente de partículas cambia de dirección. Teniendo en consideración el comportamiento tipo Demonio, es interesante ver como estas cantidades son influenciadas por el acoplamiento  $g$ , se partirá por las cantidades termodinámicas

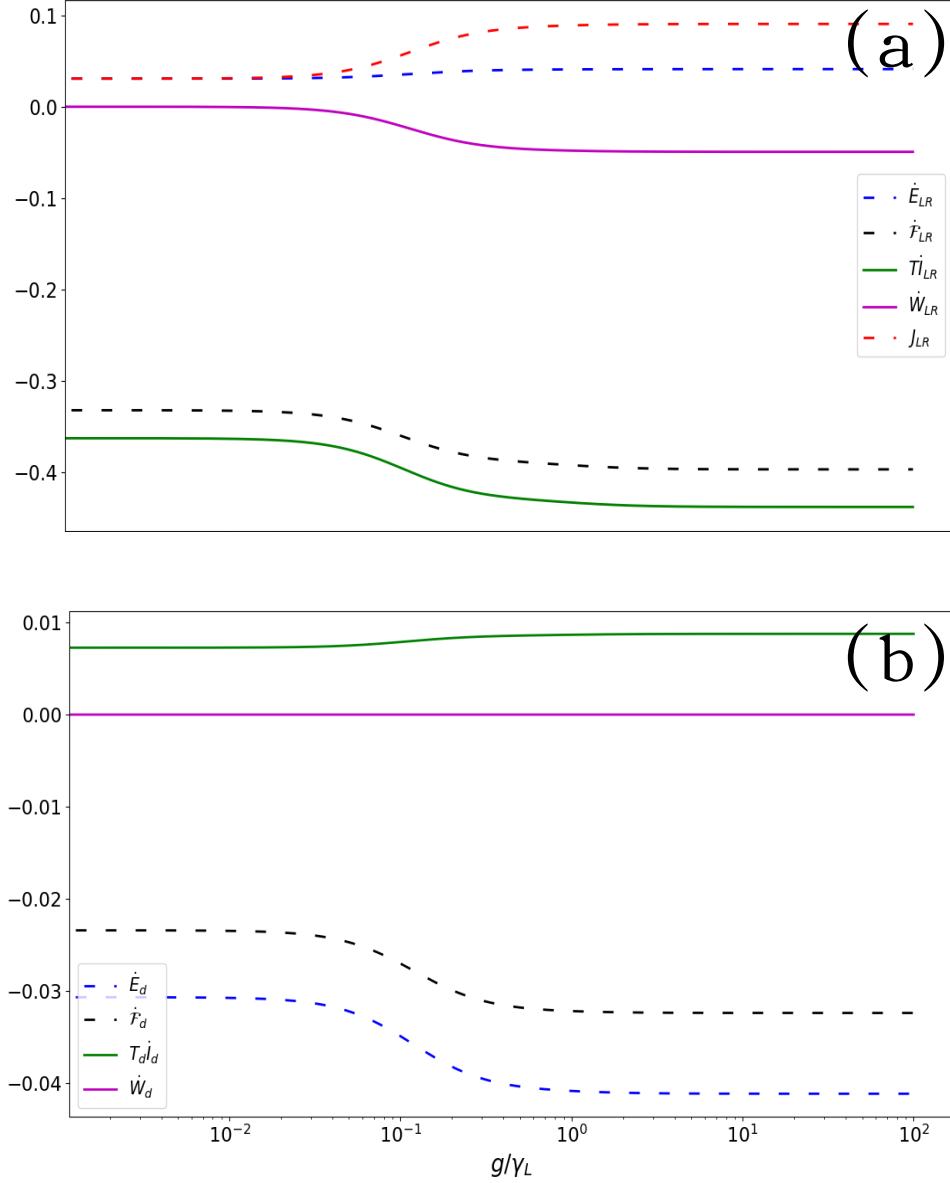


Figura 5.17: Cantidades termodinámicas para el sistema  $LR$  y el Demonio en función de  $g/\gamma_L$ , considerando  $eV/T = 1$  y el resto de parámetros corresponden a los de la Figura 5.11.

Se puede ver que a medida que  $g \sim \gamma_L$ , la potencia y la contribución de la información en el sistema  $LR$  aumenta, lo cuál es interesante ya que permite ver como el acoplamiento favorece este hecho. También se puede ver que a medida que  $g \sim \gamma_L$  el flujo de energía del demonio aumenta.

Por otro lado, se pueden ver las contribuciones individuales en los flujos de información y como estas son influenciadas debido al acoplamiento, es decir lo que se ve en la Figura 5.18

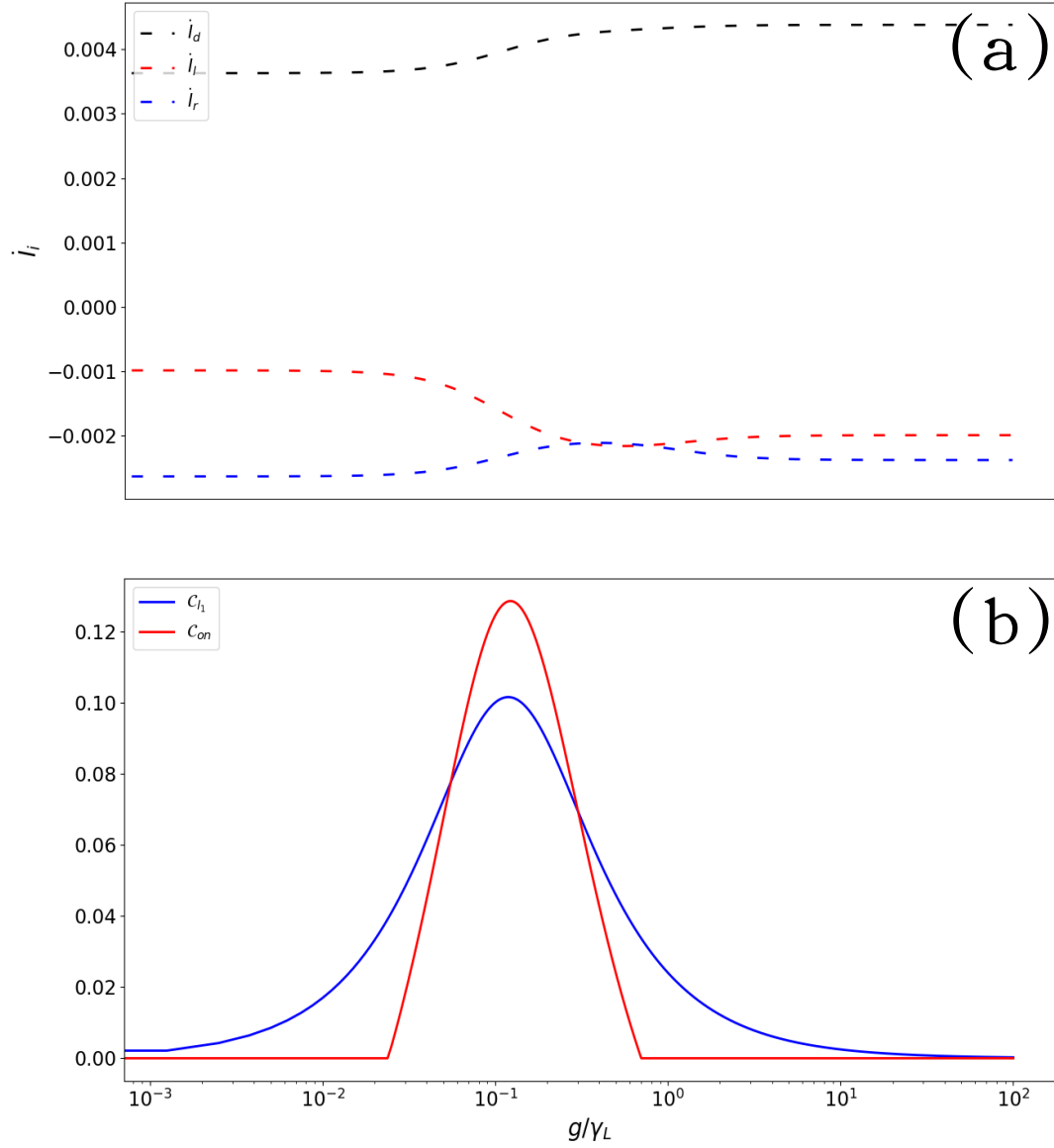


Figura 5.18: (a)Gráfico de los flujos de información de cada sitio. (b)Gráfico de la concurrencia y la coherencia en función de  $g/\gamma_L$ .

Aquí sucede algo interesante, ya que cuando  $g \sim \gamma_L$  las concurrencias y coherencias están cerca de un peak, y a la vez los flujos de información del sitio  $L$  y  $R$  se vuelven  $\dot{I}_L \approx \dot{I}_R$ . De alguna manera a medida que el entrelazamiento y la coherencia se hace presente entre los dos sitios, los dos sitios entregan casi la misma información.

## 5.4. Comparación con caso clásico

Una de las ventajas de usar el formalismo descrito en [25] es que se pueden considerar términos no seculares los que finalmente permiten que aparezcan coherencias y entrelazamiento no nulos en el régimen de  $g \sim \gamma_L$ . La pregunta ahora por hacerse es si estos efectos cuánticos resultan ser una ventaja para que el demonio opere como debe ser. Para hacer la comparación uno puede calcular una evolución clásica para las partes diagonales del sistema descrita por

$$\frac{d}{dt}\check{\mathcal{P}}|\hat{\rho}_s(t)\rangle\rangle = (\check{\mathcal{L}}_0 - \check{\mathcal{P}}\check{\mathcal{V}}\check{\mathcal{Q}}\check{\mathcal{L}}_0^{-1}\check{\mathcal{Q}}\check{\mathcal{V}}\check{\mathcal{P}})\check{\mathcal{P}}|\hat{\rho}_s(t)\rangle\rangle, \quad (5.2)$$

En donde en este caso  $\check{\mathcal{P}}$  y  $\check{\mathcal{Q}}$  son operadores de Nakajima-Zwanzig que corresponden a la parte diagonal y no diagonal de la matriz densidad del sistema respectivamente. Además se cumple que  $\check{\mathcal{L}}_f = \check{\mathcal{L}}_0 + \check{\mathcal{V}}$  en donde  $\check{\mathcal{V}}|\hat{\rho}\rangle\rangle$  actúa como  $-ig[\hat{d}_L^\dagger\hat{d}_R + \hat{d}_R^\dagger\hat{d}_L, \hat{\rho}]$ ,  $\check{\mathcal{L}}_0^{-1} = -\int_0^\infty d\tau e^{\check{\mathcal{L}}_0\tau} \check{\mathcal{Q}}$  consiste en el inverso de Drazin de  $\check{\mathcal{L}}_0$  [28] y  $\check{\mathcal{L}}_f|\hat{\rho}\rangle\rangle = -i[\hat{H}_S, \hat{\rho}] + \mathcal{L}(\hat{\rho})$ . La demostración de esta ecuación se encuentra en el apéndice C.8.

El hecho de tener una ecuación maestra sólo para las partes diagonales permite modelar el sistema de manera estocástica, a través de un vector para las probabilidades de ocupación  $\mathbf{P} = [\rho_{000}, \rho_{100}, \rho_{010}, \rho_{001}, \rho_{110}, \rho_{101}, \rho_{011}, \rho_{111}]^T$  y la ecuación maestra

$$\frac{d}{dt}\mathbf{P} = \mathbf{W}\mathbf{P},$$

En donde la matriz de transición  $\mathbf{W}$  se puede obtener de 5.2. Finalmente flujos de corriente e información correspondientes al baño  $\alpha$  podrán ser calculadas usando que

$$\dot{N}_\alpha = -(\mathbf{N})^T \mathbf{W}_\alpha \mathbf{P}$$

$$\dot{I}_\alpha = -(\log \mathbf{P})^T \mathbf{W}_\alpha \mathbf{P},$$

en donde los vectores  $\mathbf{N}$  y  $\log \mathbf{P}$  están escritos en la base de Fock usada para el vector  $\mathbf{P}$ . La expresión analítica para el flujo de corriente de partículas para el baño  $L$  es equivalente tanto en el clásico como en el cuántico y es

$$\begin{aligned} \dot{N}_L = & \gamma_L(\epsilon)(f_L(\epsilon)\rho_{000} - [1 - f_L(\epsilon)]\rho_{100}) \\ & + \gamma_L(\epsilon + U)(f_L(\epsilon + U)\rho_{001} - [1 - f_L(\epsilon + U)]\rho_{101}) \\ & + \gamma_L(\epsilon + U_f)(f_L(\epsilon + U_f)\rho_{010} - [1 - f_L(\epsilon + U_f)]\rho_{110}) \\ & + \gamma_L(\epsilon + U + U_f)(f_L(\epsilon + U + U_f)\rho_{011} - [1 - f_L(\epsilon + U + U_f)]\rho_{111}). \end{aligned}$$

Por otro lado, los flujos de información clásicos corresponden a

$$\begin{aligned} \dot{I}_L = & \gamma_L(\epsilon)(f_L(\epsilon)[\rho_{000} \ln \rho_{100} - \rho_{000} \ln \rho_{000}] + (1 - f_L(\epsilon))[\rho_{100} \ln \rho_{000} - \rho_{100} \ln \rho_{100}]) \\ & + \gamma_L(\epsilon + U)(f_L(\epsilon + U)[\rho_{001} \ln \rho_{101} - \rho_{001} \ln \rho_{001}] + (1 - f_L(\epsilon + U))[\rho_{101} \ln \rho_{001} - \rho_{101} \ln \rho_{101}]) \\ & + \gamma_L(\epsilon + U_f)(f_L(\epsilon + U_f)[\rho_{010} \ln \rho_{110} - \rho_{010} \ln \rho_{010}] + (1 - f_L(\epsilon + U_f))[\rho_{110} \ln \rho_{010} - \rho_{110} \ln \rho_{110}]) \\ & + \gamma_L(\epsilon + U + U_f)(f_L(\epsilon + U + U_f)[\rho_{011} \ln \rho_{111} - \rho_{011} \ln \rho_{011}]) \\ & + \gamma_L(\epsilon + U + U_f)((1 - f_L(\epsilon + U + U_f))[\rho_{111} \ln \rho_{011} - \rho_{111} \ln \rho_{111}]) \end{aligned}$$

$$\begin{aligned}
\dot{I}_R = & \gamma_R(\epsilon)(f_R(\epsilon)[\rho_{000} \ln \rho_{010} - \rho_{000} \ln \rho_{000}] + (1 - f_R(\epsilon))[\rho_{010} \ln \rho_{000} - \rho_{010} \ln \rho_{010}]) \\
& + \gamma_R(\epsilon + U)(f_R(\epsilon + U)[\rho_{001} \ln \rho_{011} - \rho_{001} \ln \rho_{001}] + (1 - f_R(\epsilon + U))[\rho_{011} \ln \rho_{001} - \rho_{011} \ln \rho_{011}]) \\
& + \gamma_R(\epsilon + U_f)(f_R(\epsilon + U_f)[\rho_{100} \ln \rho_{110} - \rho_{100} \ln \rho_{100}] + (1 - f_R(\epsilon + U_f))[\rho_{110} \ln \rho_{100} - \rho_{110} \ln \rho_{110}]) \\
& + \gamma_R(\epsilon + U + U_f)(f_R(\epsilon + U + U_f)[\rho_{101} \ln \rho_{111} - \rho_{101} \ln \rho_{101}]) \\
& + \gamma_R(\epsilon + U + U_f)((1 - f_R(\epsilon + U + U_f))[\rho_{111} \ln \rho_{101} - \rho_{111} \ln \rho_{111}]).
\end{aligned}$$

La versión cuántica de los flujos de información se encuentra calculada en el apéndice C.10. Se pueden graficar estas cantidades tanto en el caso clásico y en el caso cuántico como se ve en la Figura 5.19

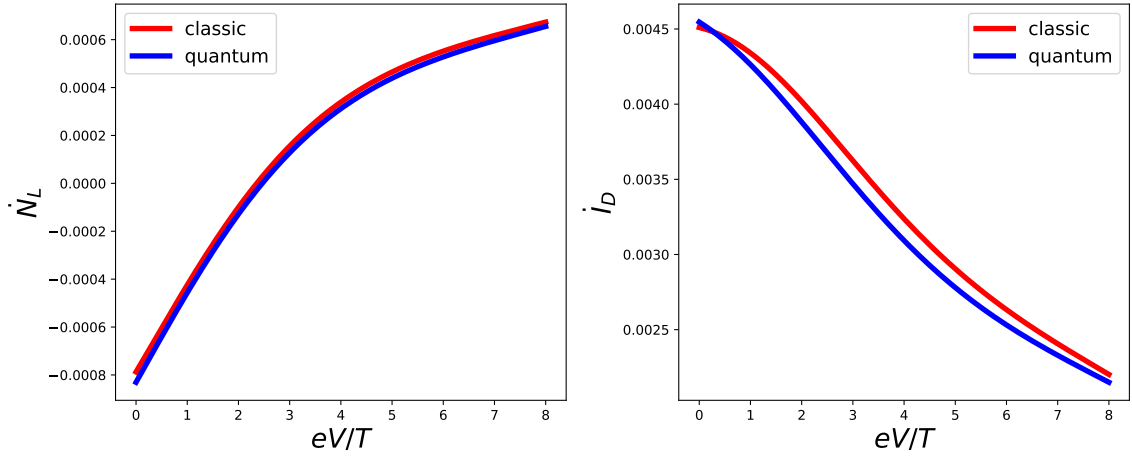
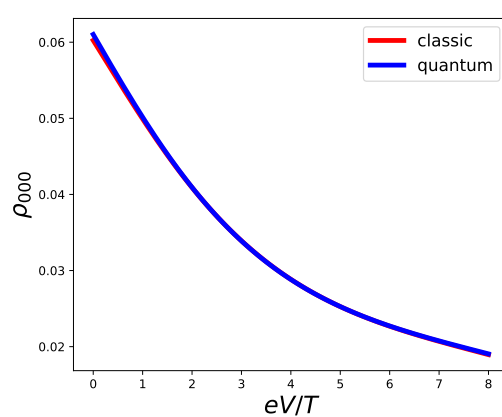
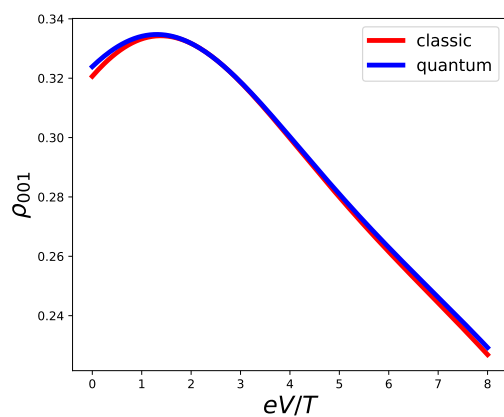
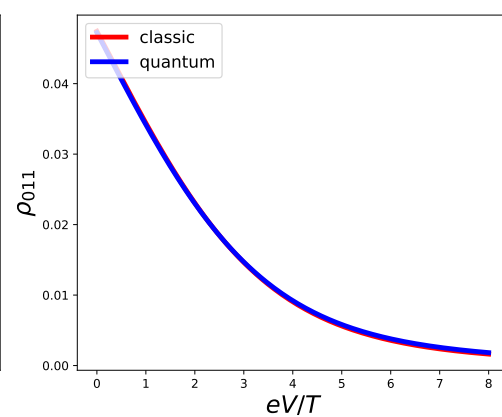
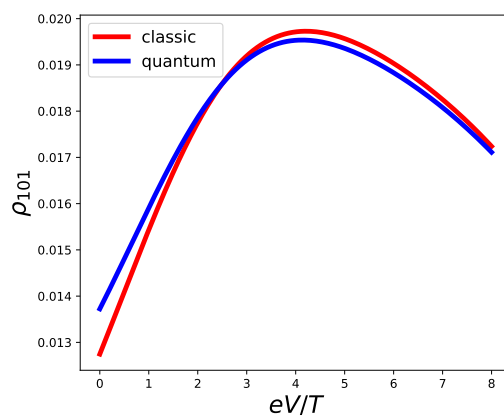
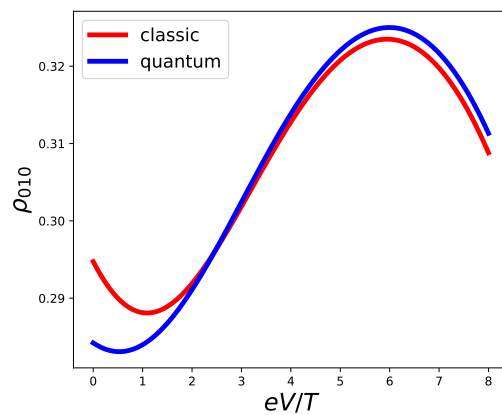
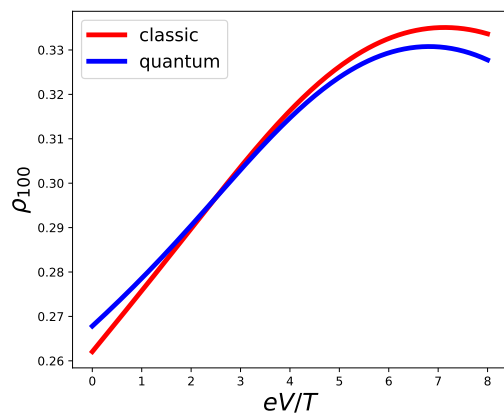


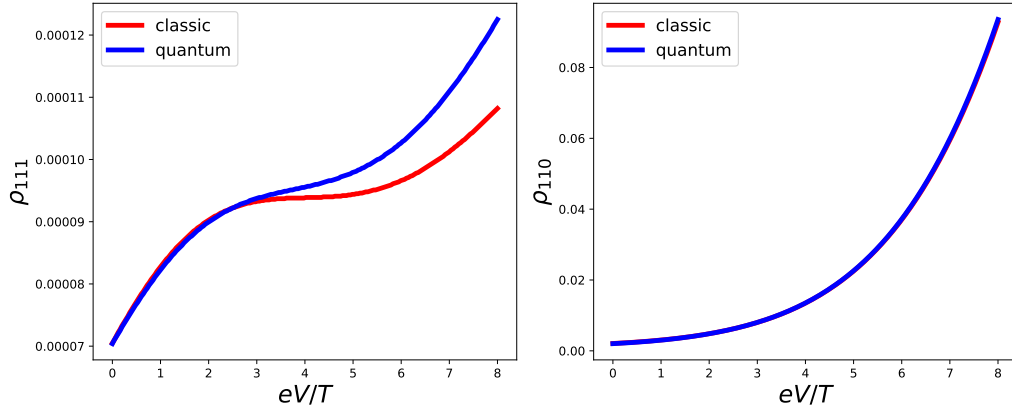
Figura 5.19: En línea azul el cálculo realizado con el modelo cuántico que permite coherencias no nulas, mientras que la línea roja corresponde al cálculo semiclásico. En estos gráficos el único dato que se modificó es el de  $\epsilon = 0$  comparando con el de secciones anteriores.

Primero analizando el flujo de corriente, se puede notar que la corriente para el caso cuántico es menor en todo momento con respecto al caso clásico. Si se considera el caso en que  $U_f \gg U, \epsilon$  esta corriente se puede aproximar a

$$\dot{N}_L \approx \gamma_L(\epsilon)(f_L(\epsilon)\rho_{000} - [1 - f_L(\epsilon)]\rho_{100}) + \gamma_L(\epsilon + U)(f_L(\epsilon + U)\rho_{001} - [1 - f_L(\epsilon + U)]\rho_{101}), \quad (5.3)$$

esto nos permite verificar que las probabilidades que permiten que el flujo de corriente vaya en la dirección contraria a la diferencia de potencial son principalmente  $\rho_{101}$  y  $\rho_{100}$ . De hecho, si graficamos las probabilidades de ocupación





Resulta relevante analizar para el régimen  $eV/T < 2.4$  considerando la asimetría en las razones de tunelaje  $\gamma_L(\epsilon)/\gamma_L(\epsilon + U) = 6$ , ya que si consideramos 5.3. La probabilidad que realiza mayor contribución a que  $\dot{N}_L < 0$  es  $\rho_{100}$  el cuál es mayor para el caso cuántico, en el régimen  $eV/T < 2.4$ . Por otro lado, las probabilidades que presentan mayor diferencia a su simil clásico son efectivamente las que presentan coherencias entre ellas como se ve con  $\rho_{100}, \rho_{010}$  y  $\rho_{101}$ . [Este analisis aún no estoy seguro por algo que comentare] Para los flujos de información se obtuvo que la información que recibe el punto cuántico  $D$  es mayor para el caso clásico con respecto al caso cuántico, esto puede ser por dos razones, una de ellas es si consideramos la interpretación tipo Demonio, ya que este Demonio debe ser capaz de distinguir bien si es que el punto cuántico esta en el modo  $L$  o el modo  $R$ , sin embargo el hecho de que haya coherencias no nulas entre estos dos modos dificulta el hecho de distinguir en que modo está el electrón, lo que a su vez afecta en el desarrollo de las correlaciones entre los estados del sistema.



# Capítulo 6

## Conclusiones

# Bibliografía

- [1] Breuer, H.-P. y Petruccione, F., The theory of open quantum systems. Oxford University Press, USA, 2002.
- [2] Friis, N., Lee, A. R., y Bruschi, D. E., “Fermionic-mode entanglement in quantum information”, *Physical Review A—Atomic, Molecular, and Optical Physics*, vol. 87, no. 2, p. 022338, 2013.
- [3] Vidal, N. T., Bera, M. L., Riera, A., Lewenstein, M., y Bera, M. N., “Quantum operations in an information theory for fermions”, *Physical Review A*, vol. 104, no. 3, p. 032411, 2021.
- [4] Manzano, D., “A short introduction to the lindblad master equation”, *Aip advances*, vol. 10, no. 2, 2020.
- [5] Geva, E., Rosenman, E., y Tannor, D., “On the second-order corrections to the quantum canonical equilibrium density matrix”, *The Journal of Chemical Physics*, vol. 113, no. 4, pp. 1380–1390, 2000.
- [6] Esposito, M., Lindenberg, K., y Van den Broeck, C., “Entropy production as correlation between system and reservoir”, *New Journal of Physics*, vol. 12, no. 1, p. 013013, 2010.
- [7] Strasberg, P. y Esposito, M., “Non-markovianity and negative entropy production rates”, *Physical Review E*, vol. 99, no. 1, p. 012120, 2019.
- [8] Zwanzig, R. W., “Statistical mechanics of irreversibility”, *Quantum Statistical Mechanics*, p. 139, 1966.
- [9] Folland, G. B. y Sitaram, A., “The uncertainty principle: a mathematical survey”, *Journal of Fourier analysis and applications*, vol. 3, pp. 207–238, 1997.
- [10] Trushechkin, A., “Unified gorini-kossakowski-lindblad-sudarshan quantum master equation beyond the secular approximation”, *Physical Review A*, vol. 103, no. 6, p. 062226, 2021.
- [11] Chruściński, D. y Pascazio, S., “A brief history of the gkls equation”, *Open Systems & Information Dynamics*, vol. 24, no. 03, p. 1740001, 2017.
- [12] Wichterich, H., Henrich, M. J., Breuer, H.-P., Gemmer, J., y Michel, M., “Modeling heat transport through completely positive maps”, *Physical Review E—Statistical, Nonlinear, and Soft Matter Physics*, vol. 76, no. 3, p. 031115, 2007.
- [13] Spohn, H. y Lebowitz, J. L., “Irreversible thermodynamics for quantum systems weakly coupled to thermal reservoirs”, *Adv. Chem. Phys.*, vol. 38, pp. 109–142, 2007.
- [14] Maxwell, J. C., *Theory of Heat*. 1871.
- [15] Landauer, R., “Irreversibility and heat generation in the computing process”, *IBM Jour-*

- nal of Research and Development, vol. 5, p. 183–191, Jul 1961, doi:10.1147/rd.53.0183.
- [16] Szilard, L., “On the decrease of entropy in a thermodynamic system by the intervention of intelligent beings”, Behavioral Science, vol. 9, no. 4, pp. 301–310, 1964.
  - [17] Maruyama, K., Nori, F., y Vedral, V., “Colloquium: The physics of maxwell’s demon and information”, Reviews of Modern Physics, vol. 81, no. 1, pp. 1–23, 2009.
  - [18] Sagawa, T. y Ueda, M., “Second law of thermodynamics with discrete quantum feedback control”, Physical review letters, vol. 100, no. 8, p. 080403, 2008.
  - [19] Htkym, “Maxwell’s demon”, 2007, <http://creativecommons.org/licenses/by-sa/3.0/>.
  - [20] Lan, G., Sartori, P., Neumann, S., Sourjik, V., y Tu, Y., “The energy–speed–accuracy trade-off in sensory adaptation”, Nature physics, vol. 8, no. 5, pp. 422–428, 2012.
  - [21] Van den Broeck, C. y Esposito, M., “Ensemble and trajectory thermodynamics: A brief introduction”, Physica A: Statistical Mechanics and its Applications, vol. 418, pp. 6–16, 2015.
  - [22] Van Kampen, N., Stochastic Processes in Physics and Chemistry. North-Holland Publishing Co, 1992.
  - [23] Horowitz, J. M. y Esposito, M., “Thermodynamics with continuous information flow”, Physical Review X, vol. 4, no. 3, p. 031015, 2014.
  - [24] Spohn, H., “Entropy production for quantum dynamical semigroups”, Journal of Mathematical Physics, vol. 19, no. 5, pp. 1227–1230, 1978.
  - [25] Prech, K., Johansson, P., Nyholm, E., Landi, G. T., Verdozzi, C., Samuelsson, P., y Potts, P. P., “Entanglement and thermokinetic uncertainty relations in coherent mesoscopic transport”, Physical Review Research, vol. 5, no. 2, p. 023155, 2023.
  - [26] Hill, S. A. y Wootters, W. K., “Entanglement of a pair of quantum bits”, Physical review letters, vol. 78, no. 26, p. 5022, 1997.
  - [27] Wootters, W. K., “Entanglement of formation of an arbitrary state of two qubits”, Physical Review Letters, vol. 80, no. 10, p. 2245, 1998.
  - [28] Landi, G. T., Kewming, M. J., Mitchison, M. T., y Potts, P. P., “Current fluctuations in open quantum systems: Bridging the gap between quantum continuous measurements and full counting statistics”, PRX Quantum, vol. 5, no. 2, p. 020201, 2024.
  - [29] Esposito, M., Harbola, U., y Mukamel, S., “Nonequilibrium fluctuations, fluctuation theorems, and counting statistics in quantum systems”, Reviews of modern physics, vol. 81, no. 4, pp. 1665–1702, 2009.
  - [30] Hu, J., Luo, M., Jiang, F., Xu, R.-X., y Yan, Y., “Padé spectrum decompositions of quantum distribution functions and optimal hierarchical equations of motion construction for quantum open systems”, The Journal of chemical physics, vol. 134, no. 24, 2011.
  - [31] Schinabeck, C., “Hierarchical quantum master equation approaches to nonequilibrium charge transport through single-molecule junctions”, 2019.
  - [32] Riley, K. F., Hobson, M. P., y Bence, S. J., Mathematical methods for physics and engineering: a comprehensive guide. Cambridge university press, 2006.
  - [33] Bartlett, S. D., Rudolph, T., y Spekkens, R. W., “Reference frames, superselection rules, and quantum information”, Reviews of Modern Physics, vol. 79, no. 2, pp. 555–609,

2007.

- [34] Wick, G. C., Wightman, A. S., y Wigner, E. P., “The intrinsic parity of elementary particles”, Part I: Particles and Fields. Part II: Foundations of Quantum Mechanics, pp. 102–106, 1997.

# Anexos

## Anexo A. Cálculos realizados sección 3

### A.1. Matriz densidad en función del campo de conteo

Reemplazando la distribución de probabilidad en la función generadora 3.3

$$\begin{aligned}
\Lambda(\vec{\lambda}, \vec{\chi}) &= \sum_{\mathbf{E}, \mathbf{E}', \mathbf{N}, \mathbf{N}'} \int d\mathbf{Q} d\mathbf{W} P_t(\mathbf{E}', \mathbf{N}' | \mathbf{E}, \mathbf{N}) P_0(\mathbf{E}, \mathbf{N}) \\
&\times \Pi_\alpha \delta(W_\alpha - \mu_\alpha(N_\alpha - N'_\alpha)) \delta(Q_\alpha + W_\alpha - (E_\alpha - E'_\alpha)) e^{-i\vec{\lambda} \cdot \mathbf{Q}} e^{-i\vec{\chi} \cdot \mathbf{W}} \\
&= \sum_{\mathbf{E}, \mathbf{E}', \mathbf{N}, \mathbf{N}'} P_t(\mathbf{E}', \mathbf{N}' | \mathbf{E}, \mathbf{N}) P_0(\mathbf{E}, \mathbf{N}) \Pi_\alpha e^{-i\chi_\alpha \mu_\alpha(N_\alpha - N'_\alpha)} e^{-i\lambda_\alpha((E_\alpha - \mu_\alpha N_\alpha) - (E'_\alpha - \mu_\alpha N'_\alpha))} \\
&= \sum_{\mathbf{E}, \mathbf{E}', \mathbf{N}, \mathbf{N}'} \text{Tr}\{\hat{P}_{\mathbf{E}', \mathbf{N}'} \hat{U}(t) \hat{P}_{\mathbf{E}, \mathbf{N}} (\hat{\rho}_s(0) \otimes \Pi_\alpha \hat{\tau}_\alpha) \hat{P}_{\mathbf{E}, \mathbf{N}} \hat{U}^\dagger(t) \hat{P}_{\mathbf{E}', \mathbf{N}'}\} \\
&\times \Pi_\alpha e^{-i\chi_\alpha \mu_\alpha(N_\alpha - N'_\alpha)} e^{-i\lambda_\alpha((E_\alpha - \mu_\alpha N_\alpha) - (E'_\alpha - \mu_\alpha N'_\alpha))}.
\end{aligned}$$

Si se considera un observable  $\hat{A}(0)$  y proyectores del tipo  $\hat{P}_{a_0}$  y se aplican para un estado diagonal  $\hat{\rho}_{diag}$  [29], se cumple que

$$\sum_{a_0} e^{-i\lambda a_0} \hat{P}_{a_0} \hat{\rho}_{diag} \hat{P}_{a_0} = e^{-i(\lambda/2)\hat{A}(0)} \hat{\rho}_{diag} e^{-i(\lambda/2)\hat{A}(0)}. \quad (\text{A.1})$$

Usando la relación A.1 en la función generadora

$$\begin{aligned}
\Lambda(\vec{\lambda}, \vec{\chi}) &= \sum_{\mathbf{E}', \mathbf{N}'} \text{Tr}\{\hat{P}_{\mathbf{E}', \mathbf{N}'} \hat{U}(t) e^{-\frac{i}{2} \sum_\alpha [\lambda_\alpha (\hat{H}_\alpha - \mu_\alpha \hat{N}_\alpha) + \chi_\alpha \mu_\alpha \hat{N}_\alpha]} \hat{\rho}_{tot}(0) e^{-\frac{i}{2} \sum_\alpha [\lambda_\alpha (\hat{H}_\alpha - \mu_\alpha \hat{N}_\alpha) + \chi_\alpha \mu_\alpha \hat{N}_\alpha]} \hat{U}^\dagger(t) \hat{P}_{\mathbf{E}', \mathbf{N}'}\} \\
&\times \Pi_\alpha e^{i\chi_\alpha \mu_\alpha \hat{N}_\alpha} e^{i\lambda_\alpha (\hat{H}_\alpha - \mu_\alpha \hat{N}_\alpha)} \\
&= \text{Tr}\{\hat{U}(\vec{\lambda}, \vec{\chi}; t) \hat{\rho}_{tot}(0) \hat{U}^\dagger(-\vec{\lambda}, -\vec{\chi}; t)\}.
\end{aligned}$$

## A.2. Matriz densidad generalizada

Se puede realizar una expansión a segundo orden de la ecuación 3.7 y tener la evolución

$$|\hat{\rho}_{totI}(\vec{\lambda}, \vec{\chi}, t)\rangle\rangle = \left( \mathbf{1} + \epsilon \int_0^t \check{\mathcal{L}}'_\lambda(t_1) dt_1 + \epsilon^2 \int_0^t dt_1 \int_0^{t_1} \check{\mathcal{L}}'_\lambda(t_1) \check{\mathcal{L}}'_\lambda(t_2) dt_2 \right) |\hat{\rho}_{tot}(0)\rangle\rangle,$$

al hacer el cambio de variable  $t_1 = T$  y  $t_2 = T - s$

$$\begin{aligned} |\hat{\rho}_{totI}(\vec{\lambda}, \vec{\chi}, t)\rangle\rangle &= \left( \mathbf{1} + \epsilon \int_0^t \check{\mathcal{L}}'_\lambda(T) dT + \epsilon^2 \int_0^t dT \int_0^T ds \check{\mathcal{L}}'_\lambda(T) \check{\mathcal{L}}'_\lambda(T - s) \right) |\hat{\rho}_{tot}(0)\rangle\rangle \\ &= \check{\mathcal{W}}(\vec{\lambda}, \vec{\chi}, t) |\hat{\rho}_{tot}(0)\rangle\rangle \\ &= [\check{\mathcal{W}}_0(\vec{\lambda}, \vec{\chi}, t) + \epsilon \check{\mathcal{W}}_1(\vec{\lambda}, \vec{\chi}, t) + \epsilon^2 \check{\mathcal{W}}_2(\vec{\lambda}, \vec{\chi}, t)] |\hat{\rho}_{tot}(0)\rangle\rangle, \end{aligned}$$

con los superoperadores definidos por

$$\begin{aligned} \check{\mathcal{W}}_0(\vec{\lambda}, \vec{\chi}, t) &= \mathbf{1} \\ \check{\mathcal{W}}_1(\vec{\lambda}, \vec{\chi}, t) &= \int_0^t dT \check{\mathcal{L}}'_\lambda(T) \\ \check{\mathcal{W}}_2(\vec{\lambda}, \vec{\chi}, t) &= \int_0^t dT \int_0^T ds \check{\mathcal{L}}'_\lambda(T) \check{\mathcal{L}}'_\lambda(T - s). \end{aligned}$$

Tomando hasta segundo orden la inversa del superoperador  $\check{\mathcal{W}}$

$$\check{\mathcal{W}}^{-1}(\vec{\lambda}, \vec{\chi}, t) = \check{\mathcal{W}}_0(\vec{\lambda}, \vec{\chi}, t) - \epsilon \check{\mathcal{W}}_1(\vec{\lambda}, \vec{\chi}, t) + \epsilon^2 [\check{\mathcal{W}}_1^2(\vec{\lambda}, \vec{\chi}, t) - \check{\mathcal{W}}_2(\vec{\lambda}, \vec{\chi}, t)], \quad (\text{A.2})$$

se cumple la propiedad

$$\dot{\check{\mathcal{W}}}(\vec{\lambda}, \vec{\chi}, t) \check{\mathcal{A}} \check{\mathcal{W}}^{-1}(\vec{\lambda}, \vec{\chi}, t) = \epsilon \dot{\check{\mathcal{W}}}_1(\vec{\lambda}, \vec{\chi}, t) \check{\mathcal{A}} + \epsilon^2 [\dot{\check{\mathcal{W}}}_2(\vec{\lambda}, \vec{\chi}, t) \check{\mathcal{A}} - \dot{\check{\mathcal{W}}}_1(\vec{\lambda}, \vec{\chi}, t) \check{\mathcal{A}} \check{\mathcal{W}}_1(\vec{\lambda}, \vec{\chi}, t)]. \quad (\text{A.3})$$

Para encontrar la matriz densidad generalizada se quiere rescatar la parte relevante de la matriz densidad total, es decir, trazar los grados de libertad del reservorio, por ende el proyector que se usará es

$$\check{\mathcal{P}} = \sum_r |\rho_R^{eq}\rangle\rangle \langle\langle rr|,$$

en donde  $\otimes_\alpha \hat{\tau}_\alpha \rightarrow |\hat{\rho}_R^{eq}\rangle\rangle$  es el vector en el espacio de Liouville que representa el equilibrio del reservorio. Al aplicar esto a la matriz densidad total

$$\check{\mathcal{P}} |\hat{\rho}(\vec{\lambda}, \vec{\chi}, t)\rangle\rangle = |\hat{\rho}_S(\vec{\lambda}, \vec{\chi}, t)\rangle\rangle \otimes |\hat{\rho}_R^{eq}\rangle\rangle,$$

la evolución de la matriz densidad generalizada usando los operadores Nakajima-Zwanzig se vuelve

$$\check{\mathcal{P}}|\hat{\rho}_{totI}(\vec{\lambda}, \vec{\chi}, t)\rangle\rangle = \check{\mathcal{P}}\check{\mathcal{W}}(t)(\check{\mathcal{P}} + \check{\mathcal{Q}})|\hat{\rho}_{tot}(0)\rangle\rangle \quad (\text{A.4})$$

$$\check{\mathcal{Q}}|\hat{\rho}_{totI}(\vec{\lambda}, \vec{\chi}, t)\rangle\rangle = \check{\mathcal{Q}}\check{\mathcal{W}}(t)(\check{\mathcal{P}} + \check{\mathcal{Q}})|\hat{\rho}_{tot}(0)\rangle\rangle. \quad (\text{A.5})$$

Dos indicaciones son importantes para seguir. Primero, debido a que se asume que la condición inicial del reservorio es diagonal se tendrá que  $\check{\mathcal{Q}}|\hat{\rho}_{tot}(0)\rangle\rangle = 0$ . Segundo que  $|\hat{\rho}_{tot}(0)\rangle\rangle = \check{\mathcal{W}}^{-1}(\vec{\lambda}, \vec{\chi}, t)|\hat{\rho}_{tot}(\vec{\lambda}, \vec{\chi}, t)\rangle\rangle$  y

$$\begin{aligned} |\hat{\rho}_{totI}(0)\rangle\rangle &= (\check{\mathcal{P}} + \check{\mathcal{Q}})\check{\mathcal{W}}^{-1}(\vec{\lambda}, \vec{\chi}, t)(\check{\mathcal{P}} + \check{\mathcal{Q}})|\hat{\rho}_{totI}(\vec{\lambda}, \vec{\chi}, t)\rangle\rangle \\ &= \check{\mathcal{P}}\check{\mathcal{W}}^{-1}(\vec{\lambda}, \vec{\chi}, t)(\check{\mathcal{P}} + \check{\mathcal{Q}})|\hat{\rho}_{totI}(\vec{\lambda}, \vec{\chi}, t)\rangle\rangle. \end{aligned}$$

Al derivar temporalmente las ecuaciones A.4 y A.5

$$\begin{aligned} \check{\mathcal{P}}|\dot{\hat{\rho}}_{totI}(\vec{\lambda}, \vec{\chi}, t)\rangle\rangle &= \check{\mathcal{P}}\dot{\check{\mathcal{W}}}(\vec{\lambda}, \vec{\chi}, t)\check{\mathcal{P}}\check{\mathcal{W}}^{-1}(\vec{\lambda}, \vec{\chi}, t)\check{\mathcal{P}}|\hat{\rho}_{totI}(\vec{\lambda}, \vec{\chi}, t)\rangle\rangle \\ &= \check{\mathcal{P}}\dot{\check{\mathcal{W}}}(\vec{\lambda}, \vec{\chi}, t)\check{\mathcal{P}}\check{\mathcal{W}}^{-1}(\vec{\lambda}, \vec{\chi}, t)\check{\mathcal{Q}}|\hat{\rho}_{totI}(\vec{\lambda}, \vec{\chi}, t)\rangle\rangle \end{aligned}$$

$$\begin{aligned} \check{\mathcal{Q}}|\dot{\hat{\rho}}_{totI}(\vec{\lambda}, \vec{\chi}, t)\rangle\rangle &= \check{\mathcal{Q}}\dot{\check{\mathcal{W}}}(\vec{\lambda}, \vec{\chi}, t)\check{\mathcal{P}}\check{\mathcal{W}}^{-1}(\vec{\lambda}, \vec{\chi}, t)\check{\mathcal{P}}|\hat{\rho}_{totI}(\vec{\lambda}, \vec{\chi}, t)\rangle\rangle \\ &= \check{\mathcal{Q}}\dot{\check{\mathcal{W}}}(\vec{\lambda}, \vec{\chi}, t)\check{\mathcal{P}}\check{\mathcal{W}}^{-1}(\vec{\lambda}, \vec{\chi}, t)\check{\mathcal{Q}}|\hat{\rho}_{totI}(\vec{\lambda}, \vec{\chi}, t)\rangle\rangle, \end{aligned}$$

estas ecuaciones son exactas. Para utilizar la suposición de acoplamiento débil, se partirá usando la relación A.3, así

$$\begin{aligned} \check{\mathcal{P}}\dot{\check{\mathcal{W}}}(\vec{\lambda}, \vec{\chi}, t)\check{\mathcal{P}}\check{\mathcal{W}}^{-1}(\vec{\lambda}, \vec{\chi}, t)\check{\mathcal{Q}} &= \epsilon\check{\mathcal{P}}\dot{\check{\mathcal{W}}}_1(\vec{\lambda}, \vec{\chi}, t)\check{\mathcal{P}}\check{\mathcal{Q}} \\ &\quad + \epsilon^2\check{\mathcal{P}}\dot{\check{\mathcal{W}}}_2(\vec{\lambda}, \vec{\chi}, t)\check{\mathcal{P}}\check{\mathcal{Q}} \\ &\quad - \epsilon^2\check{\mathcal{P}}\dot{\check{\mathcal{W}}}_1(\vec{\lambda}, \vec{\chi}, t)\check{\mathcal{P}}\check{\mathcal{W}}_1(\vec{\lambda}, \vec{\chi}, t)\check{\mathcal{Q}}, \end{aligned}$$

el primer y segundo término se hacen cero debido a que  $\check{\mathcal{P}}\check{\mathcal{Q}} = 0$ , por otro lado

$$\check{\mathcal{P}}\dot{\check{\mathcal{W}}}_1(\vec{\lambda}, \vec{\chi}, t)\check{\mathcal{P}} = \sum_{r, r'} |\hat{\rho}_R^{eq}\rangle\rangle \langle\langle rr|\check{\mathcal{L}}'_\lambda(t)|\hat{\rho}_R^{eq}\rangle\rangle \langle\langle r'r'|,$$

en donde el término  $\langle\langle rr|\check{\mathcal{L}}'_\lambda(t)|\hat{\rho}_R^{eq}\rangle\rangle$  equivale a

$$\langle\langle rr|\check{\mathcal{L}}'_\lambda(t)|\hat{\rho}_R^{eq}\rangle\rangle = \text{Tr}_B\{\hat{\rho}_R^{eq}\hat{V}_\lambda(t)\} - \text{Tr}_B\{\hat{V}_{-\lambda}(t)\hat{\rho}_R^{eq}\}. \quad (\text{A.6})$$

Debido a que  $\hat{\rho}_R^{eq}$  conmuta con  $\hat{H}_R$  tendremos que el estado de equilibrio conmuta con  $\hat{A}(\lambda, \chi)$ , por lo tanto se anula A.6. Y el término restante queda como

$$\begin{aligned}
\check{\mathcal{P}}\dot{\check{\mathcal{W}}}(\vec{\lambda}, \vec{\chi}, t)\check{\mathcal{P}}\check{\mathcal{W}}^{-1}(\vec{\lambda}, \vec{\chi}, t)\check{\mathcal{P}} &= \epsilon\check{\mathcal{P}}\dot{\check{\mathcal{W}}}_1(\vec{\lambda}, \vec{\chi}, t)\check{\mathcal{P}} \\
&+ \epsilon^2\check{\mathcal{P}}\dot{\check{\mathcal{W}}}_2(\vec{\lambda}, \vec{\chi}, t)\check{\mathcal{P}} \\
&- \epsilon^2\check{\mathcal{P}}\dot{\check{\mathcal{W}}}_1(\vec{\lambda}, \vec{\chi}, t)\check{\mathcal{P}}\check{\mathcal{W}}_1(\vec{\lambda}, \vec{\chi}, t)\check{\mathcal{P}}.
\end{aligned}$$

De manera explícita esto es

$$\check{\mathcal{P}}\dot{\check{\mathcal{W}}}(\vec{\lambda}, \vec{\chi}, t)\check{\mathcal{P}}\check{\mathcal{W}}^{-1}(\vec{\lambda}, \vec{\chi}, t)\check{\mathcal{P}} = \epsilon^2\check{\mathcal{P}} \int_0^t ds \check{\mathcal{L}}'_\lambda(t)\check{\mathcal{L}}'_\lambda(t-s)\check{\mathcal{P}},$$

aplicando  $\check{\mathcal{P}}|\dot{\hat{\rho}}_{totI}(\vec{\lambda}, \vec{\chi}, t)\rangle\rangle = |\dot{\hat{\rho}}_{IS}(\vec{\lambda}, \vec{\chi}, t)\rangle\rangle \otimes |\hat{\rho}_R^{eq}\rangle\rangle$  y multiplicando a la izquierda por  $\sum_r \langle\langle rr|$  para eliminar los grados de libertad del reservorio

$$\dot{\hat{\rho}}_{IS}(\vec{\lambda}, \vec{\chi}, t) = \epsilon^2 \sum_r \langle\langle rr| \int_0^t ds \check{\mathcal{L}}'_\lambda(t)\check{\mathcal{L}}'_\lambda(t-s)|\hat{\rho}_R^{eq}\rangle\rangle \hat{\rho}_{IS}(\vec{\lambda}, \vec{\chi}, t),$$

de aquí se podrán obtener las funciones correlación calculando el producto

$$\sum_r \langle\langle rr| \check{\mathcal{L}}'_\lambda(t)\check{\mathcal{L}}'_\lambda(t-s)|\hat{\rho}_R^{eq}\rangle\rangle \hat{\rho}_{IS}(\vec{\lambda}, \vec{\chi}, t) = \text{Tr}_B\{\check{\mathcal{L}}'_\lambda(t)\check{\mathcal{L}}'_\lambda(t-s)\hat{\rho}_R^{eq}\hat{\rho}_{IS}(\vec{\lambda}, \vec{\chi}, t)\},$$

desarrollando paso por paso

$$\check{\mathcal{L}}'_\lambda(t-s)\hat{\rho}_{IS}(\vec{\lambda}, \vec{\chi}, t)\hat{\rho}_R^{eq} = -i[\hat{V}_\lambda(t-s)\hat{\rho}_{IS}(\vec{\lambda}, \vec{\chi}, t)\hat{\rho}_R^{eq} - \hat{\rho}_{IS}(\vec{\lambda}, \vec{\chi}, t)\hat{\rho}_R^{eq}\hat{V}_{-\lambda}(t-s)],$$

y así de manera explícita

$$\begin{aligned}
\check{\mathcal{L}}'_\lambda(t)\check{\mathcal{L}}'_\lambda(t-s)\hat{\rho}_{IS}(\vec{\lambda}, \vec{\chi}, t)\hat{\rho}_R^{eq} &= -\hat{V}_\lambda(t)\hat{V}_\lambda(t-s)\hat{\rho}_{IS}(\vec{\lambda}, \vec{\chi}, t)\hat{\rho}_R^{eq} + \hat{V}_\lambda(t)\hat{\rho}_{IS}(\vec{\lambda}, \vec{\chi}, t)\hat{\rho}_R^{eq}\hat{V}_{-\lambda}(t-s) \\
&+ \hat{V}_\lambda(t-s)\hat{\rho}_{IS}(\vec{\lambda}, \vec{\chi}, t)\hat{\rho}_R^{eq}\hat{V}_{-\lambda}(t) - \hat{\rho}_{IS}(\vec{\lambda}, \vec{\chi}, t)\hat{\rho}_R^{eq}\hat{V}_{-\lambda}(t-s)\hat{V}_{-\lambda}(t).
\end{aligned}$$

Finalmente, aplicando la traza en el reservorio a esta ecuación se obtiene 3.8.



### A.3. Funciones correlación

Para escribir la ecuación maestra generalizada a través de las funciones correlación, se partirá de la expresión

$$\begin{aligned} & \text{Tr}_B\{\hat{V}_\lambda(t)\hat{V}_\lambda(t-s)\hat{\rho}_{IS}(\vec{\lambda}, \vec{\chi}, t)\hat{\rho}_R^{eq}\} = \\ & - \sum_{\alpha, k, k'; j, j'} e^{i(\omega_j - \omega_{j'})t} e^{i\omega_{j'}s} \hat{S}_{\alpha k; j}^\dagger \hat{S}_{\alpha, k'; j'} \hat{\rho}_{IS}(\vec{\lambda}, \vec{\chi}, t) \text{Tr}_B\{e^{-(i/2)\hat{A}(\lambda, \chi)} \hat{V}_\lambda(t)\hat{V}_\lambda(t-s) e^{(i/2)\hat{A}(\lambda, \chi)} \hat{\rho}_R^{eq}\}, \end{aligned}$$

suponiendo que las funciones de correlación son homogéneas, esto se vuelve

$$\begin{aligned} & \text{Tr}_B\{\hat{V}_\lambda(t)\hat{V}_\lambda(t-s)\hat{\rho}_{IS}(\vec{\lambda}, \vec{\chi}, t)\hat{\rho}_R^{eq}\} = \\ & - \sum_{\alpha, k, k'; j, j'} e^{i(\omega_j - \omega_{j'})t} e^{i\omega_{j'}s} \hat{S}_{\alpha k; j}^\dagger \hat{S}_{\alpha, k'; j'} \hat{\rho}_{IS}(\vec{\lambda}, \vec{\chi}, t) \text{Tr}_B\{\hat{B}_{\alpha, k}^\dagger(s) \hat{B}_{\alpha, k} \hat{\tau}_\alpha\} \\ & \text{Tr}_B\{\hat{\rho}_{IS}(\vec{\lambda}, \vec{\chi}, t)\hat{\rho}_R^{eq} \hat{V}_{-\lambda}(t-s) \hat{V}_{-\lambda}(t)\} = \\ & - \sum_{\alpha, k, k'; j, j'} e^{i(\omega_j - \omega_{j'})t} e^{-i\omega_{j'}s} \hat{\rho}_{IS}(\vec{\lambda}, \vec{\chi}, t) \hat{S}_{\alpha k; j}^\dagger \hat{S}_{\alpha, k'; j'} \text{Tr}_B\{\hat{B}_{\alpha, k}^\dagger(s) \hat{B}_{\alpha, k} \hat{\tau}_\alpha\}. \end{aligned}$$

Analizaremos el término  $\text{Tr}_B\{\hat{V}_\lambda(t)\hat{\rho}_{IS}(\vec{\lambda}, \vec{\chi}, t)\hat{\rho}_R^{eq} \hat{V}_{-\lambda}(t-s)\}$  para ello se utilizará la relación de conmutación  $[\hat{B}_{\alpha, k}, \hat{N}_\alpha] = n_{\alpha, k} \hat{B}_{\alpha, k}$  que conlleva que

$$e^{C\hat{N}_\alpha} \hat{B}_{\alpha, k} e^{-C\hat{N}_\alpha} = e^{-Cn_{\alpha, k}} \hat{B}_{\alpha, k},$$

con  $C$  una constante. Se podrá utilizar esto para obtener

$$\begin{aligned} & \text{Tr}_B\{\hat{V}_\lambda(t)\hat{\rho}_{IS}(\vec{\lambda}, \vec{\chi}, t)\hat{\rho}_R^{eq} \hat{V}_{-\lambda}(t-s)\} \\ & = \sum_{\alpha, k, k'; j, j'} e^{i(\omega_j - \omega_{j'})t} e^{-i\omega_{j'}s} \hat{S}_{\alpha, k'; j'} \hat{\rho}_{IS}(\vec{\lambda}, \vec{\chi}, t) \hat{S}_{\alpha, k; j}^\dagger \text{Tr}_B\{e^{-i(\hat{A}(\lambda, \chi))} \hat{B}_{\alpha, k}(t) e^{i\hat{A}(\lambda, \chi)} \hat{\rho}_R^{eq} \hat{B}_{\alpha, k}^\dagger(t-s)\}. \end{aligned}$$

Por último, se puede notar que

$$e^{-i(\hat{A}(\lambda, \chi))} \hat{B}_{\alpha, k}(t) e^{i\hat{A}(\lambda, \chi)} = e^{-i\mu_\alpha n_{\alpha, k}(\lambda_\alpha - \chi_\alpha)} \hat{B}_{\alpha, k}(t + \lambda_\alpha),$$

con esto se tiene

$$\begin{aligned} & \text{Tr}_B\{\hat{V}_\lambda(t)\hat{\rho}_{IS}(\vec{\lambda}, \vec{\chi}, t)\hat{\rho}_R^{eq} \hat{V}_{-\lambda}(t-s)\} = \\ & \sum_{\alpha, k, k'; j, j'} e^{i(\omega_j - \omega_{j'})t} e^{-i\omega_{j'}s} \hat{S}_{\alpha, k'; j'} \hat{\rho}_{IS}(\vec{\lambda}, \vec{\chi}, t) \hat{S}_{\alpha, k; j}^\dagger C_{k, k'}^\alpha(-s - \lambda_\alpha) e^{-i\mu_\alpha n_{\alpha, k}(\lambda_\alpha - \chi_\alpha)} \\ & \text{Tr}_B\{\hat{V}_\lambda(t-s)\hat{\rho}_{IS}(\vec{\lambda}, \vec{\chi}, t)\hat{\rho}_R^{eq} \hat{V}_{-\lambda}(t)\} = \\ & \sum_{\alpha, k, k'; j, j'} e^{i(\omega_j - \omega_{j'})t} e^{i\omega_{j'}s} \hat{S}_{\alpha, k'; j'} \hat{\rho}_{IS}(\vec{\lambda}, \vec{\chi}, t) \hat{S}_{\alpha, k; j}^\dagger C_{k, k'}^\alpha(s - \lambda_\alpha) e^{-i\mu_\alpha n_{\alpha, k}(\lambda_\alpha - \chi_\alpha)}. \end{aligned}$$

Reemplazando estos términos en 3.8 se obtiene la ecuación maestra generalizada.

#### A.4. Ecuación de Lindblad generalizada

Desarrollando la ecuación 3.9 podremos escribir

$$\begin{aligned} \frac{d}{dt} \hat{\rho}_{IS}(\vec{\lambda}, \vec{\chi}, t) = & - \sum_{\alpha, k, k'; q} \int_0^\infty ds \left[ e^{i\omega_q s} C_{k, k'}^\alpha(s) \left( \sum_j e^{i\omega_j t} \hat{S}_{\alpha, k; j}^\dagger \right) \left( \sum_{j'} e^{-i\omega_{j'} t} \hat{S}_{\alpha, k'; j'} \right) \hat{\rho}_{IS}(\vec{\lambda}, \vec{\chi}, t) \right. \\ & + e^{-i\omega_q s} C_{k, k'}^\alpha(-s) \hat{\rho}_{IS}(\vec{\lambda}, \vec{\chi}, t) \left( \sum_j e^{i\omega_j t} \hat{S}_{\alpha, k; j}^\dagger \right) \left( \sum_{j'} e^{-i\omega_{j'} t} \hat{S}_{\alpha, k'; j'} \right) \\ & - e^{-i\mu_\alpha n_{\alpha, k}(\lambda_\alpha - \chi_\alpha)} (e^{i\omega_q s} C_{k, k'}^\alpha(s - \lambda_\alpha) + e^{-i\omega_q s} C_{k, k'}^\alpha(-s - \lambda_\alpha)) \\ & \left. \times \left( \sum_{j'} e^{-i\omega_{j'} t} \hat{S}_{\alpha, k'; j'} \right) \hat{\rho}_{IS}(\vec{\lambda}, \vec{\chi}, t) \left( \sum_j e^{i\omega_j t} \hat{S}_{\alpha, k; j}^\dagger \right) \right], \end{aligned}$$

tomando la condición que  $C_{k, k'}^\alpha \propto \delta_{k, k'}$

$$\begin{aligned} \frac{d}{dt} \hat{\rho}_{IS}(\vec{\lambda}, \vec{\chi}, t) = & - \sum_{\alpha, k; q} \int_0^\infty ds \left[ e^{i\omega_q s} C_{k, k}^\alpha(s) \hat{S}_{\alpha, k; q}^\dagger(t) \hat{S}_{\alpha, k; q}(t) \hat{\rho}_{IS}(\vec{\lambda}, \vec{\chi}, t) + e^{-i\omega_q s} C_{k, k}^\alpha(-s) \hat{\rho}_{IS}(\vec{\lambda}, \vec{\chi}, t) \hat{S}_{\alpha, k; q}^\dagger(t) \hat{S}_{\alpha, k; q}(t) \right. \\ & \left. - e^{-i\mu_\alpha n_{\alpha, k}(\lambda_\alpha - \chi_\alpha)} (e^{i\omega_q s} C_{k, k}^\alpha(s - \lambda_\alpha) + e^{-i\omega_q s} C_{k, k}^\alpha(-s - \lambda_\alpha)) \hat{S}_{\alpha, k; q}(t) \hat{\rho}_{IS}(\vec{\lambda}, \vec{\chi}, t) \hat{S}_{\alpha, k; q}^\dagger(t) \right]. \end{aligned}$$

Usando la identidad

$$\begin{aligned} \int_0^\infty ds e^{i\omega_q s} C_{k, k}^\alpha(s) &= \int_{-\infty}^\infty ds e^{i\omega_q s} (1 + \text{sgn}(s)) C_{k, k}^\alpha(s) / 2 \\ &= \int_{-\infty}^\infty ds e^{i\omega_q s} C_{k, k}^\alpha(s) / 2 + i \left( -\frac{i}{2} \right) \int_{-\infty}^\infty ds e^{i\omega_q s} \text{sgn}(s) C_{k, k}^\alpha(s) \\ &= \frac{1}{2} \Gamma_{k, k}^\alpha(\omega_q) + i \Delta_k^\alpha(\omega_q), \end{aligned}$$

y usando que  $\int_0^\infty ds e^{i\omega_q s} C_{k, k}^\alpha(s - \lambda_\alpha) = e^{i\lambda_\alpha \omega_q} \int_0^\infty e^{i(s - \lambda_\alpha) \omega_q} C_{k, k}^\alpha(s - \lambda_\alpha)$ , nos queda finalmente

$$\begin{aligned} \frac{d}{dt} \hat{\rho}_{IS}(\vec{\lambda}, \vec{\chi}, t) = & -i \sum_{\alpha, k; q} \Delta_{k, k}^\alpha(\omega_q) \left[ \hat{S}_{\alpha, k; q}^\dagger(t) \hat{S}_{\alpha, k; q}(t) \hat{\rho}_{IS}(\vec{\lambda}, \vec{\chi}, t) - \hat{\rho}_{IS}(\vec{\lambda}, \vec{\chi}, t) \hat{S}_{\alpha, k; q}^\dagger(t) \hat{S}_{\alpha, k; q}(t) \right] \\ & + \sum_{\alpha, k; q} \Gamma_{k, k}^\alpha(\omega_q) \left[ e^{i\lambda_\alpha \omega_q + i(\chi_\alpha - \lambda_\alpha) \mu_\alpha n_{\alpha, k}} \hat{S}_{\alpha, k; q}(t) \hat{\rho}_{IS}(\vec{\lambda}, \vec{\chi}, t) \hat{S}_{\alpha, k; q}^\dagger(t) - \frac{1}{2} \{ \hat{S}_{\alpha, k; q}^\dagger(t) \hat{S}_{\alpha, k; q}(t), \hat{\rho}_{IS}(\vec{\lambda}, \vec{\chi}, t) \} \right]. \end{aligned}$$

Que es la ecuación que se quiere demostrar.

## A.5. Condición KMS y funciones correlación espectral

Definiremos una función correlación auxiliar de la forma

$$\begin{aligned}
C_{kk}^{\alpha N}(s) &= \langle \hat{B}_{\alpha,k}^\dagger(s) \hat{B}_{\alpha,k} \rangle_N \\
&= \text{Tr} \{ e^{is(\hat{H}_\alpha - \mu_\alpha \hat{N}_\alpha)} \hat{B}_{\alpha,k}^\dagger e^{-is(\hat{H}_\alpha - \mu_\alpha \hat{N}_\alpha)} \hat{B}_{\alpha,k} \hat{\tau}_\alpha \} \\
&= \frac{1}{Z} \text{Tr} \{ \hat{B}_{\alpha,k} e^{-\beta_\alpha(\hat{H}_\alpha - \mu_\alpha \hat{N}_\alpha)} e^{is(\hat{H}_\alpha - \mu_\alpha \hat{N}_\alpha)} \hat{B}_{\alpha,k}^\dagger e^{-is(\hat{H}_\alpha - \mu_\alpha \hat{N}_\alpha)} \} \\
&= \text{Tr} \{ \hat{B}_{\alpha,k} e^{i(s+i\beta_\alpha)(\hat{H}_\alpha - \mu_\alpha \hat{N}_\alpha)} \hat{B}_{\alpha,k}^\dagger e^{-i(s+i\beta_\alpha)(\hat{H}_\alpha - \mu_\alpha \hat{N}_\alpha)} \hat{\tau}_\alpha \} \\
&= \langle \hat{B}_{\alpha,k} \hat{B}_{\alpha,k}^\dagger(s+i\beta_\alpha) \rangle_N,
\end{aligned}$$

además, se puede notar que

$$\begin{aligned}
C_{kk}^{\alpha N}(s) &= \text{Tr} \{ e^{-is\mu_\alpha \hat{N}_\alpha} \hat{B}_{\alpha,k}^\dagger(s) e^{is\mu_\alpha \hat{N}_\alpha} \hat{B}_{\alpha,k} e^{-is\mu_\alpha \hat{N}_\alpha} \hat{\tau}_\alpha \} \\
&= \text{Tr} \{ \hat{B}_{\alpha,k}^\dagger(s) e^{is\mu_\alpha \hat{N}_\alpha} \hat{B}_{\alpha,k} e^{-is\mu_\alpha \hat{N}_\alpha} \hat{\tau}_\alpha \} \\
&= e^{-i\mu_\alpha n_{\alpha,k} s} C_{kk}^\alpha(s).
\end{aligned}$$

Ahora podremos estudiar como se comportan las funciones correlación espectral

$$\begin{aligned}
\Gamma_{k,k}^\alpha(\omega) &= \int_{-\infty}^{\infty} ds e^{i\mu_\alpha n_{\alpha,k} s} e^{i\omega s} C_{k,k}^{\alpha N}(s) \\
&= \int_{-\infty}^{\infty} ds e^{i\mu_\alpha n_{\alpha,k} s} e^{i\omega s} \langle \hat{B}_{\alpha,k} \hat{B}_{\alpha,k}^\dagger(s+i\beta_\alpha) \rangle_N \\
&= \int_{-\infty}^{\infty} ds e^{-i(i\beta_\alpha \mu_\alpha n_{\alpha,k})} e^{i\omega s} \langle \hat{B}_{\alpha,k} \hat{B}_{\alpha,k}^\dagger(s+i\beta_\alpha) \rangle \\
&= e^{\beta_\alpha \mu_\alpha n_{\alpha,k}} e^{\beta\omega} \int_{-\infty}^{\infty} ds e^{i\omega(s+i\beta_\alpha)} \langle \hat{B}_{\alpha,k} \hat{B}_{\alpha,k}^\dagger(s+i\beta_\alpha) \rangle \\
&= e^{\beta_\alpha(\omega - \mu_\alpha n_{\alpha,k})} \Gamma_{k,k}^\alpha(-\omega).
\end{aligned}$$

Esta condición es importante, ya que permite que se cumpla la condición de balance detallado local.

## A.6. Redefinición leyes de la termodinámica

Para obtener la ley cero calcularemos  $\mathcal{D}[\hat{S}_{\alpha,k;q}]e^{-\beta_\alpha(\hat{H}_{TD}-\mu_\alpha\hat{N}_S)}$  y  $\mathcal{D}[\hat{S}_{\alpha,k;q}^\dagger]e^{-\beta_\alpha(\hat{H}_{TD}-\mu_\alpha\hat{N}_S)}$ , considerando la relación de conmutación

$$\begin{aligned} [\hat{S}_{\alpha,k;q}, (\hat{H}_{TD} - \mu_\alpha\hat{N}_S)] &= (\omega_q - \mu_\alpha n_{\alpha,k})\hat{S}_{\alpha,k;q} \\ [\hat{S}_{\alpha,k;q}^\dagger, (\hat{H}_{TD} - \mu_\alpha\hat{N}_S)] &= -(\omega_q - \mu_\alpha n_{\alpha,k})\hat{S}_{\alpha,k;q}^\dagger, \end{aligned}$$

por ende se tendrá

$$\begin{aligned} e^{\beta_\alpha(\hat{H}_{TD}-\mu_\alpha\hat{N}_S)}\hat{S}_{\alpha,k;q}e^{-\beta_\alpha(\hat{H}_{TD}-\mu_\alpha\hat{N}_S)} &= \hat{S}_{\alpha,k;q}e^{-\beta_\alpha(\omega_q-\mu_\alpha n_{\alpha,k})} \\ e^{\beta_\alpha(\hat{H}_{TD}-\mu_\alpha\hat{N}_S)}\hat{S}_{\alpha,k;q}^\dagger e^{-\beta_\alpha(\hat{H}_{TD}-\mu_\alpha\hat{N}_S)} &= \hat{S}_{\alpha,k;q}^\dagger e^{\beta_\alpha(\omega_q-\mu_\alpha n_{\alpha,k})}. \end{aligned}$$

Podremos aplicar esto en el disipador

$$\begin{aligned} \mathcal{D}[\hat{S}_{\alpha,k;q}]e^{-\beta_\alpha(\hat{H}_{TD}-\mu_\alpha\hat{N}_S)} &= e^{-\beta_\alpha(\hat{H}_{TD}-\mu_\alpha\hat{N}_S)}\hat{S}_{\alpha,k;q}\hat{S}_{\alpha,k;q}^\dagger e^{-\beta_\alpha(\omega_q-\mu_\alpha n_{\alpha,k})} - e^{-\beta_\alpha(\hat{H}_{TD}-\mu_\alpha\hat{N}_S)}\hat{S}_{\alpha,k;q}^\dagger\hat{S}_{\alpha,k;q} \\ \mathcal{D}[\hat{S}_{\alpha,k;q}^\dagger]e^{-\beta_\alpha(\hat{H}_{TD}-\mu_\alpha\hat{N}_S)} &= e^{-\beta_\alpha(\hat{H}_{TD}-\mu_\alpha\hat{N}_S)}\hat{S}_{\alpha,k;q}^\dagger\hat{S}_{\alpha,k;q}e^{\beta_\alpha(\omega_q-\mu_\alpha n_{\alpha,k})} - e^{-\beta_\alpha(\hat{H}_{TD}-\mu_\alpha\hat{N}_S)}\hat{S}_{\alpha,k;q}^\dagger\hat{S}_{\alpha,k;q}^\dagger, \end{aligned}$$

finalmente al sumar los dos disipadores en el superoperador  $\mathcal{L}_\alpha$  se demuestra que

$$\mathcal{L}_\alpha e^{-\beta_\alpha(\hat{H}_{TD}-\mu_\alpha\hat{N}_S)} \propto \mathcal{D}[\hat{S}_{\alpha,k;q}]e^{-\beta_\alpha(\hat{H}_{TD}-\mu_\alpha\hat{N}_S)} + e^{-\beta_\alpha(\omega_q-\mu_\alpha n_{\alpha,k})}\mathcal{D}[\hat{S}_{\alpha,k;q}^\dagger]e^{-\beta_\alpha(\hat{H}_{TD}-\mu_\alpha\hat{N}_S)} = 0.$$

Con lo que se prueba la ley cero.

## A.7. Segunda Ley

Para desarrollar el cálculo de la segunda Ley, se partirá de

$$\begin{aligned}
-\frac{d}{dt}\text{Tr}\{\hat{\rho}_S(t) \ln \hat{\rho}_S(t)\} &= -\text{Tr}\left\{\frac{d}{dt}\hat{\rho}_S(t) \ln \hat{\rho}_S(t)\right\} - \frac{d}{dt}\text{Tr}\{\hat{\rho}_S(t)\} \\
&= -i\text{Tr}\{[\hat{H}_S + \hat{H}_{LS}, \hat{\rho}_S(t)] \ln \hat{\rho}_S(t)\} - \sum_{\alpha} \text{Tr}\{(\mathcal{L}_{\alpha}\hat{\rho}_S(t)) \ln \hat{\rho}_S(t)\} \\
&= -\text{Tr}\{(\mathcal{L}_{\alpha}\hat{\rho}_S(t)) \ln \hat{\rho}_S(t)\},
\end{aligned}$$

por otro lado

$$\begin{aligned}
J_{\alpha} &= \text{Tr}\{(\hat{H}_{TD} - \mu_{\alpha}\hat{N}_s)\mathcal{L}_{\alpha}(\hat{\rho}_S(t))\} \\
&= -\frac{1}{\beta_{\alpha}}\text{Tr}\{(\mathcal{L}_{\alpha}\hat{\rho}_S(t)) \ln \hat{\rho}_G(\beta_{\alpha}, \mu_{\alpha})\} + \frac{\text{Tr}\{e^{-\beta_{\alpha}(\hat{H}_{TD} - \mu_{\alpha}\hat{N}_s)}\}}{\beta_{\alpha}}\text{Tr}\{(\mathcal{L}_{\alpha}\hat{\rho}_S(t))\} \\
&= -\frac{1}{\beta_{\alpha}}\text{Tr}\{(\mathcal{L}_{\alpha}\hat{\rho}_S(t)) \ln \hat{\rho}_G(\beta_{\alpha}, \mu_{\alpha})\},
\end{aligned}$$

con lo que finalmente, redefinimos la segunda ley de la termodinámica como

$$\dot{\sigma} = -\sum_{\alpha} \text{Tr}\{(\mathcal{L}_{\alpha}\hat{\rho}_S(t))[\ln \hat{\rho}_S(t) - \ln \hat{\rho}_G(\beta_{\alpha}, \mu_{\alpha})]\} \geq 0.$$

Así se obtiene que la razón de producción de entropía es mayor igual a cero.

## Anexo B. Cálculos realizados sección 4

### B.1. Producción de entropía y información

Partiendo de la definición de la entropía conjunta

$$S^{XY} = - \sum_{x,y} p(x,y) \ln p(x,y),$$

al derivar y utilizar  $J_{x,x'}^{y,y'} = -J_{x',x}^{y',y}$  se obtiene

$$\begin{aligned} \partial_t S^{XY} &= - \sum_{x,y} \dot{p}(x,y) \ln p(x,y) - \sum_{x,y} \dot{p}(x,y) \\ &= - \sum_{x,x';y,y'} J_{x,x'}^{y,y'} \ln p(x,y) \\ &= \sum_{x \geq x'; y \geq y'} J_{x,x'}^{y,y'} \ln \frac{p(x',y')}{p(x,y)} \\ &= \sum_{x \geq x'; y \geq y'} J_{x,x'}^{y,y'} \ln \frac{W_{x,x'}^{y,y'} p(x',y')}{W_{x',x}^{y',y} p(x,y)} + \sum_{x \geq x'; y \geq y'} J_{x,x'}^{y,y'} \ln \frac{W_{x',x}^{y',y}}{W_{x,x'}^{y,y'}} \\ &= \dot{\sigma} - \dot{S}_r. \end{aligned}$$

Para notar que la producción de entropía es mayor a cero, notemos que si  $J_{x,x'}^{y,y'} > 0$ , entonces  $W_{x,x'}^{y,y'} p(x',y') > W_{x',x}^{y',y} p(x,y)$  y por ende

$$J_{x,x'}^{y,y'} \ln \frac{W_{x,x'}^{y,y'} p(x',y')}{W_{x',x}^{y',y} p(x,y)} > 0,$$

sucede de manera similar si  $J_{x,x'}^{y,y'} < 0$ .

Para la derivada temporal de la información mutua

$$\partial_t I_{xy} = \sum_{x,y} \dot{p}(x,y) \ln \frac{p(x,y)}{p(x)p(y)} + \sum_{x,y} p(x)p(y) \frac{\partial}{\partial t} \left( \frac{p(x,y)}{p(x)p(y)} \right),$$

calculando la derivada

$$\begin{aligned} \frac{\partial}{\partial t} \left( \frac{p(x,y)}{p(x)p(y)} \right) &= \frac{\dot{p}(x,y)p(x)p(y) - (p(x)\dot{p}(y) + p(y)\dot{p}(x))p(x,y)}{(p(x)p(y))^2} \\ &= \frac{\dot{p}(x,y)}{p(x)p(y)} - \frac{\dot{p}(y)p(x,y)}{p(x)p(y)^2} - \frac{\dot{p}(x)p(x,y)}{p(x)^2p(y)}, \end{aligned}$$

tendremos que

$$\partial_t I_{xy} = \sum_{x,y} \dot{p}(x,y) \ln \frac{p(x,y)}{p(x)p(y)} + \sum_{x,y} \dot{p}(x,y) - \sum_{x,y} \dot{p}(y) \frac{p(x,y)}{p(y)} - \sum_{x,y} \dot{p}(x) \frac{p(x,y)}{p(x)}.$$

Utilizando de las probabilidades conjuntas  $\sum_y p(x, y) = p(x)$ ,  $\sum_x p(x, y) = p(y)$  y la conservación de la probabilidad

$$\begin{aligned}
\partial_t I_{xy} &= \sum_{x,y} \dot{p}(x, y) \ln \frac{p(x, y)}{p(x)p(y)} \\
&= \sum_{x,x';y,y'} J_{x,x'}^{y,y'} \ln \frac{p(x, y)}{p(x)p(y)} \\
&= \sum_{x,x';y} J_{x,x'}^y \ln \frac{p(x, y)}{p(x)p(y)} + \sum_{x;y,y'} J_x^{y,y'} \ln \frac{p(x, y)}{p(x)p(y)} \\
&= \sum_{x \geq x';y} J_{x,x'}^y \left[ \ln \frac{p(x, y)}{p(x)p(y)} - \ln \frac{p(x', y)}{p(x')p(y)} \right] \\
&\quad + \sum_{x;y \geq y'} J_x^{y,y'} \left[ \ln \frac{p(x, y)}{p(x)p(y)} - \ln \frac{p(x, y')}{p(x)p(y')} \right],
\end{aligned}$$

y del teorema de bayes  $p(x, y) = p(x)p(y|x)$ ,  $p(x, y) = p(y)p(x|y)$  se tendrá

$$\begin{aligned}
\partial_t I_{xy} &= \sum_{x \geq x';y} J_{x,x'}^y \ln \frac{p(y|x)}{p(y|x')} + \sum_{x;y \geq y'} J_x^{y,y'} \ln \frac{p(x|y)}{p(x|y')} \\
&= \dot{I}^X + \dot{I}^Y.
\end{aligned}$$



## Anexo C. Cálculos realizados seccion 5

### C.1. Funciones de correlación para un baño de fermiones libres

Para partir obteniendo las funciones correlación espectral, se partirá calculando

$$C_1^\alpha(s) = \text{Tr}[e^{is\hat{H}_\alpha} \hat{B}_{\alpha,1}^\dagger e^{-is\hat{H}_\alpha} \hat{B}_{\alpha,1} \hat{\tau}_\alpha] \quad C_{-1}^\alpha(s) = \text{Tr}[e^{is\hat{H}_\alpha} \hat{B}_{\alpha,-1}^\dagger e^{-is\hat{H}_\alpha} \hat{B}_{\alpha,-1} \hat{\tau}_\alpha],$$

tendremos que

$$C_1^\alpha(s) = \sum_{l,l'} t_{\alpha,l} t_{\alpha,l'} e^{i\epsilon_{\alpha,l}s} \langle \hat{c}_{\alpha,l}^\dagger \hat{c}_{\alpha,l'} \rangle \quad C_{-1}^\alpha(s) = \sum_{l,l'} t_{\alpha,l} t_{\alpha,l'} e^{-i\epsilon_{\alpha,l}s} \langle \hat{c}_{\alpha,l} \hat{c}_{\alpha,l'}^\dagger \rangle,$$

debido a que el reservorio está en equilibrio gran canónico, tendremos que el valor de expectación  $\langle \hat{c}_{\alpha,l}^\dagger \hat{c}_{\alpha,l} \rangle$  es la distribución de Fermi  $f_\alpha(\epsilon_{\alpha,l})$  y por ende

$$C_1^\alpha(s) = \sum_l t_{\alpha,l}^2 e^{i\epsilon_{\alpha,l}s} f_\alpha(\epsilon_{\alpha,l}) \quad C_{-1}^\alpha(s) = \sum_l t_{\alpha,l}^2 e^{-i\epsilon_{\alpha,l}s} [1 - f_\alpha(\epsilon_{\alpha,l})].$$

Definiendo la razón de tuneo correspondiente al baño  $\alpha$

$$\gamma_\alpha(\omega) = 2\pi \sum_l t_{\alpha,l}^2 \delta(\omega - \epsilon_{\alpha,l}),$$

podremos escribir de manera integral las funciones correlación usando la razón de tuneo

$$C_1^\alpha(s) = \frac{1}{2\pi} \int_{-\infty}^{\infty} d\omega e^{i\omega s} \gamma_\alpha(\omega) f_\alpha(\omega) \quad C_{-1}^\alpha(s) = \frac{1}{2\pi} \int_{-\infty}^{\infty} d\omega e^{-i\omega s} \gamma_\alpha(\omega) [1 - f_\alpha(\omega)],$$

así podemos encontrar las funciones correlación espectral usando la transformada de Fourier

$$\Gamma_1^\alpha(\omega) = \gamma_\alpha(-\omega) f_\alpha(-\omega) \quad \Gamma_{-1}^\alpha(\omega) = \gamma_\alpha(\omega) [1 - f_\alpha(\omega)].$$

Más adelante en el apéndice se profundizará en el aspecto Markoviano de la función correlación correspondiente a las funciones correlación espectral.

### C.2. Operadores de salto de sistema de 3 puntos cuánticos

Para poder obtener los operadores de salto, primero se buscará eliminar el término de acoplamiento en el Hamiltoniano del sistema, para ello se hará la transformación

$$\begin{aligned} \hat{d}_- &= \cos(\theta/2) \hat{d}_R - \sin(\theta/2) \hat{d}_L \\ \hat{d}_+ &= \sin(\theta/2) \hat{d}_R + \cos(\theta/2) \hat{d}_L, \end{aligned}$$

con  $\cos \theta = \Delta / \sqrt{\Delta^2 + g^2}$  y  $\Delta = (\epsilon_L - \epsilon_R)/2$ , además

$$\begin{aligned} \hat{d}_R &= \cos(\theta/2) \hat{d}_- + \sin(\theta/2) \hat{d}_+ \\ \hat{d}_L &= -\sin(\theta/2) \hat{d}_- + \cos(\theta/2) \hat{d}_+, \end{aligned}$$

bajo estas definiciones, notemos que se cumplen las relaciones de anticonmutación entre los operadores  $\hat{d}_+$  y  $\hat{d}_-$ . Por otro lado

$$\begin{aligned}\hat{d}_R^\dagger \hat{d}_R &= \cos^2(\theta/2) \hat{d}_-^\dagger \hat{d}_- + \sin^2(\theta/2) \hat{d}_+^\dagger \hat{d}_+ + \cos(\theta/2) \sin(\theta/2) [\hat{d}_+^\dagger \hat{d}_- + \hat{d}_-^\dagger \hat{d}_+] \\ \hat{d}_L^\dagger \hat{d}_L &= \sin^2(\theta/2) \hat{d}_-^\dagger \hat{d}_- + \cos^2(\theta/2) \hat{d}_+^\dagger \hat{d}_+ - \cos(\theta/2) \sin(\theta/2) [\hat{d}_+^\dagger \hat{d}_- + \hat{d}_-^\dagger \hat{d}_+],\end{aligned}$$

así se tendrá que  $\hat{n}_L + \hat{n}_R = \hat{n}_+ + \hat{n}_-$ . Usando esta relación y la cantidad definida por  $\bar{\epsilon} = (\epsilon_R + \epsilon_L)/2$

$$\epsilon_R \hat{n}_R + \epsilon_L \hat{n}_L = \bar{\epsilon}(\hat{n}_+ + \hat{n}_-) - \Delta \sin(\theta) [\hat{d}_+^\dagger \hat{d}_- + \hat{d}_-^\dagger \hat{d}_+] - \Delta \cos(\theta) [\hat{d}_-^\dagger \hat{d}_- - \hat{d}_+^\dagger \hat{d}_+]. \quad (\text{C.1})$$

Por otro lado

$$\hat{d}_R^\dagger \hat{d}_L = \cos^2(\theta/2) \hat{d}_+^\dagger \hat{d}_- - \sin^2(\theta/2) \hat{d}_-^\dagger \hat{d}_+ + \sin(\theta/2) \cos(\theta/2) [\hat{d}_+^\dagger \hat{d}_+ - \hat{d}_-^\dagger \hat{d}_-] \quad (\text{C.2})$$

$$\hat{d}_L^\dagger \hat{d}_R = \cos^2(\theta/2) \hat{d}_-^\dagger \hat{d}_+ - \sin^2(\theta/2) \hat{d}_+^\dagger \hat{d}_- + \sin(\theta/2) \cos(\theta/2) [\hat{d}_+^\dagger \hat{d}_+ - \hat{d}_-^\dagger \hat{d}_-], \quad (\text{C.3})$$

de la combinación de C.1, C.2 y C.3 obtenemos

$$\epsilon_R \hat{n}_R + \epsilon_L \hat{n}_L = (\bar{\epsilon} + \sqrt{\Delta^2 + g^2}) \hat{n}_+ + (\bar{\epsilon} - \sqrt{\Delta^2 + g^2}) \hat{n}_-,$$

además de  $\hat{n}_i^2 = \hat{n}_i$  se obtiene

$$\begin{aligned}2\hat{n}_R \hat{n}_L &= (\hat{n}_R + \hat{n}_L)(\hat{n}_R + \hat{n}_L) - (\hat{n}_R + \hat{n}_L) \\ &= (\hat{n}_+ + \hat{n}_-)(\hat{n}_+ + \hat{n}_-) - (\hat{n}_+ + \hat{n}_-) = 2\hat{n}_+ \hat{n}_-.\end{aligned}$$

Definiendo  $\epsilon_\pm = \bar{\epsilon} \pm \sqrt{\Delta^2 + g^2}$ , se obtendrá para el Hamiltoniano

$$\hat{H}_S = \epsilon_D \hat{n}_D + \epsilon_+ \hat{n}_+ + \epsilon_- \hat{n}_- + U \hat{n}_D (\hat{n}_+ + \hat{n}_-) + U_f \hat{n}_+ \hat{n}_-. \quad (\text{C.4})$$

Con el Hamiltoniano escrito en función de los operadores  $\hat{d}_+$  y  $\hat{d}_-$  podremos calcular los operadores de salto, es decir

$$\begin{aligned}e^{i\hat{H}st} \hat{d}_D e^{-i\hat{H}st} &= \hat{d}_D + it[\hat{H}_S, \hat{d}_D] + \frac{(it)^2}{2} [\hat{H}_S, [\hat{H}_S, \hat{d}_D]] + \dots \\ e^{i\hat{H}st} \hat{d}_+ e^{-i\hat{H}st} &= \hat{d}_+ + it[\hat{H}_S, \hat{d}_+] + \frac{(it)^2}{2} [\hat{H}_S, [\hat{H}_S, \hat{d}_+]] + \dots \\ e^{i\hat{H}st} \hat{d}_- e^{-i\hat{H}st} &= \hat{d}_- + it[\hat{H}_S, \hat{d}_-] + \frac{(it)^2}{2} [\hat{H}_S, [\hat{H}_S, \hat{d}_-]] + \dots,\end{aligned}$$

partiremos primero por  $\hat{d}_D$  para ello se usará la identidad

$$\mathbf{1} = (\mathbf{1} - \hat{n}_+)(\mathbf{1} - \hat{n}_-) + (\mathbf{1} - \hat{n}_+)\hat{n}_- + (\mathbf{1} - \hat{n}_-)\hat{n}_+ + \hat{n}_+\hat{n}_-,$$

utilizando que  $(\mathbf{1} - \hat{n}_i)\hat{n}_i = \mathbf{0}$  se tendrá que

$$\begin{aligned} [\hat{H}_S, \hat{d}_D(\mathbf{1} - \hat{n}_+)(\mathbf{1} - \hat{n}_-)] &= -\epsilon_D \hat{d}_D(\mathbf{1} - \hat{n}_+)(\mathbf{1} - \hat{n}_-) \\ [\hat{H}_S, \hat{d}_D(\mathbf{1} - \hat{n}_+)\hat{n}_-] &= -(\epsilon_D + U) \hat{d}_D(\mathbf{1} - \hat{n}_+)\hat{n}_- \\ [\hat{H}_S, \hat{d}_D(\mathbf{1} - \hat{n}_-)\hat{n}_+] &= -(\epsilon_D + U) \hat{d}_D(\mathbf{1} - \hat{n}_-)\hat{n}_+ \\ [\hat{H}_S, \hat{d}_D \hat{n}_+ \hat{n}_-] &= -(\epsilon_D + 2U) \hat{d}_D \hat{n}_+ \hat{n}_-, \end{aligned}$$

lo que permite notar que

$$\begin{aligned} [\hat{H}_S, [\hat{H}_S, \hat{d}_D]] &= (\epsilon_D)^2 \hat{d}_D(\mathbf{1} - \hat{n}_+)(\mathbf{1} - \hat{n}_-) + (\epsilon_D + U)^2 \hat{d}_D(\mathbf{1} - \hat{n}_+)\hat{n}_- \\ &\quad + (\epsilon_D + U)^2 \hat{d}_D(\mathbf{1} - \hat{n}_-)\hat{n}_+ + (\epsilon_D + 2U)^2 \hat{d}_D \hat{n}_+ \hat{n}_-. \end{aligned}$$

Y así obtener de manera recursiva

$$\begin{aligned} e^{i\hat{H}_S t} \hat{d}_D e^{-i\hat{H}_S t} &= e^{-i\epsilon_D t} \hat{d}_D(\mathbf{1} - \hat{n}_+)(\mathbf{1} - \hat{n}_-) + e^{-i(\epsilon_D + U)t} \hat{d}_D[(\mathbf{1} - \hat{n}_+)\hat{n}_- + (\mathbf{1} - \hat{n}_-)\hat{n}_+] \\ &\quad + e^{-i(\epsilon_D + 2U)t} \hat{d}_D \hat{n}_+ \hat{n}_-. \end{aligned}$$

Para poder describir los operadores de salto de  $\hat{d}_+$  se usará el 1 conveniente

$$\mathbf{1} = (\mathbf{1} - \hat{n}_D)(\mathbf{1} - \hat{n}_-) + (\mathbf{1} - \hat{n}_-)\hat{n}_D + (\mathbf{1} - \hat{n}_D)\hat{n}_- + \hat{n}_D \hat{n}_-,$$

los conmutadores quedarán

$$\begin{aligned} [\hat{H}_S, \hat{d}_+(\mathbf{1} - \hat{n}_D)(\mathbf{1} - \hat{n}_-)] &= -\epsilon_+ \hat{d}_+(\mathbf{1} - \hat{n}_D)(\mathbf{1} - \hat{n}_-) \\ [\hat{H}_S, \hat{d}_+(\mathbf{1} - \hat{n}_D)\hat{n}_-] &= -(\epsilon_+ + U) \hat{d}_+(\mathbf{1} - \hat{n}_-)\hat{n}_D \\ [\hat{H}_S, \hat{d}_+(\mathbf{1} - \hat{n}_-)\hat{n}_D] &= -(\epsilon_+ + U_f) \hat{d}_+(\mathbf{1} - \hat{n}_D)\hat{n}_- \\ [\hat{H}_S, \hat{d}_+ \hat{n}_D \hat{n}_-] &= -(\epsilon_+ + U + U_f) \hat{d}_+ \hat{n}_D \hat{n}_-, \end{aligned}$$

de manera recursiva se obtendrá que los operadores de salto

$$\begin{aligned} e^{i\hat{H}_S t} \hat{d}_+ e^{-i\hat{H}_S t} &= e^{-i\epsilon_+ t} \hat{d}_+(\mathbf{1} - \hat{n}_D)(\mathbf{1} - \hat{n}_-) + e^{-i(\epsilon_+ + U_f)t} \hat{d}_+(\mathbf{1} - \hat{n}_D)\hat{n}_- \\ &\quad + e^{-i(\epsilon_+ + U)t} \hat{d}_+(\mathbf{1} - \hat{n}_-)\hat{n}_D + e^{-i(\epsilon_+ + U + U_f)t} \hat{d}_+ \hat{n}_- \hat{n}_D, \end{aligned}$$

debido a la simetría, tendremos que

$$\begin{aligned} e^{i\hat{H}_S t} \hat{d}_- e^{-i\hat{H}_S t} &= e^{-i\epsilon_- t} \hat{d}_-(\mathbf{1} - \hat{n}_D)(\mathbf{1} - \hat{n}_+) + e^{-i(\epsilon_- + U_f)t} \hat{d}_-(\mathbf{1} - \hat{n}_D)\hat{n}_+ \\ &\quad + e^{-i(\epsilon_- + U)t} \hat{d}_-(\mathbf{1} - \hat{n}_+)\hat{n}_D + e^{-i(\epsilon_- + U + U_f)t} \hat{d}_- \hat{n}_+ \hat{n}_D. \end{aligned}$$

Ahora se puede regresar a los operadores locales del sistema  $\hat{d}_L$  y  $\hat{d}_R$

$$\begin{aligned} e^{i\hat{H}st}\hat{d}_R e^{-i\hat{H}st} &= \cos(\theta/2)e^{i\hat{H}st}\hat{d}_- e^{-i\hat{H}st} + \sin(\theta/2)e^{i\hat{H}st}\hat{d}_+ e^{-i\hat{H}st} \\ e^{i\hat{H}st}\hat{d}_L e^{-i\hat{H}st} &= -\sin(\theta/2)e^{i\hat{H}st}\hat{d}_- e^{-i\hat{H}st} + \cos(\theta/2)e^{i\hat{H}st}\hat{d}_+ e^{-i\hat{H}st}, \end{aligned}$$

con lo que encontramos las frecuencias de Bohr correspondientes a

$$\begin{aligned} \hat{d}_D &\rightarrow (\epsilon_D, \epsilon_D + U, \epsilon_D + 2U) \\ \hat{d}_L &\rightarrow (\epsilon_+, \epsilon_-, \epsilon_+ + U, \epsilon_- + U, \epsilon_+ + U_f, \epsilon_- + U_f, \epsilon_+ + U + U_f, \epsilon_- + U + U_f) \\ \hat{d}_R &\rightarrow (\epsilon_+, \epsilon_-, \epsilon_+ + U, \epsilon_- + U, \epsilon_+ + U_f, \epsilon_- + U_f, \epsilon_+ + U + U_f, \epsilon_- + U + U_f). \end{aligned}$$

### C.3. Agrupación de frecuencias para 2 puntos cuánticos

En el caso en que  $\epsilon_L = \epsilon_R$  se cumple que  $\epsilon_{\pm} = \epsilon \pm g$ . Aquí es que se invoca la agrupación de frecuencias, ya que si el parámetro  $g$  es pequeño en relación al inverso del tiempo de correlación del baño, podremos agrupar las frecuencias tal que

$$\begin{aligned} (\epsilon_+, \epsilon_-) &\rightarrow \epsilon \\ (\epsilon_+ + U, \epsilon_- + U) &\rightarrow \epsilon + U \\ (\epsilon_+ + U_f, \epsilon_- + U_f) &\rightarrow \epsilon + U_f \\ (\epsilon_+ + U + U_f, \epsilon_- + U + U_f) &\rightarrow \epsilon + U + U_f. \end{aligned}$$

Para encontrar los nuevos operadores de salto de  $\hat{d}_L$ , para el primer caso se deberá sumar los operadores de salto respectivos a las frecuencias  $\epsilon_+, \epsilon_-$

$$\frac{\hat{d}_+(\mathbf{1} - \hat{n}_D)(\mathbf{1} - \hat{n}_-)}{\sqrt{2}} - \frac{\hat{d}_-(\mathbf{1} - \hat{n}_D)(\mathbf{1} - \hat{n}_+)}{\sqrt{2}} = \frac{(\mathbf{1} - \hat{n}_D)}{\sqrt{2}} [\hat{d}_+(\mathbf{1} - \hat{n}_-) - \hat{d}_-(\mathbf{1} - \hat{n}_+)],$$

por otro lado

$$\begin{aligned} \hat{d}_+(\mathbf{1} - \hat{n}_-) - \hat{d}_-(\mathbf{1} - \hat{n}_+) &= \frac{\hat{d}_L + \hat{d}_R}{\sqrt{2}}(\mathbf{1} - \hat{n}_-) - \frac{\hat{d}_R - \hat{d}_L}{\sqrt{2}}(\mathbf{1} - \hat{n}_+) \\ &= \frac{\hat{d}_L}{\sqrt{2}}(\mathbf{2} - \hat{n}_+ - \hat{n}_-) + \frac{\hat{d}_R}{\sqrt{2}}(\hat{n}_+ - \hat{n}_-) \\ &= \frac{\hat{d}_L}{\sqrt{2}}(\mathbf{2} - \hat{n}_L - \hat{n}_R) + \frac{\hat{d}_R}{\sqrt{2}}(\hat{d}_R^\dagger \hat{d}_L + \hat{d}_L^\dagger \hat{d}_R), \end{aligned}$$

de  $\hat{d}_L(\mathbf{1} - \hat{n}_L) = \hat{d}_L \hat{d}_L \hat{d}_L^\dagger = 0$  y de  $\hat{d}_R(\hat{d}_R^\dagger \hat{d}_L + \hat{d}_L^\dagger \hat{d}_R) = \hat{d}_L(\mathbf{1} - \hat{n}_R)$  nos queda

$$\hat{d}_+(\mathbf{1} - \hat{n}_-) - \hat{d}_-(\mathbf{1} - \hat{n}_+) = \hat{d}_L(\mathbf{1} - \hat{n}_R),$$

con lo que podremos asignar a la frecuencia  $\epsilon$  el operador  $\hat{d}_L(\mathbf{1} - \hat{n}_D)(\mathbf{1} - \hat{n}_R)$ . Siguiendo con las frecuencias  $(\epsilon_- + U, \epsilon_+ + U) \rightarrow \epsilon + U$  se obtiene

$$\frac{\hat{d}_+\hat{n}_D(\mathbf{1} - \hat{n}_-)}{\sqrt{2}} - \frac{\hat{d}_-\hat{n}_D(\mathbf{1} - \hat{n}_+)}{\sqrt{2}} = \hat{d}_L\hat{n}_D(\mathbf{1} - \hat{n}_R).$$

Para las frecuencias  $(\epsilon_- + U_f, \epsilon_+ + U_f) \rightarrow \epsilon + U_f$  tendremos que sumar

$$\frac{\hat{d}_+\hat{n}_-(\mathbf{1} - \hat{n}_D)}{\sqrt{2}} - \frac{\hat{d}_-\hat{n}_+(\mathbf{1} - \hat{n}_D)}{\sqrt{2}} = \frac{(\mathbf{1} - \hat{n}_D)}{\sqrt{2}}[\hat{d}_+\hat{n}_- - \hat{d}_-\hat{n}_+],$$

es así que

$$\begin{aligned}\hat{d}_+\hat{n}_- - \hat{d}_-\hat{n}_+ &= \frac{\hat{d}_R + \hat{d}_L}{\sqrt{2}}\hat{n}_- - \frac{\hat{d}_R - \hat{d}_L}{\sqrt{2}}\hat{n}_+ \\ &= -\frac{\hat{d}_R}{\sqrt{2}}(\hat{d}_R^\dagger\hat{d}_L + \hat{d}_L^\dagger\hat{d}_R) + \frac{\hat{d}_L}{\sqrt{2}}(\hat{n}_L + \hat{n}_R) \\ &= \frac{2\hat{d}_L}{\sqrt{2}}\hat{n}_R - \frac{\hat{d}_L}{\sqrt{2}}(\mathbf{1} - \hat{n}_L) \\ &= \frac{2\hat{d}_L}{\sqrt{2}}\hat{n}_R.\end{aligned}$$

Con lo que el operador de salto respectivo a la frecuencia  $(\epsilon + U_f)$  es  $\hat{d}_L\hat{n}_R(\mathbf{1} - \hat{n}_D)$ , usando este mismo análisis se obtiene que el operador de salto de la frecuencia  $\epsilon + U + U_f$  corresponde a  $\hat{d}_L\hat{n}_D\hat{n}_R$ . Finalmente recapitulando

$$\begin{aligned}\epsilon &\rightarrow \hat{d}_L(\mathbf{1} - \hat{n}_R)(\mathbf{1} - \hat{n}_D) \\ \epsilon + U &\rightarrow \hat{d}_L\hat{n}_D(\mathbf{1} - \hat{n}_R) \\ \epsilon + U_f &\rightarrow \hat{d}_L\hat{n}_R(\mathbf{1} - \hat{n}_D) \\ \epsilon + U + U_f &\rightarrow \hat{d}_L\hat{n}_D\hat{n}_R,\end{aligned}$$

de manera similar, para el operador local  $\hat{d}_R$  se puede partir agrupando las energías  $(\epsilon_+, \epsilon_-)$  en donde

$$\frac{\hat{d}_+(\mathbf{1} - \hat{n}_D)(\mathbf{1} - \hat{n}_-)}{\sqrt{2}} + \frac{\hat{d}_-(\mathbf{1} - \hat{n}_D)(\mathbf{1} - \hat{n}_+)}{\sqrt{2}} = \frac{(\mathbf{1} - \hat{n}_D)}{\sqrt{2}}[\hat{d}_+(\mathbf{1} - \hat{n}_-) + \hat{d}_-(\mathbf{1} - \hat{n}_+)],$$

se deberá calcular

$$\begin{aligned}
\hat{d}_+(\mathbf{1} - \hat{n}_-) + \hat{d}_-(\mathbf{1} - \hat{n}_+) &= \frac{\hat{d}_R + \hat{d}_L}{\sqrt{2}}(\mathbf{1} - \hat{n}_-) + \frac{\hat{d}_R - \hat{d}_L}{\sqrt{2}}(\mathbf{1} - \hat{n}_+) \\
&= \frac{\hat{d}_R}{\sqrt{2}}(\mathbf{2} - (\hat{n}_L + \hat{n}_R)) + \frac{\hat{d}_L}{\sqrt{2}}(\hat{n}_+ - \hat{n}_-) \\
&= \frac{\hat{d}_R}{\sqrt{2}}(\mathbf{1} - \hat{n}_R) + \frac{\hat{d}_L}{\sqrt{2}}(\hat{d}_R^\dagger \hat{d}_L + \hat{d}_L^\dagger \hat{d}_R) \\
&= \sqrt{2} \hat{d}_R(\mathbf{1} - \hat{n}_R),
\end{aligned}$$

por lo tanto el operador de salto asociado a la agrupación  $(\epsilon_+, \epsilon_-) \rightarrow \epsilon$  es  $\hat{d}_R(\mathbf{1} - \hat{n}_D)(\mathbf{1} - \hat{n}_L)$ . Por el mismo motivo al calcular el operador que corresponde a agrupar las frecuencias  $(\epsilon_+ + U, \epsilon_- + U)$

$$\frac{\hat{d}_+(\mathbf{1} - \hat{n}_-)\hat{n}_D}{\sqrt{2}} + \frac{\hat{d}_-(\mathbf{1} - \hat{n}_+)\hat{n}_D}{\sqrt{2}} = \hat{d}_R \hat{n}_D(\mathbf{1} - \hat{n}_L).$$

Para las frecuencias  $(\epsilon_+ + U_f, \epsilon_- + U_f) \rightarrow \epsilon + U_f$  tendremos que sumar los operadores

$$\frac{\hat{d}_+(\mathbf{1} - \hat{n}_D)\hat{n}_-}{\sqrt{2}} + \frac{\hat{d}_-(\mathbf{1} - \hat{n}_D)\hat{n}_+}{\sqrt{2}} = \frac{(\mathbf{1} - \hat{n}_D)}{\sqrt{2}}[\hat{d}_+\hat{n}_- + \hat{d}_-\hat{n}_+],$$

calculando la suma

$$\begin{aligned}
\hat{d}_+\hat{n}_- + \hat{d}_-\hat{n}_+ &= \frac{\hat{d}_R + \hat{d}_L}{\sqrt{2}}\hat{n}_- + \frac{\hat{d}_R - \hat{d}_L}{\sqrt{2}}\hat{n}_+ \\
&= \frac{\hat{d}_R}{\sqrt{2}}(\hat{n}_L + \hat{n}_R) - \frac{\hat{d}_L}{\sqrt{2}}(\hat{d}_L^\dagger \hat{d}_R + \hat{d}_R^\dagger \hat{d}_L) \\
&= \sqrt{2} \hat{d}_R \hat{n}_L,
\end{aligned}$$

por lo tanto el operador de salto de  $\hat{d}_R$  al agrupar las frecuencias  $(\epsilon_+ + U_f, \epsilon_- + U_f)$  es  $\hat{d}_R(\mathbf{1} - \hat{d}_D)\hat{n}_L$ , realizando el mismo cálculo se encuentra que para las frecuencias  $(\epsilon_+ + U + U_f, \epsilon_- + U + U_f)$  el operador de salto corresponde a  $\hat{d}_R \hat{n}_D \hat{n}_L$ . Por ende recapitulando, para el operador  $\hat{d}_R$  se tendrá

$$\begin{aligned}
\epsilon &\rightarrow \hat{d}_R(\mathbf{1} - \hat{n}_L)(\mathbf{1} - \hat{n}_D) \\
\epsilon + U &\rightarrow \hat{d}_R \hat{n}_D(\mathbf{1} - \hat{n}_L) \\
\epsilon + U_f &\rightarrow \hat{d}_R \hat{n}_L(\mathbf{1} - \hat{n}_D) \\
\epsilon + U + U_f &\rightarrow \hat{d}_R \hat{n}_D \hat{n}_L.
\end{aligned}$$

#### C.4. Límitaciones de la aproximación semilocal

## C.5. Aspecto Markoviano de las funciones correlación

Para que el sistema descrito en la sección 5.1 tenga un comportamiento cercano a un Demonio de Maxwell autónomo, se necesita que las razones de tuneleo  $\gamma_i(\omega)$  modifiquen su respuesta dependiendo de si el punto cuántico del nivel  $D$  este ocupado o desocupado. No todo comportamiento de la razón de tuneleo aseguran que el comportamiento del sistema sea Markoviano, esto se puede determinar calculando la función correlación del reservorio y analizando el orden del tiempo de correlación  $\tau_B$  que presenta este mismo. Para poder lograr hacer esto se deben calcular las funciones correlación que para el caso de un ambiente fermiónico son de la forma

$$C^\sigma(t) = \frac{1}{2\pi} \int_{-\infty}^{\infty} d\omega e^{i\sigma\omega t} \gamma(\omega) f_F(\sigma\beta(\omega - \mu)),$$

en donde  $f_F(x) = (\exp(x) + 1)^{-1}$  y  $\sigma = \pm$ . La distribución de Fermi puede ser aproximada utilizando aproximantes de Padé [30, 31]. Esto permite escribir la distribución como sumatoria

$$f_F(x) \approx \frac{1}{2} - \sum_{l=0}^N \frac{2\kappa_l x}{x^2 + \xi_l^2}, \quad (\text{C.5})$$

los coeficientes  $\kappa_l$  y  $\xi_l$  se pueden calcular numéricamente y se encuentran en [30]. Para poder calcular numéricamente la función correlación, se necesita una forma explícita para  $\gamma(\omega)$  el cuál tiene que tener un máximo en alguna frecuencia  $\epsilon_0$ . Se puede elegir un comportamiento lorentziano de la forma

$$\gamma(\omega) = \gamma_0 + \frac{\gamma_f W^2}{(\omega - \epsilon_0)^2 + W^2},$$

con  $W$  el ancho de la lorentziana y  $\gamma_0, \gamma_f$  constantes. Para el estudio del Demonio de Maxwell hay dos casos importantes que hay que diferenciar, es decir cuándo el punto cuántico  $D$  esta desocupado o ocupado, lo que se traduce en evaluar las razones de tuneleo en dos frecuencias  $\epsilon_0$  y  $\epsilon_0 + U$  como aparece en la Figura C.1

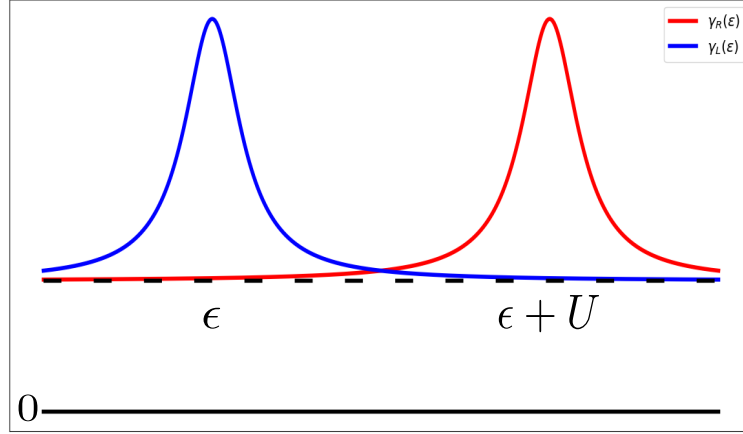


Figura C.1: Descripción gráfica de las razones de tuneleo en función de las frecuencias  $\omega$ .

Para obtener razones de tuneleo que cumplan estos valores, se puede realizar el sistema de ecuaciones

$$\begin{aligned}\gamma(\epsilon_0) &= \gamma_0 + \gamma_f \\ \gamma(\epsilon_0 + U) &= \gamma_0 + \frac{\gamma_f W^2}{U^2 + W^2}.\end{aligned}$$

Con estas igualdades se pueden determinar los valores de  $\gamma_0$ ,  $\gamma_f$  y  $W$ . Reemplazando  $\gamma(\omega)$  en la función correlación se tendrá

$$C^\sigma(t) = \frac{\gamma_0}{2\pi} \int_{-\infty}^{\infty} d\omega e^{i\sigma\omega t} f_F(\sigma\beta(\omega - \mu)) + \frac{\gamma_f}{2\pi} \int_{-\infty}^{\infty} d\omega e^{i\sigma\omega t} \left[ \frac{W^2}{(\omega - \epsilon_0)^2 + W^2} \right] f_F(\sigma\beta(\omega - \mu)),$$

la función correlación se puede separar en dos partes

$$C_0^\sigma(t) = \frac{\gamma_0}{2\pi} \int_{-\infty}^{\infty} d\omega e^{i\sigma\omega t} f_F(\sigma\beta(\omega - \mu)) \quad C_f^\sigma(t) = \frac{\gamma_f}{2\pi} \int_{-\infty}^{\infty} d\omega e^{i\sigma\omega t} \left[ \frac{W^2}{(\omega - \epsilon_0)^2 + W^2} \right] f_F(\sigma\beta(\omega - \mu)),$$

y podremos determinar el tiempo de correlación del baño como  $\tau_B = \max\{\tau_{B0}, \tau_{Bf}\}$ . Se partirá calculando una expresión analítica aproximada de la función correlación  $C_f^\sigma(t)$ , para realizar este integral se deberá localizar los polos en el plano complejo, para ello notemos que para C.5 los polos se ubican en  $\omega = \pm i\xi_l/\beta + \mu$ . Mientras que para la Lorentziana los polos se ubican en  $\omega = \pm iW + \epsilon_0$ . Para poder realizar este integral se usará el teorema del residuo [32], tomando como zona de integración un semicírculo en el hemisferio positivo o negativo dependiendo del signo de  $\sigma$ . Primero el residuo de la Lorentziana consiste en



$$\text{Res} \left[ \frac{e^{i\sigma\omega t} f_F[\sigma\beta(\omega - \mu)]}{(\omega - \omega_0 + iW)(\omega - \omega_0 - iW)} \right]_{\omega=\pm iW+\omega_0} = \frac{1}{\pm 2iW} (e^{\mp\sigma W t} f_F[\sigma\beta(\pm iW + \omega_0 - \mu)] e^{i\sigma\omega_0 t}).$$

Si se cumple que  $\sigma > 0$  se toma el hemisferio inferior para la integración, mientras que para  $\sigma < 0$  se toma el hemisferio superior, para así obtener

$$\text{Res} \left[ \frac{e^{i\sigma\omega t} f_F[\sigma\beta(\omega - \mu)]}{(\omega - \omega_0 + iW)(\omega - \omega_0 - iW)} \right]_{\omega=\pm iW+\omega_0} = \frac{1}{2iW} (e^{i\sigma\omega_0 t} e^{-Wt} f_F[i\beta W + \sigma\beta(\omega_0 - \mu)]),$$

para encontrar el residuo de los polos restantes, deberemos calcular

$$\text{Res} \left[ \frac{-e^{i\sigma\omega t}}{(\omega - \omega_0)^2 + W^2} \frac{2\kappa_l[\sigma\beta(\omega - \mu)]}{(\beta(\omega - \mu) + i\xi_l)(\beta(\omega - \mu) - i\xi_l)} \right]_{\omega=\pm i\xi_l/\beta+\mu} = \frac{-1}{\beta} \frac{e^{-\frac{\sigma\xi_l}{\beta}t} e^{i\sigma\mu t} (\pm\kappa_l\sigma)}{[\frac{\pm i\xi_l}{\beta} + (\mu - \omega_0)]^2 + W^2},$$

eligiendo la zona de integración dependiendo del signo de  $\sigma$  obtendremos que

$$\text{Res} \left[ \frac{-e^{i\sigma\omega t}}{(\omega - \omega_0)^2 + W^2} \frac{2\kappa_l[\sigma\beta(\omega - \mu)]}{(\beta(\omega - \mu) + i\xi_l)(\beta(\omega - \mu) - i\xi_l)} \right]_{\omega=\pm i\xi_l/\beta+\mu} = \frac{-1}{\beta} \frac{e^{-\frac{\xi_l}{\beta}t} e^{i\sigma\mu t} \kappa_l}{[\frac{\sigma i\xi_l}{\beta} + (\mu - \omega_0)]^2 + W^2}.$$

Encontrando los residuos explícitamente se podrá escribir la función correlación como

$$C_f^\sigma(t) \approx \sum_{l=0}^N \eta^{\sigma,l} e^{-\gamma_{\sigma,l} t}, \quad (\text{C.6})$$

en donde

$$\eta^{\sigma,l} = \begin{cases} \frac{\gamma_f W}{2} f_F[i\beta W + \sigma\beta(\omega_0 - \mu)] & l = 0 \\ -\frac{i\kappa_l}{\beta} \left( \frac{\gamma_f W^2}{(\frac{i\sigma\xi_l}{\beta} + (\mu - \omega_0))^2 + W^2} \right) & l \neq 0 \end{cases}$$

$$\gamma_{\sigma,l} = \begin{cases} W - \sigma i\omega_0 & l = 0 \\ \frac{\xi_l}{\beta} - \sigma i\mu & l \neq 0 \end{cases}.$$

Esto permite una expresión numérica para la función correlación  $C_f^\sigma(t)$  y así evaluar su tiempo de correlación  $\tau_{Bf}$ . Para la otra función correlación se podrá encontrar el integral de manera analítica, es decir calcular

$$C_0^\sigma(t) = \frac{\gamma_0}{2\pi} \int_{-\infty}^{\infty} d\omega e^{i\sigma\omega t} f_F(\sigma\beta(\omega - \mu)).$$

Se puede partir notando que esto consiste en calcular la Transformada de Fourier de  $\mathcal{F}(f[\sigma(\omega - \mu)])(-\sigma t)$  de la función  $f(\sigma(\omega - \mu)) = f_F(\sigma\beta(\omega - \mu))$ , utilizando la propiedad

$$\mathcal{F}(f[\sigma(\omega - \mu)])(-\sigma t) = e^{-i\sigma\mu t} \mathcal{F}(f[\sigma\omega])(-\sigma t),$$

es decir, podemos centrarnos en calcular la transformación

$$\begin{aligned} \mathcal{F}(f[\sigma\omega])(-\sigma t) &= \frac{\gamma_0}{2\pi} \int_{-\infty}^{\infty} d\omega \frac{e^{i\sigma\omega t}}{e^{\sigma\beta\omega} + 1} \\ &= \frac{\gamma_0}{4\pi} \left[ \int_{-\infty}^{\infty} d\omega e^{i\sigma\omega t} - \int_{-\infty}^{\infty} d\omega e^{i\sigma\omega t} \tanh\left(\frac{\sigma\beta\omega}{2}\right) \right] \\ &= \frac{\gamma_0}{2} \left[ \delta(t) - \frac{i}{\beta\sigma \sinh(\pi t/\beta\sigma)} \right], \end{aligned}$$

y así finalmente

$$C_0^\sigma(t) = \frac{\gamma_0}{2} e^{-i\sigma\mu t} \left[ \delta(t) - \frac{i}{\beta\sigma \sinh(\pi t/\beta\sigma)} \right].$$

Gracias a que se tiene una expresión analítica para  $C_0^\sigma(t)$  se puede determinar el  $\tau_{B0}$ . Se debe concentrar principalmente en la parte con  $\sinh(\pi t/\beta\sigma)$  debido a que  $\sigma = \pm 1$  sólo nos interesa analizar la cantidad  $\pi t/\beta$ , ya que para tiempos  $t > \beta$  se podrá considerar que  $1/\sinh(\pi t/\beta\sigma) \propto \exp(-t/\beta)$ , por lo tanto para esta función correlación el tiempo de correlación del baño consiste en el inverso de la temperatura  $\tau_{B0} = \beta$ . Con esto finalmente se podrá obtener el tiempo de correlación asociado a un sólo reservorio como  $\tau_B = \max\{\beta, \tau_{Bf}\}$ .

## C.6. Cálculo numérico para $\tau_{Bf}$

Para poder calcular los tiempos de correlación  $\tau_{Bf}$  correspondiente a los baños  $L$  y  $R$  se podrá usar la expresión C.6. Para poder determinar este  $\tau_{Bf}$  se busca el punto en que la función correlación se anula, y luego para poder determinar si sigue un comportamiento markoviano se debe tener que  $\tau_R \gg \tau_{Bf}$ , con esto dicho se procede a calcular las partes imaginarias y reales de las funciones correlación correspondientes a los baños  $L$  y  $R$

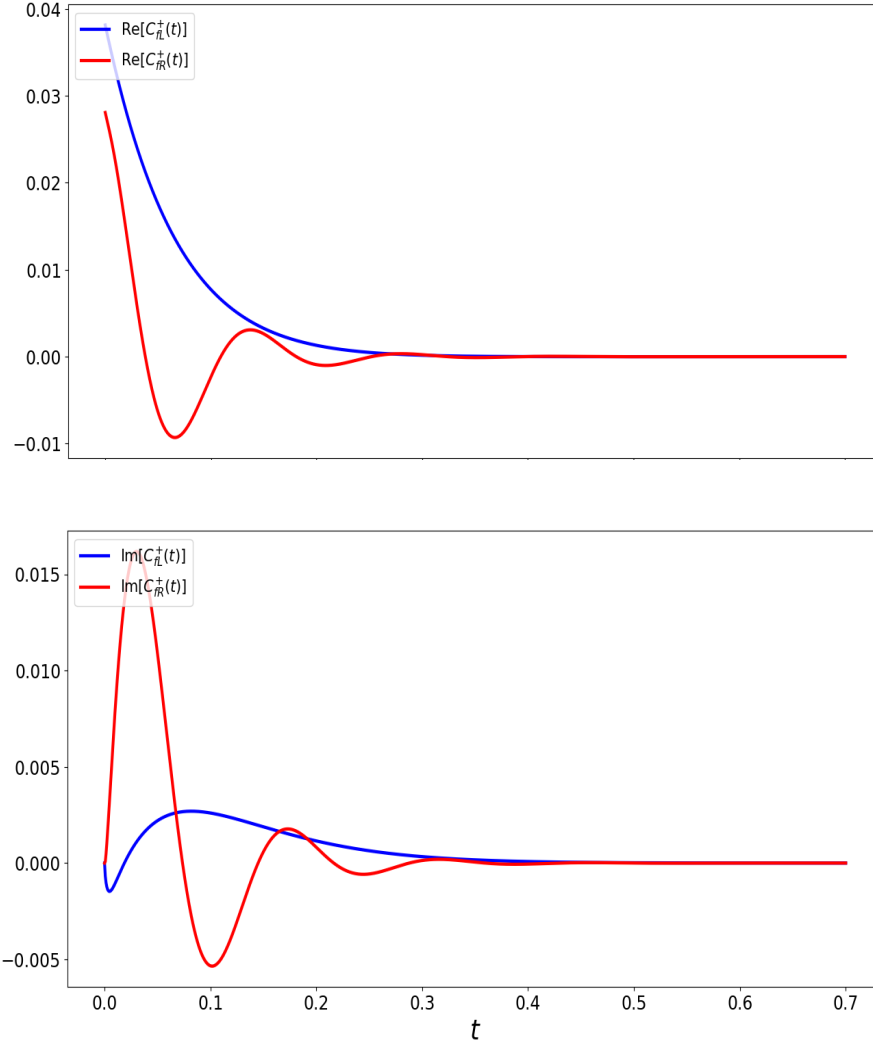


Figura C.2: Gráficos de la parte real e imaginaria de las funciones correlación en función del tiempo para los baños  $L$  y  $R$  con una diferencia de potencial correspondiente a  $eV = 20$  y  $\sigma = +$ .

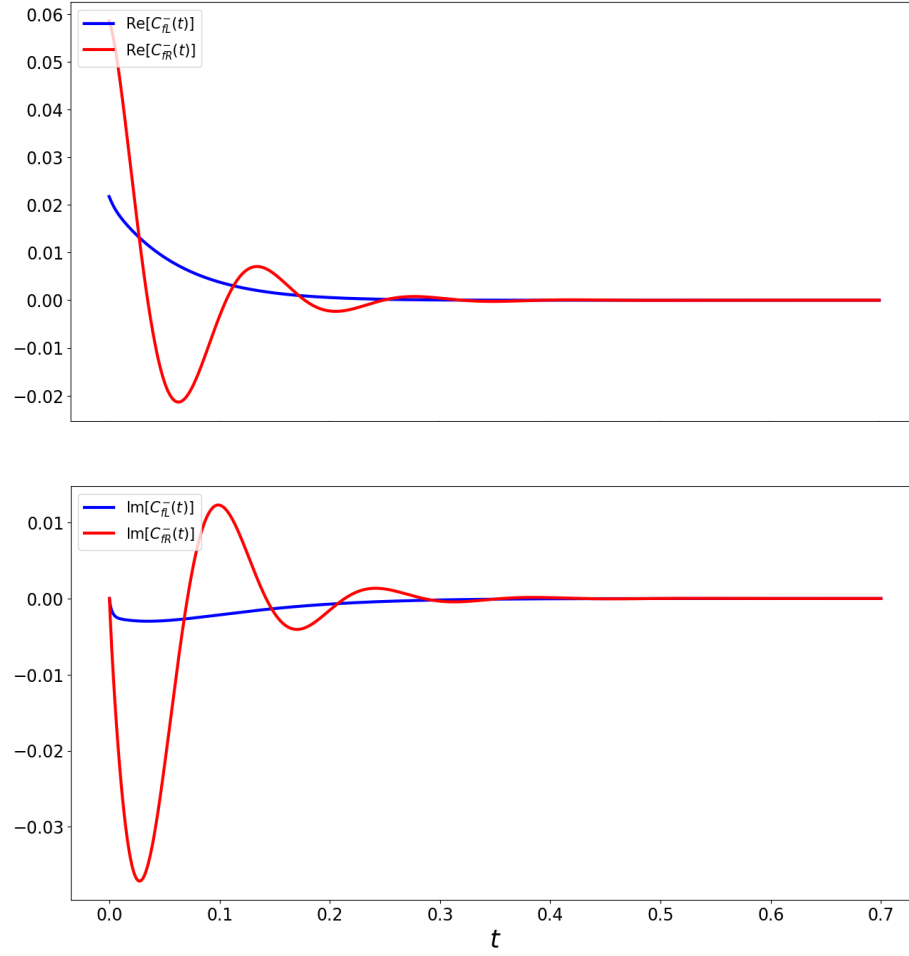


Figura C.3: Gráficos de la parte real e imaginaria de las funciones correlación en función del tiempo para los baños  $L$  y  $R$  con una diferencia de potencial correspondiente a  $eV = 20$  y  $\sigma = -$ .

De la Figura C.2 y C.3 se puede notar que para  $t > 0.4$  las funciones correlación para ambos baños ya son practicamente cero. Ahora para poder analizar la Markovianeidad, se puede graficar la evolución del sistema y ver en que tiempo las componentes de la matriz densidad relajan al estado estacionario. Para ello se grafica

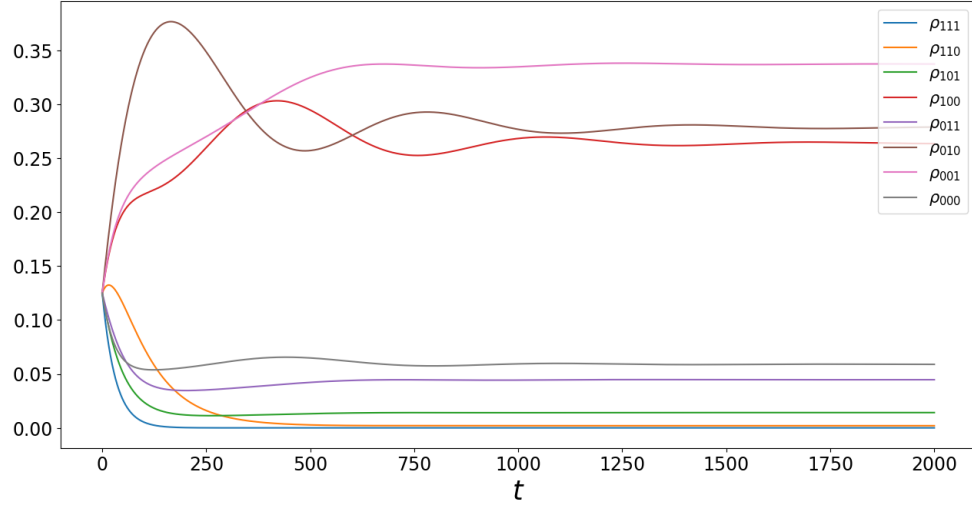


Figura C.4: Gráficos de las partes diagonales de la matriz densidad del sistema *LRD* en función del tiempo.

Con la Figura C.4 se puede visualizar que el tiempo de relajación del sistema es  $\tau_R > 1000$  y por lo tanto permite corroborar que con respecto a los tiempos  $\tau_{Bf}$ , se cumple que  $\tau_{Bf}/\tau_R < 0.0004$ . Este análisis se probó para distintos valores de  $eV$  los cuáles dieron valores similares para  $\tau_{Bf}$  y el tiempo de relajación  $\tau_R$ .

## C.7. Concurrencia

En esta sección se incluye la demostración de la fórmula de concurrencia. Para ello, se requiere calcular la concurrencia en el subsistema  $\hat{\rho}_{LR}$ , por lo tanto se tiene que partir calculando

$$\hat{\rho}_{LR} = \text{Tr}_D\{\hat{\rho}_S\},$$

usando la base  $\{|0, 0, 0\rangle, |1, 0, 0\rangle, |0, 1, 0\rangle, |0, 0, 1\rangle, |1, 1, 0\rangle, |1, 0, 1\rangle, |0, 1, 1\rangle, |1, 1, 1\rangle\}$ , la matriz densidad del sistema queda

$$\hat{\rho}_S = \begin{bmatrix} \rho_{000} & 0 & 0 & 0 & 0 & 0 & 0 & 0 \\ 0 & \rho_{100} & \alpha & 0 & 0 & 0 & 0 & 0 \\ 0 & \alpha^* & \rho_{010} & 0 & 0 & 0 & 0 & 0 \\ 0 & 0 & 0 & \rho_{001} & 0 & 0 & 0 & 0 \\ 0 & 0 & 0 & 0 & \rho_{110} & 0 & 0 & 0 \\ 0 & 0 & 0 & 0 & 0 & \rho_{101} & \beta & 0 \\ 0 & 0 & 0 & 0 & 0 & \beta^* & \rho_{011} & 0 \\ 0 & 0 & 0 & 0 & 0 & 0 & 0 & \rho_{111} \end{bmatrix}. \quad (\text{C.7})$$

En esta matriz no aparecen coherencias entre estados con distinto número de partículas por el principio de superselección de carga [33, 34]. Además debido a que el punto cuántico  $D$  sólo interactúa mediante interacción de Coulomb con los puntos  $L$  y  $R$ , no aparecen coherencias del tipo  $L - D$  y  $R - D$ . Así se puede obtener la matriz densidad del sistema  $LR$  en la base  $\{|00\rangle, |10\rangle, |01\rangle, |11\rangle\}$

$$\hat{\rho}_{LR} = \begin{bmatrix} \rho_{000} + \rho_{001} & 0 & 0 & 0 \\ 0 & \rho_{100} + \rho_{101} & \alpha + \beta & 0 \\ 0 & \alpha^* + \beta^* & \rho_{010} + \rho_{011} & 0 \\ 0 & 0 & 0 & \rho_{110} + \rho_{111} \end{bmatrix},$$

así se podrá calcular la concurrencia

$$\mathcal{C}_{on} = \max\{0, \lambda_1 - \lambda_2 - \lambda_3 - \lambda_4\},$$

en donde  $\lambda_i$  son la raíz cuadrada de los autovalores ordenados en forma decreciente de la matriz

$$B = \hat{\rho}_{LR} \tilde{\rho}_{LR} \quad \tilde{\rho}_{LR} = (\sigma_y \otimes \sigma_y) \hat{\rho}_{LR} (\sigma_y \otimes \sigma_y),$$

en la cuál  $\sigma_y$  pertenece a las matrices de Pauli, así se obtiene

$$\tilde{\rho}_{LR} = \begin{bmatrix} p_D & 0 & 0 & 0 \\ 0 & p_R & \alpha + \beta & 0 \\ 0 & \alpha^* + \beta^* & p_L & 0 \\ 0 & 0 & 0 & p_0 \end{bmatrix}.$$

Con  $p_0 = \rho_{000} + \rho_{001}$ ,  $p_L = \rho_{100} + \rho_{101}$ ,  $p_R = \rho_{010} + \rho_{011}$ ,  $p_D = \rho_{110} + \rho_{111}$  la matriz  $B$  quedará

$$B = \begin{bmatrix} p_0 p_D & 0 & 0 & 0 \\ 0 & p_L p_R + |\alpha + \beta|^2 & 2(\alpha + \beta)p_L & 0 \\ 0 & 2(\alpha^* + \beta^*)p_R & p_L p_R + |\alpha + \beta|^2 & 0 \\ 0 & 0 & 0 & p_0 p_D \end{bmatrix}.$$

Suponiendo que  $p_D$  y  $p_0$  son pequeños, el orden decreciente de los autovalores corresponderá a

$$\lambda_1 = p_L p_R + |\alpha + \beta| \quad \lambda_2 = p_L p_R - |\alpha + \beta| \quad \lambda_3 = \lambda_4 = \sqrt{p_0 p_D},$$

finalmente se obtiene

$$\mathcal{C}_{on} = \max\{2|\alpha + \beta| - 2\sqrt{p_0 p_D}, 0\}.$$

## C.8. Modelo clásico

Para partir derivando el modelo clásico para las partes diagonales de la matriz densidad  $\rho_{ijk}$  con  $i, j, k \in \{0, 1\}$ , primero se notará que la ecuación de operadores

$$\frac{d}{dt}\check{\mathcal{Q}}|\hat{\rho}(t)\rangle\rangle = \check{\mathcal{Q}}\check{\mathcal{L}}_f\check{\mathcal{Q}}|\hat{\rho}(t)\rangle\rangle + \check{\mathcal{Q}}\check{\mathcal{L}}_f\check{\mathcal{P}}|\hat{\rho}(t)\rangle\rangle \rightarrow \frac{d}{dt}\check{\mathcal{Q}}|\hat{\rho}(t)\rangle\rangle - \check{\mathcal{Q}}\check{\mathcal{L}}_f\check{\mathcal{Q}}|\hat{\rho}(t)\rangle\rangle = \check{\mathcal{Q}}\check{\mathcal{L}}_f\check{\mathcal{P}}|\hat{\rho}(t)\rangle\rangle,$$

es equivalente a una ecuación no homogénea lineal de la forma

$$\frac{dy}{dt} - A(t)y = B(t),$$

por lo tanto se puede solucionar utilizando factor integrante

$$\check{\mu}(t) = \exp\left(-\int_0^t \check{\mathcal{Q}}\check{\mathcal{L}}_f ds\right),$$

multiplicando por el factor integrante la ecuación diferencial para  $\mu(t)$ , se tendrá

$$\check{\mu}(t)\frac{d}{dt}\check{\mathcal{Q}}|\hat{\rho}(t)\rangle\rangle - \check{\mu}(t)\check{\mathcal{Q}}\check{\mathcal{L}}_f\check{\mathcal{Q}}|\hat{\rho}(t)\rangle\rangle = \check{\mu}(t)\check{\mathcal{Q}}\check{\mathcal{L}}_f\check{\mathcal{P}}|\hat{\rho}(t)\rangle\rangle \rightarrow \frac{d}{dt}(\check{\mu}(t)\check{\mathcal{Q}}|\hat{\rho}(t)\rangle\rangle) = \check{\mu}(t)\check{\mathcal{Q}}\check{\mathcal{L}}_f\check{\mathcal{P}}|\hat{\rho}(t)\rangle\rangle,$$

así queda la solución

$$\check{\mu}(t)\check{\mathcal{Q}}|\hat{\rho}(t)\rangle\rangle = \check{\mu}(0)\check{\mathcal{Q}}|\hat{\rho}(0)\rangle\rangle + \int_0^t \check{\mu}(\tau)\check{\mathcal{Q}}\check{\mathcal{L}}_f\check{\mathcal{P}}|\hat{\rho}(\tau)\rangle\rangle d\tau,$$

multiplicando por  $\check{\mu}^{-1}(t)$

$$\check{\mathcal{Q}}|\hat{\rho}(t)\rangle\rangle = \check{\mu}^{-1}(t)\check{\mathcal{Q}}|\hat{\rho}(0)\rangle\rangle + \int_0^t \check{\mu}^{-1}(t)\check{\mu}(\tau)\check{\mathcal{Q}}\check{\mathcal{L}}_f\check{\mathcal{P}}|\hat{\rho}(\tau)\rangle\rangle d\tau,$$

para así definir el operador

$$\check{\mathcal{G}}(t, s) = \exp\left(\int_s^t \check{\mathcal{Q}}\check{\mathcal{L}}_f dt'\right),$$

finalmente

$$\check{\mathcal{Q}}|\hat{\rho}(t)\rangle\rangle = \check{\mathcal{G}}(t, 0)\check{\mathcal{Q}}|\hat{\rho}(0)\rangle\rangle + \int_0^t \check{\mathcal{G}}(t, \tau)\check{\mathcal{Q}}\check{\mathcal{L}}_f\check{\mathcal{P}}|\hat{\rho}(\tau)\rangle\rangle d\tau.$$

Podremos reinsertar esto en la parte principal y quedará

$$\frac{d}{dt}\check{\mathcal{P}}|\hat{\rho}(t)\rangle\rangle = \check{\mathcal{P}}\check{\mathcal{L}}_f\check{\mathcal{P}}|\hat{\rho}(t)\rangle\rangle + \check{\mathcal{P}}\check{\mathcal{L}}_f\check{\mathcal{G}}(t, 0)\check{\mathcal{Q}}|\hat{\rho}(0)\rangle\rangle + \check{\mathcal{P}}\check{\mathcal{L}}_f \int_0^t \check{\mathcal{G}}(t, \tau)\check{\mathcal{Q}}\check{\mathcal{L}}_f\check{\mathcal{P}}|\hat{\rho}(\tau)\rangle\rangle d\tau. \quad (\text{C.8})$$

Estas ecuaciones son exactas, ya que hasta ahora no se ha hecho ninguna aproximación. La primera parte del lado derecho de la ecuación C.8 consiste en la evolución markoviana, mientras que la segunda y tercera parte corresponden a un corrimiento inicial y a los efectos de memoria respectivamente. Para seguir la deducción se utilizarán las relaciones

$$\check{\mathcal{P}}\check{\mathcal{V}}\check{\mathcal{P}} = [\check{\mathcal{L}}_0, \check{\mathcal{P}}] = [\check{\mathcal{L}}_0, \check{\mathcal{Q}}] = 0,$$

estas relaciones se pueden explicar intuitivamente, ya que al ser  $\check{\mathcal{V}}$  la perturbación que genera el tuneo entre los puntos  $L$  y  $R$ , está contribución es la que produce efectos de coherencias. Así se puede notar que  $\check{\mathcal{V}}\check{\mathcal{P}}\hat{\rho}$  es no diagonal y por lo tanto al aplicar nuevamente el operador que proyecta en la diagonal este se anula.

Para seguir con C.8, primero supondremos que inicialmente no hay coherencias, es decir  $\check{\mathcal{Q}}\hat{\rho}(0) = 0$ . Segundo se sustituirá  $\check{\mathcal{L}}_f$  en la ecuación C.8 y se usarán las propiedades de los operadores Nakajima-Zwanzig, partiendo por el integral

$$\begin{aligned} \check{\mathcal{G}}(t, \tau) &= \exp \left( \int_{\tau}^t \check{\mathcal{Q}}(\check{\mathcal{L}}_0 + \check{\mathcal{V}}) dt' \right) \\ &= \exp \left( \int_{\tau}^t \check{\mathcal{Q}}(\check{\mathcal{L}}_0 + \check{\mathcal{V}})(\check{\mathcal{P}} + \check{\mathcal{Q}}) dt' \right) \\ &= \exp \left( \int_{\tau}^t [\check{\mathcal{Q}}\check{\mathcal{L}}_0\check{\mathcal{Q}} + \check{\mathcal{Q}}\check{\mathcal{V}}\check{\mathcal{P}} + \check{\mathcal{Q}}\check{\mathcal{V}}\check{\mathcal{Q}}] dt' \right), \end{aligned}$$

en donde se uso que  $\check{\mathcal{Q}}\check{\mathcal{L}}_0\check{\mathcal{P}} = \check{\mathcal{Q}}\check{\mathcal{P}}\check{\mathcal{L}}_0 = 0$ . Continuando con la ecuación principal

$$\frac{d}{dt}\check{\mathcal{P}}|\hat{\rho}(t)\rangle\rangle = \check{\mathcal{P}}\check{\mathcal{L}}_0\check{\mathcal{P}}|\hat{\rho}(t)\rangle\rangle + \check{\mathcal{P}}(\check{\mathcal{L}}_0 + \check{\mathcal{V}})(\check{\mathcal{P}} + \check{\mathcal{Q}}) \int_0^t \check{\mathcal{G}}(t, \tau)\check{\mathcal{Q}}\check{\mathcal{L}}_f\check{\mathcal{P}}|\hat{\rho}(\tau)\rangle\rangle d\tau.$$

Debido a la forma del exponencial en  $\check{\mathcal{G}}$  al aplicar  $\check{\mathcal{P}}\check{\mathcal{L}}_0\check{\mathcal{G}}(t, \tau)$  se obtiene  $\check{\mathcal{P}}\check{\mathcal{L}}_0(t - \tau)$ , ya que si extendemos el exponencial

$$\check{\mathcal{P}}\check{\mathcal{L}}_0 \exp \left[ \int_{\tau}^t ds \check{\mathcal{Q}}\check{\mathcal{L}}_0\check{\mathcal{Q}} + \check{\mathcal{Q}}\check{\mathcal{V}}\check{\mathcal{P}} + \check{\mathcal{Q}}\check{\mathcal{V}}\check{\mathcal{Q}} \right] = \check{\mathcal{L}}_0\check{\mathcal{P}} \int_{\tau}^t \sum_{k=0}^{\infty} \left( \frac{1}{k!} \right) [\check{\mathcal{Q}}\check{\mathcal{L}}_0\check{\mathcal{Q}} + \check{\mathcal{Q}}\check{\mathcal{V}}\check{\mathcal{P}} + \check{\mathcal{Q}}\check{\mathcal{V}}\check{\mathcal{Q}}]^k ds = \check{\mathcal{P}}\check{\mathcal{L}}_0(t - \tau),$$

posteriormente esta contribución se anula y la ecuación principal se reduce a

$$\frac{d}{dt}\check{\mathcal{P}}|\hat{\rho}(t)\rangle\rangle = \check{\mathcal{P}}\check{\mathcal{L}}_0\check{\mathcal{P}}|\hat{\rho}(t)\rangle\rangle + \check{\mathcal{P}}\check{\mathcal{V}}\check{\mathcal{Q}} \int_0^t \check{\mathcal{G}}(t, \tau)\check{\mathcal{Q}}\check{\mathcal{V}}\check{\mathcal{P}}|\hat{\rho}(\tau)\rangle\rangle d\tau,$$

de manera similar se puede notar que el término de la exponencial  $\check{\mathcal{Q}}\check{\mathcal{V}}\check{\mathcal{P}}$  no actúa en la



ecuación, por ende queda que

$$\frac{d}{dt}\check{\mathcal{P}}|\hat{\rho}(t)\rangle\rangle = \check{\mathcal{P}}\check{\mathcal{L}}_0\check{\mathcal{P}}|\hat{\rho}(t)\rangle\rangle + \check{\mathcal{P}}\check{\mathcal{V}}\check{\mathcal{Q}} \int_0^t \exp\left[\left(\check{\mathcal{Q}}\check{\mathcal{V}}\check{\mathcal{Q}} + \check{\mathcal{Q}}\check{\mathcal{L}}_0\check{\mathcal{Q}}\right)(t-\tau)\right] \check{\mathcal{Q}}\check{\mathcal{V}}\check{\mathcal{P}}|\hat{\rho}(\tau)\rangle\rangle d\tau,$$

haciendo el cambio de variable  $\tau \rightarrow t - \tau$

$$\frac{d}{dt}\check{\mathcal{P}}|\hat{\rho}(t)\rangle\rangle = \check{\mathcal{P}}\check{\mathcal{L}}_0\check{\mathcal{P}}|\hat{\rho}(t)\rangle\rangle + \check{\mathcal{P}}\check{\mathcal{V}}\check{\mathcal{Q}} \int_0^t \exp\left[\left(\check{\mathcal{Q}}\check{\mathcal{V}}\check{\mathcal{Q}} + \check{\mathcal{Q}}\check{\mathcal{L}}_0\check{\mathcal{Q}}\right)(\tau)\right] \check{\mathcal{Q}}\check{\mathcal{V}}\check{\mathcal{P}}|\hat{\rho}(t-\tau)\rangle\rangle d\tau,$$

en este momento es donde se hacen aproximaciones, ya que si consideramos el acoplamiento  $g$  pequeño, es decir  $g \ll \gamma_i$ . Sabiendo que los autovalores de los superoperadores  $\check{\mathcal{V}}$  y  $\check{\mathcal{L}}_0$  serán proporcionales a  $g$  y  $\gamma_i$  respectivamente, podremos despreciar la contribución de  $\check{\mathcal{V}}$  en la exponencial, así queda

$$\frac{d}{dt}\check{\mathcal{P}}|\hat{\rho}(t)\rangle\rangle = \check{\mathcal{P}}\check{\mathcal{L}}_0\check{\mathcal{P}}|\hat{\rho}(t)\rangle\rangle + \check{\mathcal{P}}\check{\mathcal{V}}\check{\mathcal{Q}} \int_0^t \exp\left[\left(\check{\mathcal{Q}}\check{\mathcal{L}}_0\check{\mathcal{Q}}\right)\tau\right] \check{\mathcal{Q}}\check{\mathcal{V}}\check{\mathcal{P}}|\hat{\rho}(t-\tau)\rangle\rangle d\tau,$$

finalmente, para aplicar aproximación de Markov suponemos que  $\check{\mathcal{P}}\hat{\rho}(t-\tau)$  no varía mucho en escalas de tiempo de  $1/\gamma_i$ , así poder considerar  $\check{\mathcal{P}}\hat{\rho}(t-\tau) = \check{\mathcal{P}}\hat{\rho}(t)$  y el integral de 0 a el infinito con lo que se obtiene

$$\frac{d}{dt}\check{\mathcal{P}}|\hat{\rho}(t)\rangle\rangle = \check{\mathcal{P}}\check{\mathcal{L}}_0\check{\mathcal{P}}|\hat{\rho}(t)\rangle\rangle + \check{\mathcal{P}}\check{\mathcal{V}}\check{\mathcal{Q}} \int_0^\infty \exp\left[\left(\check{\mathcal{Q}}\check{\mathcal{L}}_0\check{\mathcal{Q}}\right)\tau\right] d\tau \check{\mathcal{Q}}\check{\mathcal{V}}\check{\mathcal{P}}|\hat{\rho}(t)\rangle\rangle,$$

y finalmente se recupera la ecuación en formalismo de superoperadores

$$\frac{d}{dt}\check{\mathcal{P}}|\hat{\rho}_s(t)\rangle\rangle = (\check{\mathcal{L}}_0 - \check{\mathcal{P}}\check{\mathcal{V}}\check{\mathcal{Q}}\check{\mathcal{L}}_0^{-1}\check{\mathcal{Q}}\check{\mathcal{V}}\check{\mathcal{P}})\check{\mathcal{P}}|\hat{\rho}_s(t)\rangle\rangle.$$

## C.9. Inverso de Drazin

El inverso de Drazin es un tipo de inverso generalizado que consiste en la única matriz que dado la matriz  $\check{\mathcal{L}}_0$  cumple que

$$\begin{aligned}\check{\mathcal{L}}_0\check{\mathcal{L}}_0^+\check{\mathcal{L}}_0 &= \check{\mathcal{L}}_0 \\ \check{\mathcal{L}}_0^+\check{\mathcal{L}}_0\check{\mathcal{L}}_0^+ &= \check{\mathcal{L}}_0^+ \\ \check{\mathcal{L}}_0^+\check{\mathcal{L}}_0 &= \check{\mathcal{L}}_0\check{\mathcal{L}}_0^+.\end{aligned}$$

Considerando la ecuación 5.2 se puede probar que

$$\check{\mathcal{L}}_0\check{\mathcal{L}}_0^+ = - \int_0^\infty d\tau \check{\mathcal{L}}_0 \exp[\check{\mathcal{L}}_0\tau] \check{\mathcal{Q}} = - \int_0^\infty d\tau \exp[\check{\mathcal{L}}_0\tau] \check{\mathcal{L}}_0 \check{\mathcal{Q}} = - \int_0^\infty d\tau \exp[\check{\mathcal{L}}_0\tau] \check{\mathcal{Q}} \check{\mathcal{L}}_0 = \check{\mathcal{L}}_0^+ \check{\mathcal{L}}_0,$$

de manera similar se pueden probar las otras 2 ecuaciones.

Finalmente para poder ocupar el inverso de Drazin, este se puede calcular numéricamente mediante descomposición espectral usando los autovalores por la izquierda y derecha dados por

$$\check{\mathcal{L}}_0|x_j\rangle\rangle = \lambda_j|x_j\rangle\rangle \quad \langle\langle y_j|\check{\mathcal{L}}_0 = \langle\langle y_j|\lambda_j,$$

en donde  $\langle\langle y_i|x_j\rangle\rangle = \delta_{ij}$ . Si se toma  $\lambda_0$  como el único autovalor cero del operador  $\check{\mathcal{L}}_0$ , se podrá escribir la descomposición espectral como

$$\check{\mathcal{L}}_0 = \sum_{j \neq 0} \lambda_j |x_j\rangle\rangle \langle\langle y_j|,$$

y así poder calcular el inverso de Drazin usando

$$\check{\mathcal{L}}_0^+ = \sum_{j \neq 0} \frac{1}{\lambda_j} |x_j\rangle\rangle \langle\langle y_j|.$$

## C.10. Expresión para los flujos de información

Para poder calcular los flujos de información, primero se debe ser capaces de calcular  $\ln \hat{\rho}_s$ . Se puede partir de la matriz densidad descrita en la ecuación C.7 la cuál ya viene diagonal, excepto por los bloques

$$\begin{bmatrix} \rho_{100} & \alpha \\ \alpha^* & \rho_{010} \end{bmatrix} \quad \begin{bmatrix} \rho_{101} & \beta \\ \beta^* & \rho_{011} \end{bmatrix}.$$

Los autovalores estarán dados por

$$\lambda_{0\pm} = \frac{\rho_{100} + \rho_{010}}{2} \pm \frac{([\rho_{100} - \rho_{010}]^2 + 4|\alpha|^2)^{1/2}}{2} \quad \lambda_{1\pm} = \frac{\rho_{101} + \rho_{011}}{2} \pm \frac{([\rho_{101} - \rho_{011}]^2 + 4|\beta|^2)^{1/2}}{2},$$

si se considera  $\alpha = |\alpha|e^{i\phi_0}$  y  $\beta = |\beta|e^{i\phi_1}$  podremos escribir los autovectores como

$$\begin{aligned} v_{0+} &= [0, 0, \cos(\theta_0/2)e^{i\phi_0/2}, \sin(\theta_0/2)e^{-i\phi_0/2}, 0, 0, 0, 0]^T \\ v_{0-} &= [0, 0, -\sin(\theta_0/2)e^{i\phi_0/2}, \cos(\theta_0/2)e^{-i\phi_0/2}, 0, 0, 0, 0]^T \\ v_{1+} &= [0, 0, 0, 0, \cos(\theta_1/2)e^{i\phi_1/2}, \sin(\theta_1/2)e^{-i\phi_1/2}, 0, 0]^T \\ v_{1-} &= [0, 0, 0, 0, -\sin(\theta_1/2)e^{i\phi_1/2}, \cos(\theta_1/2)e^{-i\phi_1/2}, 0, 0]^T, \end{aligned}$$

con  $\sin(\theta_0) = |\alpha|/\sqrt{\Delta_0^2 + |\alpha|^2}$ ,  $\sin(\theta_1) = |\beta|/\sqrt{\Delta_1^2 + |\beta|^2}$  y

$$\Delta_i = \frac{(\rho_{10i} - \rho_{01i})}{2},$$

con esto se podrá obtener el logaritmo natural de la matriz mediante

$$\ln \hat{\rho}_S = \hat{V} \ln \hat{\rho}_D \hat{V}^{-1}.$$

En donde  $\ln \hat{\rho}_D$  es la matriz diagonal

$$\ln \hat{\rho}_D = \begin{bmatrix} \ln \rho_{000} & 0 & 0 & 0 & 0 & 0 & 0 & 0 \\ 0 & \ln \lambda_{0+} & 0 & 0 & 0 & 0 & 0 & 0 \\ 0 & 0 & \ln \lambda_{0-} & 0 & 0 & 0 & 0 & 0 \\ 0 & 0 & 0 & \ln \rho_{001} & 0 & 0 & 0 & 0 \\ 0 & 0 & 0 & 0 & \ln \rho_{110} & 0 & 0 & 0 \\ 0 & 0 & 0 & 0 & 0 & \ln \lambda_{1+} & 0 & 0 \\ 0 & 0 & 0 & 0 & 0 & 0 & \ln \lambda_{1-} & 0 \\ 0 & 0 & 0 & 0 & 0 & 0 & 0 & \ln \rho_{111} \end{bmatrix},$$

y

$$\hat{V} = \begin{bmatrix} 1 & 0 & 0 & 0 & 0 & 0 & 0 & 0 \\ 0 & \cos(\theta_0/2)e^{i\phi_0/2} & -\sin(\theta_0/2)e^{i\phi_0/2} & 0 & 0 & 0 & 0 & 0 \\ 0 & \sin(\theta_0/2)e^{-i\phi_0/2} & \cos(\theta_0/2)e^{-i\phi_0/2} & 0 & 0 & 0 & 0 & 0 \\ 0 & 0 & 0 & 1 & 0 & 0 & 0 & 0 \\ 0 & 0 & 0 & 0 & 1 & 0 & 0 & 0 \\ 0 & 0 & 0 & 0 & 0 & \cos(\theta_1/2)e^{i\phi_1/2} & -\sin(\theta_1/2)e^{i\phi_1/2} & 0 \\ 0 & 0 & 0 & 0 & 0 & \sin(\theta_1/2)e^{-i\phi_1/2} & \cos(\theta_1/2)e^{-i\phi_1/2} & 0 \\ 0 & 0 & 0 & 0 & 0 & 0 & 0 & 1 \end{bmatrix}.$$

Finalmente se obtiene

$$\ln \hat{\rho}_S = \begin{bmatrix} \ln \rho_{000} & 0 & 0 & 0 & 0 & 0 & 0 & 0 \\ 0 & a_0 & c_0 & 0 & 0 & 0 & 0 & 0 \\ 0 & c_0^* & b_0 & 0 & 0 & 0 & 0 & 0 \\ 0 & 0 & 0 & \ln \rho_{001} & 0 & 0 & 0 & 0 \\ 0 & 0 & 0 & 0 & \ln \rho_{110} & 0 & 0 & 0 \\ 0 & 0 & 0 & 0 & 0 & a_1 & c_1 & 0 \\ 0 & 0 & 0 & 0 & 0 & c_1^* & b_1 & 0 \\ 0 & 0 & 0 & 0 & 0 & 0 & 0 & \ln \rho_{111} \end{bmatrix},$$

con las cantidades

$$\begin{aligned} a_i &= \cos^2(\theta_i/2) \ln \lambda_{i+} + \sin^2(\theta_i/2) \ln \lambda_{i-} \\ b_i &= \sin^2(\theta_i/2) \ln \lambda_{i+} + \cos^2(\theta_i/2) \ln \lambda_{i-} \\ c_i &= \frac{\sin(\theta_i)}{2} e^{i\phi_i} (\ln \lambda_{i+} - \ln \lambda_{i-}), \end{aligned}$$

así el logaritmo de la matriz densidad es

$$\begin{aligned}
\ln \hat{\rho}_S = & \ln \rho_{111}|111\rangle\langle 111| + \ln \rho_{110}|110\rangle\langle 110| + \ln \rho_{001}|001\rangle\langle 001| \\
& + \ln \rho_{000}|000\rangle\langle 000| + a_0|100\rangle\langle 100| + b_0|010\rangle\langle 010| \\
& + a_1|101\rangle\langle 101| + b_1|011\rangle\langle 011| + c_0|100\rangle\langle 010| \\
& + c_0^*|010\rangle\langle 100| + c_1|101\rangle\langle 011| + c_1^*|011\rangle\langle 101|.
\end{aligned}$$

Por otro lado, los disipadores que actúan en los operadores de Lindblad  $\mathcal{L}_L$  y  $\mathcal{L}_R$  se pueden expresar

$$\begin{aligned}
\mathcal{D}[\hat{d}_L^\dagger(\mathbf{1} - \hat{n}_D)(\mathbf{1} - \hat{n}_R)\hat{\rho}_S] &= \rho_{000}|100\rangle\langle 100| - \rho_{000}|000\rangle\langle 000| \\
\mathcal{D}[\hat{d}_R^\dagger(\mathbf{1} - \hat{n}_D)(\mathbf{1} - \hat{n}_L)\hat{\rho}_S] &= \rho_{000}|010\rangle\langle 010| - \rho_{000}|000\rangle\langle 000| \\
\mathcal{D}[\hat{d}_L(\mathbf{1} - \hat{n}_D)(\mathbf{1} - \hat{n}_R)\hat{\rho}_S] &= \rho_{100}|000\rangle\langle 000| - \rho_{100}|100\rangle\langle 100| \\
\mathcal{D}[\hat{d}_R(\mathbf{1} - \hat{n}_D)(\mathbf{1} - \hat{n}_L)\hat{\rho}_S] &= \rho_{010}|000\rangle\langle 000| - \rho_{010}|010\rangle\langle 010| \\
\mathcal{D}[\hat{d}_L^\dagger\hat{n}_D\hat{n}_R\hat{\rho}_S] &= \rho_{011}|111\rangle\langle 111| - \rho_{011}|011\rangle\langle 011| \\
\mathcal{D}[\hat{d}_R^\dagger\hat{n}_D\hat{n}_L\hat{\rho}_S] &= \rho_{101}|111\rangle\langle 111| - \rho_{101}|101\rangle\langle 101| \\
\mathcal{D}[\hat{d}_L\hat{n}_D\hat{n}_R\hat{\rho}_S] &= \rho_{111}|011\rangle\langle 011| - \rho_{111}|111\rangle\langle 111| \\
\mathcal{D}[\hat{d}_R\hat{n}_D\hat{n}_L\hat{\rho}_S] &= \rho_{111}|101\rangle\langle 101| - \rho_{111}|111\rangle\langle 111| \\
\mathcal{D}[\hat{d}_L^\dagger(\mathbf{1} - \hat{n}_D)\hat{n}_R\hat{\rho}_S] &= \rho_{010}|110\rangle\langle 110| - \rho_{010}|010\rangle\langle 010| - \frac{1}{2}(\alpha|100\rangle\langle 010| + \alpha^*|010\rangle\langle 100|) \\
\mathcal{D}[\hat{d}_R^\dagger(\mathbf{1} - \hat{n}_D)\hat{n}_L\hat{\rho}_S] &= \rho_{100}|110\rangle\langle 110| - \rho_{100}|100\rangle\langle 100| - \frac{1}{2}(\alpha|100\rangle\langle 010| + \alpha^*|010\rangle\langle 100|) \\
\mathcal{D}[\hat{d}_L(\mathbf{1} - \hat{n}_D)\hat{n}_R\hat{\rho}_S] &= \rho_{110}|010\rangle\langle 010| - \rho_{110}|110\rangle\langle 110| \\
\mathcal{D}[\hat{d}_R(\mathbf{1} - \hat{n}_D)\hat{n}_L\hat{\rho}_S] &= \rho_{110}|100\rangle\langle 100| - \rho_{110}|110\rangle\langle 110| \\
\mathcal{D}[\hat{d}_L^\dagger\hat{n}_D(\mathbf{1} - \hat{n}_R)\hat{\rho}_S] &= \rho_{001}|101\rangle\langle 101| - \rho_{001}|001\rangle\langle 001| \\
\mathcal{D}[\hat{d}_R^\dagger\hat{n}_D(\mathbf{1} - \hat{n}_L)\hat{\rho}_S] &= \rho_{001}|011\rangle\langle 011| - \rho_{001}|001\rangle\langle 001| \\
\mathcal{D}[\hat{d}_L\hat{n}_D(\mathbf{1} - \hat{n}_R)\hat{\rho}_S] &= \rho_{101}|001\rangle\langle 001| - \rho_{101}|101\rangle\langle 101| - \frac{1}{2}(\beta|101\rangle\langle 011| + \beta^*|011\rangle\langle 101|) \\
\mathcal{D}[\hat{d}_R\hat{n}_D(\mathbf{1} - \hat{n}_L)\hat{\rho}_S] &= \rho_{011}|001\rangle\langle 001| - \rho_{011}|011\rangle\langle 011| - \frac{1}{2}(\beta^*|011\rangle\langle 101| + \beta|101\rangle\langle 011|),
\end{aligned}$$

con estas cantidades se podrán obtener los flujos de información en el estado estacionario  $\dot{I}_i = \text{Tr}[(\mathcal{L}_i\hat{\rho}_S \ln \hat{\rho}_S)]$  lo que permite obtener

$$\begin{aligned}
\dot{I}_L = & \gamma_L(\epsilon)(f_L(\epsilon)[a_0\rho_{000} - \rho_{000} \ln \rho_{000}] + (1 - f_L(\epsilon))[\rho_{100} \ln \rho_{000} - a_0\rho_{100}]) \\
& + \gamma_L(\epsilon + U)(f_L(\epsilon + U)[a_1\rho_{001} - \rho_{001} \ln \rho_{001}] + (1 - f_L(\epsilon + U))[\rho_{101} \ln \rho_{001} - a_1\rho_{101} - \text{Re}(b_1^*\beta)]) \\
& + \gamma_L(\epsilon + U_f)(f_L(\epsilon + U_f)[\rho_{010} \ln \rho_{110} - b_0\rho_{010} - \text{Re}(\alpha c_0^*)] + (1 - f_L(\epsilon + U_f))[b_0\rho_{110} - \rho_{110} \ln \rho_{110}]) \\
& + \gamma_L(\epsilon + U + U_f)(f_L(\epsilon + U + U_f)[\rho_{011} \ln \rho_{111} - b_1\rho_{011}] + (1 - f_L(\epsilon + U + U_f))[b_1\rho_{111} - \rho_{111} \ln \rho_{111}])
\end{aligned}$$

$$\begin{aligned}
\dot{I}_R = & \gamma_R(\epsilon)(f_L(\epsilon)[b_0\rho_{000} - \rho_{000}\ln\rho_{000}] + (1 - f_R(\epsilon))[\rho_{010}\ln\rho_{000} - b_0\rho_{010}]) \\
& + \gamma_R(\epsilon + U)(f_R(\epsilon + U)[b_1\rho_{001} - \rho_{001}\ln\rho_{001}] + (1 - f_R(\epsilon + U))[\rho_{011}\ln\rho_{001} - a_1\rho_{011} - Re(b_1^*\beta)]) \\
& + \gamma_R(\epsilon + U_f)(f_R(\epsilon + U_f)[\rho_{100}\ln\rho_{110} - a_0\rho_{100} - Re(\alpha c_0^*)] + (1 - f_R(\epsilon + U_f))[a_0\rho_{110} - \rho_{110}\ln\rho_{110}]) \\
& + \gamma_R(\epsilon + U + U_f)(f_R(\epsilon + U + U_f)[\rho_{101}\ln\rho_{111} - a_1\rho_{101}] + (1 - f_R(\epsilon + U + U_f))[a_1\rho_{111} - \rho_{111}\ln\rho_{111}]),
\end{aligned}$$

si bien el cálculo de los flujos de información se puede hacer númeroico, escribir estas expresiones analíticas nos permite determinar que existe contribución de las coherencias en la información, tanto en los parámetros  $a_i, b_i$  como en los términos  $Re(\alpha c_0^*), Re(b_1^*\beta)$ . Es importante destacar que en el límite en que las coherencias se anulan se recupera el resultado para un sistema clásico

$$\begin{aligned}
\lim_{\alpha, \beta \rightarrow 0} \dot{I}_L = \dot{I}_{Lclassic} = & \gamma_L(\epsilon)(f_L(\epsilon)[\rho_{000}\ln\rho_{100} - \rho_{000}\ln\rho_{000}] + (1 - f_L(\epsilon))[\rho_{100}\ln\rho_{000} - \rho_{100}\ln\rho_{100}]) \\
& + \gamma_L(\epsilon + U)(f_L(\epsilon + U)[\rho_{001}\ln\rho_{101} - \rho_{001}\ln\rho_{001}] + (1 - f_L(\epsilon + U))[\rho_{101}\ln\rho_{001} - \rho_{101}\ln\rho_{101}]) \\
& + \gamma_L(\epsilon + U_f)(f_L(\epsilon + U_f)[\rho_{010}\ln\rho_{110} - \rho_{010}\ln\rho_{010}] + (1 - f_L(\epsilon + U_f))[\rho_{110}\ln\rho_{010} - \rho_{110}\ln\rho_{110}]) \\
& + \gamma_L(\epsilon + U + U_f)(f_L(\epsilon + U + U_f)[\rho_{011}\ln\rho_{111} - \rho_{011}\ln\rho_{011}]) \\
& + \gamma_L(\epsilon + U + U_f)((1 - f_L(\epsilon + U + U_f))[\rho_{111}\ln\rho_{011} - \rho_{111}\ln\rho_{111}])
\end{aligned}$$

$$\begin{aligned}
\lim_{\alpha, \beta \rightarrow 0} \dot{I}_R = \dot{I}_{Rclassic} = & \gamma_R(\epsilon)(f_R(\epsilon)[\rho_{000}\ln\rho_{010} - \rho_{000}\ln\rho_{000}] + (1 - f_R(\epsilon))[\rho_{010}\ln\rho_{000} - \rho_{010}\ln\rho_{010}]) \\
& + \gamma_R(\epsilon + U)(f_R(\epsilon + U)[\rho_{001}\ln\rho_{011} - \rho_{001}\ln\rho_{001}] + (1 - f_R(\epsilon + U))[\rho_{011}\ln\rho_{001} - \rho_{011}\ln\rho_{011}]) \\
& + \gamma_R(\epsilon + U_f)(f_R(\epsilon + U_f)[\rho_{100}\ln\rho_{110} - \rho_{100}\ln\rho_{100}] + (1 - f_R(\epsilon + U_f))[\rho_{110}\ln\rho_{100} - \rho_{110}\ln\rho_{110}]) \\
& + \gamma_R(\epsilon + U + U_f)(f_R(\epsilon + U + U_f)[\rho_{101}\ln\rho_{111} - \rho_{101}\ln\rho_{101}]) \\
& + \gamma_R(\epsilon + U + U_f)((1 - f_R(\epsilon + U + U_f))[\rho_{111}\ln\rho_{101} - \rho_{111}\ln\rho_{111}]).
\end{aligned}$$